

MINISTERUL EDUCATIEI SI INVATAMINTULUI
INSTITUTUL POLITEHNIC "TRAIAN VUIA" TIMISOARA
FACULTATEA DE ELECTROTEHNICA

Ing. BARBU LUCIAN NICOARA

TEZA DE DOCTORAT

STUDIUL CIMPULUI MAGNETIC SI AL FORTELOR
LA SEPARATOARILE CU LICHIDE MAGNETICE

CONDUCATOR STIINTIFIC:
PROF. DR. ING. IOAN DE SABATA

BIBLIOTECA CENTRALĂ
UNIVERSITATEA "POLITEHNICA"
TIMIȘOARA

TIMISOARA 1988

RESTITUI	UNIVERSITATEA "POLITEHNICA" TIMIȘOARA
538377	
Dulap	104.K.F

CUPRINS

	Pag.
INTRODUCERE _____	1
Cap. 1. PROPRIETATI MAGNETICE ALE LIQUIDELOR MAGNETICE _____	5
1.1. Măsurarea susceptivității magnetice inițiale _____	6
1.2. Susceptivitatea magnetică complexă _____	17
1.3. Metoda de măsurare a magnetizației de saturație _____	31
1.4. Măsurarea permeabilității magnetice. Curba de magnetizare _____	41
Cap. 2. FORȚE ÎN CIMP MAGNETIC _____	53
2.1. Expresia generală a forțelor în cimp electro- magnetic. Densitatea de volum a forțelor _____	54
2.2. Presiuni în lichide magnetice _____	73
2.3. Calculul forței portante pe calea integrării tensiunilor fictive _____	79
2.4. Forța exercitată de cimpul magnetic asupra unei sfere nemagnetice înmersată într-un lichid magnetic _____	83
Cap. 3. CIMPIURI MAGNETICE FOLOSITE LA SEPARAȚII _____	95
3.1. Cimpul magnetic la separatoarele cu piese polare cu profil hiperbolic _____	98
3.2. Cimpul magnetic la separatoarele magnetofluidice cu piese polare cu profil exponențial infinit _____	100
3.3. Traiectoriile particulelor între poli de extensie infinită _____	107
3.3.1. Traiectoriile particulelor între poli unui separator cu piese polare cu profil hiperbolic infinit _____	107
3.3.2. Traiectoriile particulelor între poli unui separator cu profil exponențial infinit _____	109
3.4. Cimpul magnetic în separatoarele cu piese polare cu profil finit _____	114
3.4.1. Distribuțiile cimpului magnetic staționar _____	114

3.4.2. Ecuațiile câmpului electrocinetic staționar	119
3.4.3. Modelul electrocinetic	120
3.4.4. Modelul matematic în diferențe finite	123
3.4.5. Pachetul de programe utilizat pentru calculul numeric al câmpului pentru poli de extensiune finită	125
3.5. Trajectoriile particulelor între poli cu profil finit și unui separator magnetofluidic	127
Cap. 4. REALIZAREA POLILOR CU PROFIL EXPONENȚIAL. DATE EXPERIMENTALE	131
4.1. Calculul polilor cu profil exponențial și unei celule de separare	131
4.2. Trajectorii complete ale particulelor în celula de separare	132
4.3. Realizarea pieselor polare	137
4.4. Date experimentale. Concluzii	137
Cap. 5. CONCLUZII FINALE	143
BIBLIOGRAFIE	145

INTRODUCERE

Lichidele magnetice sînt dispersii de particule magnetice de dimensiuni mici (30 - 100 Å) într-un lichid de bază. Ele prezintă proprietăți magnetice similare cu ale materialelor magnetice dispersate și se comportă ca un mediu lichid continuu, avînd o stabilitate foarte bună în timp și sub acțiunea unor cîmpuri magnetice exterioare.

Originea lichidelor magnetice se găsește în cercetările spațiale. Inițial cercetările în domeniu au avut loc în țări cu tehnologie avansată (S.U.A., U.R.S.S., Anglia, Japonia, Franța).

În România lichidele magnetice au reținat pentru prima dată atenția colectivului de cercetători de la Institutul Politehnic și Centrul de Fizică Tehnică Iași, în prezent făcînd obiectul cercetărilor intense și a colectivelor de la Institutul Politehnic "Traian Vuia" din Timișoara, I.C.P.M.M.N. Baia-Mare precum și a Institutului de Mine din Petroșani.

Pentru prima dată la noi în țară a avut loc un seminar tehnico-științific cu tema "Aplicațiile ferrofluidelor" în octombrie 1980 [72] la Timișoara. Tot la Timișoara în 18-19 octombrie 1985, în cadrul "Conferinței de Mașini Hidraulice și Hidrodinamică" s-a desfășurat și o sesiune avînd ca temă "Fluidele magnetice și aplicațiile lor". În 21-22 octombrie 1988 s-a desfășurat la Timișoara seminarul tehnico-științific "Lichidele magnetice" - baza unor tehnologii de vîrf". Aceste trei acțiuni au fost inițiate și organizate de un colectiv condus de acad. Ioan Anton.

Lucrările prezentate în cadrul acestor manifestări științifice au scos în evidență preocuparea deosebită ce există în legătură cu studiul și aplicațiile practice ale lichidelor magnetice. Astfel, s-au evidențiat numeroase domenii de utilizare: etanșări, traducătoare separatoare, aparate de măsură, difuzoare etc. S-au remarcat și preocupări în domeniul biologic și medical.

În prezenta lucrare autorul se ocupă de studiul proprietăților magnetice ale lichidelor magnetice și studiul cîmpului și forțelor la separatoarele magnetofluidice cu poli cu profil hiperbolic.

Lucrarea cuprinde 5 capitole. In capitolul 1 sînt studiate proprietățile magnetice ale lichidelor magnetice. Sînt prezentate două metode de măsurare a susceptivității magnetice inițiale, prima bazată pe măsurarea inductivității unei bobine în prezența și absența unei probe de lichid magnetic, iar a doua originală și prin principiul ei mai precisă decît altele existente în literatură.

In continuare se investighează susceptivitatea magnetică complexă, se urmărește dependența părții reale și imaginare a acesteia de frecvență. In colaborare [21], autorul a studiat la lînga comportarea unor lichide magnetice cu particule din ferită de cobalt, lichidul fiind magnetizat de un cîmp magnetic constant.

Pornind de la metoda Gouy (cunoscută pentru măsurarea susceptivității magnetice la lichide și gaze paramagnetice de susceptivitate mică) autorul dă o metodă originală de determinare a magnetizației de saturație la lichidele magnetice.

In final, pe baza măsurării permitivității lichidelor magnetice, se trasează curbele de magnetizare pentru diferite probe de lichid magnetic, în funcție de cîmpul magnetic din interiorul probei.

In capitolul 2 sînt studiate forțele în cîmp magnetic. Este prezentată expresia generală a forțelor în cîmp electromagnetic și densitatea de volum a forțelor. Se dau expresiile densităților de volum a forțelor, particularizate pentru cîmpuri electrostatice, respectiv magnetice staționare, stabilite în medii izotrope, fără polarizări permanente, neliniare și lipsite de histerezis. In continuare este studiată presiunea electromagnetică în lichide și este prezentată o consecință importantă a presiunii electromagnetice induse de un cîmp electromagnetic într-un lichid magnetic, și anume fenomenul de levitație magnetică de primul ordin.

Urmează o demonstrație originală, mai generală decît cea cunoscută în literatură pentru calculul forței rezultante pe baza integrării tensiunilor fictive.

La sfîrșit este calculată forța exercitată de cîmpul magnetic asupra unei sfere nemagnetice imersată într-un lichid magnetic, partea originală constînd în faptul că, la cîmpuri mici,

dimensiunile sferei pot fi arbitrare.

În capitolul 3 se tratează despre câmpurile magnetice utilizate la separatoarele magnetofluidice. Autorul a studiat câmpul magnetic în cazul separatoarelor (ideale) cu poli definiți și (reale) cu poli finiți, profilul polilor fiind hiperbolic și exponențial. Este dată o demonstrație a imposibilității existenței unui câmp magnetic al cărui gradient să fie constant și să aibă o orientare unidirecțională. S-a stabilit o configurație de poli la care gradientul intensității câmpului magnetic este unidirecțional, dar variază exponențial în modul. A fost conceput un set de programe pentru calculul potențialului magnetic, al modulului intensității câmpului magnetic și al gradientului modulului intensității câmpului magnetic, în orice punct al spațiului dintre poli unui separator, utilizând metoda diferențelor finite. Au fost realizate două modele electrocinetice, pentru a putea studia, prin analogie, câmpul la separatoarele cu piese polare de dimensiuni finite.

Traectoriile particulelor prin lichidul magnetic, plasat între poli separatorului, au fost determinate prin rezolvarea ecuațiilor diferențiale neliniare, care descriu mișcarea acestora, pe cale numerică, cu ajutorul calculatorului CORAL 4021, utilizând metoda Runge-Kutta-Gill.

Capitolul 4 prezintă realizarea practică a polilor cu profil exponențial și datele experimentale. Se face calculul polilor cu profil exponențial al unei celule de separare. Deoarece particulele, după străbaterea stratului de lichid magnetic își continuă mișcarea în aer, s-a completat pachetul de programe al capitolului 3, obținându-se traiectoriile complete ale particulelor în celula de separare.

În continuare se prezintă realizarea practică a pieselor polare cu profil exponențial și a celulei de separare. Urmează datele experimentale obținute la această celulă, date experimentale ce confirmă studiul teoretic efectuat.

Capitolul 5 este rezervat concluziilor finale.

Pentru îndrumarea atentă și sprijinul continuu acordat pe întreaga perioadă de pregătire și elaborare a tezei țin să mulțumesc în mod călduros conducătorului meu științific, prof.dr. ing. Ioan De Sabata.

Respectuaase mulțumiri aduc șefului Catedrei de Mașini Hidraulice, Acad. Ioan Anton, pentru ajutorul și sprijinul acordat în elaborarea tezei și în posibilitatea de a colabora cu cercetători de la Institutul de fizică din Riga (URSS).

Mulțumesc, de asemenea, cercet. șt. principal dr.fiz. Vékáš Ladislau, șeful laboratorului de Ferohidrodinamică, pentru prețioase sfaturi și îndemnuri primite.

Profesorului dr.ing. Constantin Sora, șeful Colectivului de Bazele electrotehnicii, îi mulțumesc respectuos pentru sprijinul acordat.

Mulțumesc șefului de catedră, prof.dr.ing. Toma Lordea, pentru imboldul și înțelegerea cu care m-a ajutat în finalizarea tezei.

În mod deosebit aduc mulțumiri decanului Facultății de Electrotehnică, prof.dr.ing. Avram Heler, care m-a impulsionat continuu, până la depunerea tezei.

Mulțumesc inginerului de sistem Scrin Ertel, care mi-a înlesnit lucrul la calculatorul COFAL 4021.

De asemenea mulțumesc colegilor de catedră și tuturor celor care m-au ajutat, într-un fel sau altul, la elaborarea tezei de doctorat.

Cap. 1. PROPRIETATI MAGNETICE ALE LICHIDELOR MAGNETICE

Intrînd în însăși denumirea lor - lichide magnetice - proprietățile lor esențiale, care le deosebesc fundamental de celelalte lichide și care sînt utilizate în majoritatea aplicațiilor practice, sînt proprietățile magnetice.

Lichidele magnetice au utilitate practică datorită forțelor de natură magnetică ce sînt determinate de aceste proprietăți.

Din acest motiv proprietăților magnetice ale lichidelor magnetice le-au fost acordate o deosebită importanță, ele fiind analizate în numeroase lucrări, pe plan mondial. Un colectiv puternic există în URSS, la Riga, [4, 9, 11, 22, 23], cu care autorul a avut șansa de a colabora [2].

În SUA cercetări complexe sînt efectuate sub patronajul lui R.E. Rosensweig, "părintele" lichidelor magnetice [24].

La noi în țară începutul a fost făcut de colectivul de la Iași [45]. În prezent cercetări complexe în acest domeniu se efectuează la Institutul Politehnic "Traian Vuia" din Timișoara de către un colectiv condus de acad. Ioan Anton [46, 47].

Important de cunoscut la un lichid magnetic este susceptivitatea sa magnetică notată cu x_m , sau permeabilitatea magnetică μ , legătura dintre aceste mărimi fiind cunoscută ($\mu = \mu_0(1 + x_m)$), unde μ_0 [H/m] este permeabilitatea absolută a vidului.

De asemenea informații importante cu privire la forțele ce apar în lichidele magnetice rezultă și din studiul susceptivității inițiale x_{mi} și complexe $\underline{x}_m = x'_m - jx''_m$ a acestora.

În acest capitol sînt prezentate două metode de determinare a susceptivității magnetice inițiale, este studiată dependența de frecvență a părții reale și imaginare a susceptivității magnetice complexe, pentru lichide cu particule de magnetită și - pentru prima dată în țară - cu particule de ferită de cobalt.

Este prezentată o metodă originală de stabilire rapidă a magnetizației de saturație și în final se determină permeabilitatea magnetică și se trasează curbele de magnetizare pentru diferite probe de lichid magnetic în funcție de cîmpul magnetic din interiorul probei.

1.1. Măsurarea susceptivității magnetice inițiale

O proprietate importantă care se impune a fi cunoscută în vederea utilizării lichidelor magnetice în procesele de separare magnetică este susceptivitatea magnetică inițială a acestora 2 .

Autorul a folosit două metode pentru determinarea experimentală a susceptivității inițiale a lichidelor magnetice 25 .

Lichidele magnetice sînt substanțe paramagnetice și deci ascultă de teoria lui Langevin. Cum momentul magnetic al unei particule dispersate în lichid este cu mult mai mare ca momentele magnetice ale moleculelor substanțelor paramagnetice, se spune că lichidele magnetice sînt superparamagnetice

Pentru a avea o precizie cît mai mare s-a studiat în prealabil pînă la ce vîloare a intensității cîmpului magnetic H se poate aproxima curba de magnetizare $M = M(H)$ cu o dreaptă, astfel încît eroarea să fie sub 2 %. S-a pornit de la ecuația lui Langevin:

$$\frac{M}{M_0} = \operatorname{cth} \frac{\mu_0 m}{kT} H - \frac{kT}{\mu_0 m} \frac{1}{H} \quad (1.1)$$

unde:

M este magnetizația lichidului;

M_0 - magnetizația de saturație;

k - constanta lui Boltzmann;

T - temperatura mediului, în grade Kelvin;

H - modulul intensității cîmpului magnetic și

$m = M_{sp} \cdot V_{mp}$, în care M_{sp} este magnetizarea de saturație a mediului dispersat iar V_{mp} - volumul mediu al particulelor.

Dacă se notează cu $\xi = \mu_0 m/kT$, atunci funcția lui Langevin devine:

$$\mathcal{L}(\xi H) = \operatorname{cth} \xi H - \frac{1}{\xi H} \quad (1.2)$$

Dezvoltînd în serie Taylor această funcție și luînd în considerare primii doi termeni rezultă:

$$\mathcal{L}(\xi H) \approx \mathcal{L}(0) + \xi H \mathcal{L}'(0) = \frac{\xi H}{3} \quad (1.3)$$

S-a notat cu $\mathcal{L}_a(\xi H)$ valoarea adevărată, exactă, a funcției lui Langevin și dacă se pune condiția ca eroarea raportată în procente să nu depășească 2 %, se obține:

$$\frac{\mathcal{L}_a(\xi H) - \mathcal{L}(\xi H)}{\mathcal{L}_a(\xi H)} \leq 0,02 \quad (1.4)$$

Această inecuație transcendentă s-a rezolvat numeric pentru trei probe de lichid magnetic cu particule din magnetită cu $M_{sp} = 4,5 \cdot 10^5 \text{ A/m}$ și s-a considerat $K = 1,38 \cdot 10^{-23} \text{ J/K}$ iar $T = 293 \text{ }^\circ\text{K}$. Pentru proba I diametrul mediu al particulelor este $\bar{d}_1 = 121 \text{ \AA}$, pentru proba doi $\bar{d}_2 = 109,7 \text{ \AA}$ și pentru proba trei $\bar{d}_3 = 106 \text{ \AA}$. Corespunzător au rezultat constantele $\xi_1 = 1,29727 \cdot 10^{-4} (\text{m/A})$, $\xi_2 = 9,6670 \cdot 10^{-5} (\text{m/A})$ și $\xi_3 = 8,7255 \cdot 10^{-5} (\text{m/A})$. Pentru prima probă relația este satisfăcută pînă la o intensitate a cîmpului magnetic de 4250 A/m , pentru a doua pînă la 5700 A/m iar pentru a treia pînă peste 6000 A/m .

Metoda de măsurare a susceptivității inițiale a lichidelor magnetice, x_{mi} , se bazează pe măsurarea inductivității unei bobine în prezența și în absența unei probe cu lichid magnetic.

În absența probei, inductanța L_0 a unei bobine cilindrice cu secțiunea circulară, are expresia cunoscută:

$$L_0 = \mu_0 N^2 d_0^2 / 4l, \quad (1.5)$$

în care: N este numărul de spire al bobinei, l lungimea ei iar d_0 diametrul secțiunii.

Dacă în interiorul bobinei se introduce un tub cilindric cu lichid magnetic, de secțiune circulară S_1 , inductanța bobinei devine L_1 . Expresia inductanței L_1 se deduce după cum urmează:

$$iL_1 = N(B_1 S_1 + B_0 S_0) \quad (1.6)$$

$$iL_1 = N \left[\mu_r \mu_0 H_0 \frac{\pi}{4} d_1^2 + \mu_0 H_0 \frac{\pi}{4} (d_0^2 - d_1^2) \right] \quad (1.7)$$

în care s-a ținut seama de egalitățile componentelor tangente ale lui \vec{H} . Deci:

$$L_1 = \mu_0 \frac{\pi}{4} \frac{N^2}{l} (d_0^2 + x_{mi} d_1^2) \quad (1.8)$$

Dacă se face raportul relațiilor (1.8) și (1.5) se obține:

$$\frac{L_1}{L_0} = \frac{x_{mi}(d_1^2 + d_0^2)}{d_0^2} \quad (1.9)$$

și în final:

$$x_{mi} = \left(\frac{L_1}{L_0} - 1 \right) \left(\frac{d_0}{d_1} \right)^2 = \frac{L_1 - L_0}{L_0} \left(\frac{d_0}{d_1} \right)^2 \quad (1.10)$$

Inductanțele s-au măsurat cu o punte semiautomată (Semiautomatîc RLCG Bridge - BM 539) și s-au obținut valorile: $L_0 = 6,16 \text{ mH}$, $L_{11} = 9,39 \text{ mH}$, $L_{12} = 12,67 \text{ mH}$, $L_{13} = 9,34 \text{ mH}$. Corespunzător au rezul-

tat susceptibilitățile inițiale ale celor trei probe de lichid magnetic: $\chi_{mi_1} = 1,970$, $\chi_{mi_2} = 4,008$, $\chi_{mi_3} = 1,958$. Probele au particule de magnetită iar lichidul de bază este petrol sau ulei.

O altă metodă de măsurare a susceptibilității inițiale a lichidelor magnetice tinde să elimine eventualele erori introduse de diferența $\Delta L = L_1 - L_0$.

Schema electrică este prezentată în figura 1.1.

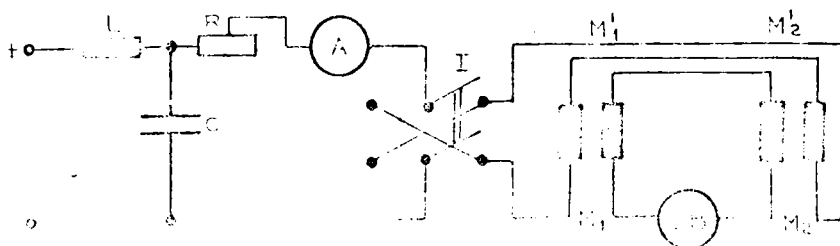


Fig. 1.1

Bobinele M_1 și M_2 sînt bobine lungi cu un cîmp cu grad mare de uniformitate. Bobinele de măsură M_1' și M_2' , plasate în interiorul lui M_1 respectiv M_2 , sînt conectate în opoziție. Bobina L și condensatorul C au rol de filtru.

Pentru realizarea bobinelor M_1' și M_2' s-a folosit conductor emalat de cupru cu un diametru de 0,1 mm, diametrul mediu al bobinelor fiind de 8,375 mm.

Scara galvanometrului balistic GB are 250 diviziuni (mm) și pentru a avea o precizie bună am considerat ca deviația maximă să fie în jurul a 200 diviziuni. Intensitatea cîmpului magnetic H_0 s-a considerat aproximativ 8 KA/m. Rezultă de aici numărul de spire pentru bobinele de măsură M_1' și M_2' :

$$N_2 = \frac{C_b \cdot a}{2 \chi_{mi} S_2 \mu_0 H_0} \quad (1.11)$$

unde C_b este constanta galvanometrului balistic iar a numărul de diviziuni.

Apreciind valorile $\chi_{mi} = 0,8$ și $H_0 = 8,0375$ KA/m se obține $N_2 = 2715$ spire.

S-au realizat astfel două bobine M_1' și M_2' cu $N_2 = 2715$ spire, lungimea lor fiind de 80 mm (raportul dintre lungime și diametru este $l/d = 80/8,375 = 9,55$).

Pentru dimensionarea bobinelor de cîmp s-a pornit de la relația:

$$H_0 = \frac{N_1 I}{L} \quad (1.12)$$

unde N_1 reprezintă numărul de spire, L lungimea bobinei iar I curentul ce o străbate.

Pentru o uniformitate ridicată a cîmpului magnetic în interiorul bobinei, trebuie ca raportul L/d_1 să fie cît mai mare [27], unde d_1 este diametrul bobinelor care determină cîmpul. În acest caz s-a considerat $L/d_1 = 15$.

Pentru confecționarea bobinelor s-au folosit tubuși de sticlă, cu diametrul exterior de 16 mm. Ținînd seama de condiția de mai sus rezultă lungimea bobinei $L = 15 d_1 = 15 \cdot 16 = 240$. S-a luat $L = 250$ mm.

Din relația (1.12) rezultă pentru un curent $I = 3$ A și $H_0 = 8$ KA/m, $N_1 = 666,6$ spire. Constructiv bobinele M_1 și M_2 au fost realizate din conductor de cupru emailat cu diametrul de 1 mm, în trei straturi, avînd în total 700 spire fiecare bobină.

Intensitatea cîmpului magnetic al unei bobine cu mai multe straturi, calculată pe axul ei, este dată de următoarea relație

$$H = \frac{N_1 I}{2(a_2 - a_1)L} \left[y_2 \ln \frac{\operatorname{tg}\left(\frac{\alpha_2''}{2} + \frac{\pi}{4}\right)}{\operatorname{tg}\left(\frac{\alpha_2'}{2} + \frac{\pi}{4}\right)} - y_1 \ln \frac{\operatorname{tg}\left(\frac{\alpha_1''}{2} + \frac{\pi}{4}\right)}{\operatorname{tg}\left(\frac{\alpha_1'}{2} + \frac{\pi}{4}\right)} \right], \quad (1.13)$$

elementele geometrice fiind precizate în figura 1.2.

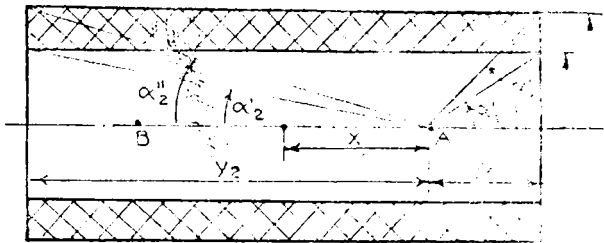


Fig. 1.2

Pentru a studia gradul de uniformitate a cîmpului magnetic s-au calculat valorile acestuia în punctele corespunzătoare extremităților bobinei de măsură, A și B, față de valoarea cîmpului la mijlocul bobinei.

Valorile numerice pentru cazul practic sînt: $L = 250$ mm, $2x = 80$ mm. Rezultă $y_1 = 85$ mm și $y_2 = 165$ mm. Pentru razele $a_1 = 8,1$ mm

și $a_2 = 10,8$ mm rezultă unghiurile $\alpha_1' = \arctg 8,1/85 = 5,443^\circ$,
 $\alpha_1'' = \arctg 10,8/85 = 7,24^\circ$, $\alpha_2' = \arctg 8,1/165 = 2,81^\circ$ și
 $\alpha_2'' = \arctg 10,8/165 = 7,24^\circ$.

Valoarea intensității cîmpului magnetic în curentul bobinei, H_M , se obține pentru $\alpha_1' = \alpha_2' = 3,707^\circ$ și $\alpha_1'' = \alpha_2'' = 4,938^\circ$. Cu ajutorul relației (1.13) rezultă: $H_A = H_B = 8,367$ kA/m și $H_M = 8,376$ kA/m.

Eroarea raportată în procente este $(H_M - H_A) \cdot 100/H_M = 0,107\%$, valoare care corespunde exigențelor metodei.

Intensitatea cîmpului magnetic de valoare calculată anterior corespunde unei inducții magnetice de aproximativ $B_0 = 100$ mT.

Uniformitatea cîmpului din interiorul bobinelor a fost verificată utilizînd o bobină sondă cu 600 spire în zece straturi, verificare ce a confirmat justetea calculelor.

Poziția bobinelor M_1' și M_2' poate fi modificată (figura 1.3) în interiorul bobinelor M_1 și M_2 pînă cînd se realizează condiția ca la acționarea inversorului I, pentru orice valoare a curentului de lucru, fluxurile totale ale bobinelor M_1' și M_2' , conectate în opoziție, să fie egale ($\Psi_{10} = \Psi_{20}$) și deci galvanometrul balistic GB să nu indice nici o diviziune.

Dacă într-una din bobinele M_1' și M_2' se introduce în tub cilindric cu lichid magnetic, la acționarea inversorului I apare o indicație a galvanometrului balistic, datorită susceptivității lichidului, care diferă de cea a aerului. Astfel galvanometrul balistic GB va indica o variație a fluxului total, $2\Delta\psi$, datorită basculării inversorului I:

$$2\Delta\psi = a_1 \cdot C_b, \quad (1.14)$$

unde: a_1 este deviația galvanometrului balistic GB (în mm) iar C_b constanta sa.

Pe de altă parte:

$$2\Delta\psi = 2\Psi_{10} + 2\Delta B S_{21} N_2 - 2\Psi_{20} = 2\Delta B S_{21} \cdot N_2 \quad (1.15)$$

unde: ΔB este variația inducției magnetice, N_2 numărul de spire al bobinei cu lichid magnetic și S_{21} suprafața secțiunii transversale a lichidului din tub.

Din relațiile (1.14) și (1.15) rezultă:

$$\Delta B = B_1 - B_0 = \frac{a_1 C_b}{2N_2 S_{21}}. \quad (1.16)$$

În relația (1.16) se ține seama că $B_0 = \mu_0 H_0$ și $B_1 = \mu_0 \mu_r H_0$

și deci:

$$\mu_r \mu_0 H_0 = \mu_0 H_0 + \frac{a_1 C_b}{2N_2 S_{21}} \quad (1.17)$$

Dacă se împarte cu $\mu_0 H_0 = B_0$ și se ține seama că $\mu_r = 1 + x_{mi}$, se obține:

$$x_{mi} = \frac{a_1 C_b}{2N_2 S_{21} B_0} \quad (1.18)$$

Pentru determinarea inducției magnetice în absența lichidului magnetic (B_0) s-a procedat în felul următor: s-a conectat la galvanometrul balistic GB numai bobina M_1 și s-au citit diviziunile a_0 funcție de curent. Rezultă astfel inducția magnetică:

$$B_0 = \frac{a_0 C_b}{2S_2 N_2} \quad (1.19)$$

Dacă se introduce relația (1.19) în relația (1.18) și se ține cont că secțiunile, atât a bobinei cât și a lichidului magnetic, sînt circulare, rezultă pentru susceptivitatea magnetică a bobinelor magnetice următoarea expresie:

$$x_{mi} = \left(\frac{d_2}{d_{21}} \right)^2 \cdot \frac{a_1}{a_0} \quad (1.20)$$

unde: d_2 este diametrul mediu al bobinei M_1 , d_{21} este diametrul lichidului, a_1 deviația galvanometrului balistic GB cînd există lichid magnetic, iar a_0 deviația sa în absența lichidului magnetic.

Este important de remarcat că în relația (1.20) nu intervine numărul de spire și constanta galvanometrului balistic GB, deci se elimină două posibile surse de erori. De asemenea este important de relevat că s-a eliminat eroarea ce apare la efectuarea operației de scădere a două inductanțe, diferența făcîndu-se pe cale electrică prin însuși principiul metodei.

La realizarea instalației experimentale s-a avut în vedere o poziționare a bobinelor în plan vertical, ceea ce elimină bulele de aer ce se formează în poziție orizontală și care afectează omogenitatea probei de lichid magnetic.

De asemenea, pentru ca fără lichid magnetic fluxul total al bobinelor de măsură M_1 și M_2 conectate în opoziție să fie nul, bobinele M_1 și M_2 neputînd fi perfect identice, s-a conceput posibilitatea mișcării lor în plan vertical (fig.1.3), pînă la atingerea dezeratului cerut.

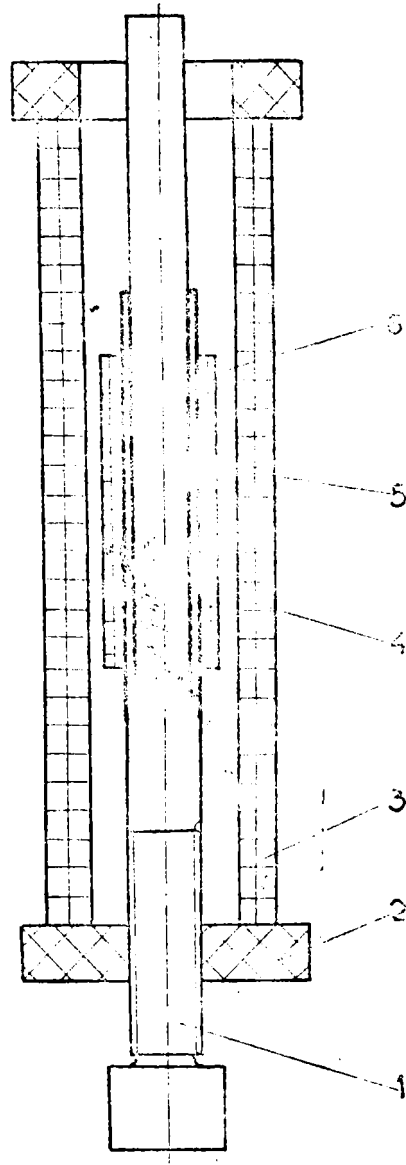


Fig. 1.3

- 1. fișă filetată
- 2. randelă
- 3. bobină generatoare de câmp (M_1, M_2)
- 4. bobină de măsură (M'_1, M'_2)
- 5. tub din sticlă
- 6. tub din sticlă în care se introduce lichid magnetic

Rezultatele experimentale sînt trecute în tabelele 11, 12 și 13.

Pentru cele trei probe s-au obținut valorile medii: $x_{mi1} = 1,860$, $x_{mi2} = 4,88$ și $x_{mi3} = 1,817$, valori apropiate de cele obținute prin metoda măsurării inductivităților, mai puțin exactă.

Experiențele reluate după un interval de aproximativ două luni au dus la valori foarte apropiate (tabelele 14, 15 și 16): $x_{mi1} = 1,819$, $x_{mi2} = 4,822$ și $x_{mi3} = 1,789$. Tendința de scădere a lui x_{mi} se poate datora sedimentării în timp a unei mici părți de particule cu diametrul mai mare.

Tabelul 11 Proba F₁

Nr. crt.	I [A]	a_0 [mm]	a_1 [mm]	a/a_0	x_{mi}
1	0,06	17	10	0,588	2,231
2	0,08	20	13	0,650	2,467
3	0,1	30	15	0,500	1,898
4	0,15	44	23	0,523	1,985
5	0,2	58	30	0,517	1,962
6	0,3	89	45	0,506	1,920
7	0,4	117	60	0,513	1,947
8	0,5	147	74	0,503	1,909
9	0,6	173	87	0,503	1,909
10	0,7	205	101	0,493	1,871
11	0,8	235	115	0,489	1,856
12	0,9	265	127	0,479	1,818
13	1,0	293	143	0,488	1,852
14	1,1	325	152	0,468	1,776
15	1,2	353	167	0,473	1,735
16	1,3	383	176	0,460	1,746
17	1,4	413	191	0,462	1,753
18	1,5	442	199	0,450	1,709
19	1,6	463	205	0,443	1,681
20	1,7	490	219	0,447	1,696
21	1,8	520	230	0,442	1,677
22	1,9	550	235	0,427	1,620
23	2,0	580	247	0,426	1,617

Tabelul12 Proba P₂

Nr. crt.	I [A]	a [mm]	a ₀ [mm]	a / a ₀	x _{mi}
1	0,06	24	17	1,412	5,359
2	0,08	31	23	1,348	5,115
3	0,1	39	30	1,300	4,934
4	0,15	58	44	1,318	5,002
5	0,2	76	58	1,310	4,971
6	0,3	113	89	1,270	4,820
7	0,4	149	117	1,274	4,835
8	0,5	181	147	1,231	4,672
9	0,6	214	173	1,237	4,694
10	0,7	242	205	1,180	4,478

Tabelul13 Proba P₃

Nr. crt.	I [A]	a ₀ [mm]	a [mm]	x _{mi}
0	1	2	3	4
1	0,06	17	9	2,008
2	0,08	23	12	1,981
3	0,1	30	15	1,898
4	0,15	44	23	1,985
5	0,2	58	30	1,962
6	0,3	89	46	1,962
7	0,4	117	60	1,947
8	0,5	147	75	1,935
9	0,6	173	90	1,973
10	0,7	205	102	1,890
11	0,8	235	115	1,856
12	0,9	265	128	1,833
13	1,0	293	135	1,749
14	1,1	325	147	1,715
15	1,2	353	161	1,713
16	1,3	383	170	1,685
17	1,4	413	183	1,681

Tabelul 1.3 Proba 3 (continuare)

0	1	2	3	4
18	1,5	442	194	1,661
19	1,6	463	205	1,681
20	1,7	490	217	1,681
21	1,8	520	232	1,693
22	1,9	550	239	1,651
23	2,0	580	250	1,635

Tabelul 1.4 Proba P₄

Nr. crt.	I [A]	a ₀ [mm]	a [mm]	a / a ₀	x _{mi}
1	0,06	17	9	0,529	2,009
2	0,08	20	12	0,600	2,277
3	0,1	30	15	0,500	1,896
4	0,15	44	22	0,500	1,898
5	0,2	58	29,5	0,509	1,930
6	0,3	89	44	0,494	1,876
7	0,4	117	59	0,504	1,914
8	0,5	147	71	0,483	1,833
9	0,6	173	86	0,497	1,887
10	0,7	205	98,5	0,480	1,823
11	0,8	235	113	0,481	1,825
12	0,9	265	128	0,483	1,833
13	1,0	293	139	0,474	1,800
14	1,1	325	151	0,465	1,763
15	1,2	353	162	0,459	1,742
16	1,3	383	176	0,460	1,744
17	1,4	413	185	0,448	1,700
18	1,5	442	197	0,456	1,691
19	1,6	463	208	0,449	1,605
20	1,7	490	219	0,447	1,697
21	1,8	520	229	0,440	1,671
22	1,9	530	237	0,447	1,697
23	2,0	580	247	0,426	1,616

538.377
104 F

Tabelul 4.5 Proba P₂

Nr. crt.	I [A]	a ₀ [mm]	a [mm]	a / a ₀	x _{mi}
1	0,06	17	23,5	1,382	5,246
2	0,08	23	31	1,348	5,115
3	0,1	30	38	1,266	4,807
4	0,15	44	58	1,318	5,002
5	0,2	58	75	1,293	4,907
6	0,3	89	111	1,247	4,733
7	0,4	117	147	1,255	4,768
8	0,5	147	178	1,211	4,595
9	0,6	173	210	1,213	4,606
10	0,7	205	240	1,170	4,443

Tabelul 4.6 Proba P₃

Nr. crt.	I A	a ₀ [mm]	a [mm]	a / a ₀	x _{mi}
1	0,06	17	8,5	0,500	1,898
2	0,08	20	12	0,600	2,277
3	0,1	30	14	0,466	1,771
4	0,15	44	21	0,477	1,811
5	0,2	58	28	0,483	1,832
6	0,3	89	41	0,461	1,748
7	0,4	117	55	0,470	1,764
8	0,5	147	68	0,463	1,756
9	0,6	173	81	0,468	1,777
10	0,7	205	93	0,454	1,722
11	0,8	235	106	0,451	1,712
12	0,9	265	118	0,445	1,690
13	1,0	293	130,5	0,445	1,690
14	1,1	325	143	0,440	1,670
15	1,2	353	154	0,436	1,656
16	1,3	383	164	0,428	1,625
17	1,4	413	177	0,429	1,626
18	1,5	442	189	0,428	1,625
19	1,6	463	199	0,430	1,631
20	1,7	490	210	0,429	1,626
21	1,8	520	218	0,419	1,590
22	1,9	550	231	0,436	1,654
23	2,0	580	245	0,422	1,603

1.2. Susceptivitatea magnetică complexă

În absența unui câmp magnetic exterior, particulele coloidale, presupuse avînd fiecare momentul magnetic \bar{m} , au orientări aleatoare, astfel încît, pe ansamblul lichidului magnetic magnetizația este nulă.

Dacă se aplică un câmp magnetic exterior uniform \bar{H} particulele tind să se orienteze după direcția acestuia, tendință care se accentuează o dată cu creșterea cîmpului, pînă la o aliniere completă a particulelor magnetice după direcția cîmpului exterior, magnetizația obținînd valoarea de saturație.

Pentru magnetizările prin orientare este satisfăcută ecuația [28]:

$$\tau \frac{d\bar{M}}{dt} + \bar{M} = \chi_{m0} \bar{H}, \quad (1.21)$$

în care τ este timpul de relaxare (același pentru toate particulele - model DEBALE), H modulul intensității cîmpului exterior aplicat, M modulul vectorului de magnetizație și χ_{m0} susceptivitatea magnetică în cîmp magnetic staționar.

Dacă se rezolvă ecuația (1.21) pentru regimul sinusoidal permanent ($H = H_m \sin \omega t$) se obține:

$$j\omega\tau \underline{M} + \underline{M} = \chi_{m0} \underline{H} \quad (1.22)$$

sau

$$\underline{M} = \frac{\chi_{m0}}{1 + j\omega\tau} \underline{H} \quad (1.23)$$

Relația (1.23) stabilește legătura între complexul vectorului de magnetizație \underline{M} și complexul vectorului intensitate de cîmp magnetic \underline{H} .

Susceptivitatea magnetică complexă se definește în forma:

$$\underline{\chi}_m = \frac{\underline{M}}{\underline{H}} = \frac{\chi_{m0}}{1 + j\omega\tau} \quad (1.24)$$

sau

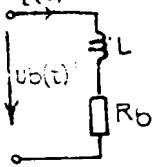
$$\underline{\chi}_m = \frac{\chi_{m0}}{1 + (\omega\tau)^2} - j \frac{\omega\tau \chi_{m0}}{1 + (\omega\tau)^2} = \chi_m' - j\chi_m'' \quad (1.25)$$

Susceptivitatea magnetică complexă are deci o parte reală $\chi_m' = \chi_{m0} / (1 + \omega\tau)^2$ și una imaginară $\chi_m'' = \omega\tau \chi_{m0} / (1 + \omega\tau)^2$, ambele fiind funcție de frecvența $f = \omega / 2\pi$ a cîmpului magnetic aplicat. La $\omega = 0$ (cîmp magnetic staționar) rezultă $\chi(0) = \chi_{m0}$ și $\chi'(0) = 0$.

Dacă se alimentează o bobină cu o tensiune sinusoidală

$u_b(t) = u_m \sin(\omega t)$ și se notează cu R_b și L rezistența, respectiv complexul inductanței bobinei, ecuația corespunzătoare circuitului din figura 1.3^{*} este:

$$\underline{u}_b = \underline{i} H_b + \frac{d\psi}{dt} = \underline{i} R_b + j\omega \psi \quad (1.26)$$



unde ψ este fluxul magnetic total al bobinei.

Dacă se utilizează teoremele complexului inductanței și variației inductanței demonstrate în [28], ecuația (1.26) devine:

Fig. 1.3^{*}

$$\underline{u}_b = \underline{i} R_b + j\omega \left[L_0 + L_0 \frac{x_m' \int_{v_M} H_{om}^2 dv}{\int_{v_\infty} H_{om}^2 dv} - jL_0 \frac{x_m'' \int_{v_M} H_{om}^2 dv}{\int_{v_\infty} H_{om}^2 dv} \right] \underline{i} \quad (1.27)$$

sau

$$\underline{u}_b = \underline{i} \left[R_b + \omega L_0 \frac{x_m'' \int_{v_M} H_{om}^2 dv}{\int_{v_\infty} H_{om}^2 dv} \right] + j\omega \left[L_0 + L_0 \frac{x_m' \int_{v_M} H_{om}^2 dv}{\int_{v_\infty} H_{om}^2 dv} \right] \underline{i} \quad (1.28)$$

în care v_M reprezintă volumul ocupat de lichid iar v_∞ , întregul domeniu al câmpului, L_0 inductanța bobinei în lipsa lichidului și H_{om} amplitudinea intensității câmpului magnetic în lipsa probei cu lichid magnetic.

Lin relația (1.28) rezultă parametri echivalenței ai bobinei: rezistența echivalentă

$$R_e = R_b + \omega L_0 \frac{x_m'' \int_{v_M} H_{om}^2 dv}{\int_{v_\infty} H_{om}^2 dv} \quad (1.29)$$

și inductanța echivalentă

$$L_e = L_0 + L_0 \frac{x_m' \int_{v_M} H_{om}^2 dv}{\int_{v_\infty} H_{om}^2 dv} \quad (1.30)$$

Dacă se notează cu:

$$A = \int_{v_M} H_{om}^2 dv / \int_{v_\infty} H_{om}^2 dv \quad (1.31)$$

mărima care rămâne constantă la o probă de lichid magnetic, atunci din (1.29) și (1.30) rezultă expresiile lui x_m' și:

$$x'_m = \frac{1}{A} \frac{L_e - L_0}{L_0} = \frac{1}{A} \frac{\Delta L}{L_0} \quad (1.32)$$

$$x''_m = \frac{1}{A} \frac{R_e - R_b}{\omega L_0} = \frac{1}{A} \frac{\Delta R_b}{\omega L_0} \quad (1.33)$$

Relațiile (1.32) și (1.33) dau posibilitatea determinării mărimilor x'_m și x''_m prin măsurarea variației inductanței și a variației unei bobine la introducerea în aceasta a unei probe de lichid magnetic.

S-au realizat două instalații experimentale pentru măsurarea inductanței și rezistenței bobinei, prima bazată pe fenomene de rezonanță iar a doua fiind constituită dintr-o punte foarte sensibilă.

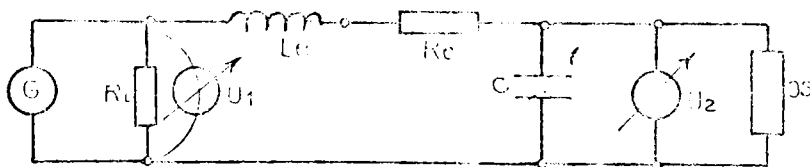


Fig. 1.4

În figura 1.4 este prezentată schema ce se bazează pe rezonanța de tensiune. Ea se compune din generatorul de tensiune sinusoidală cu frecvență variabilă G , rezistența etalon R_1 (mult mai mică decât impedanța circuitului exterior), bobina sondă (L_e și R_e), capacitatea variabilă C , voltmetrele electronice U_1 și U_2 și osciloscopul OS.

La început se introduce bobina sondă fără lichid magnetic și la frecvența aleasă (f_0) se modifică valoarea capacității pînă se stabilește rezonanța. Momentul rezonanței se identifică cu ajutorul osciloscopului OS prin amplitudinea maximă a tensiunii U_2 . Dacă L_0 și R_b sînt parametrii bobinei, la rezonanță se poate scrie:

$$\omega_0 L_0 = \frac{1}{\omega_0 C} \quad ; \quad L_0 = \frac{1}{\omega_0^2 C} \quad (1.34)$$

și

$$Q_0 = \frac{U_{20}}{U_1} = \frac{\omega_0 L_0}{R_b} \quad ; \quad R_b = \frac{\omega_0 L_0}{Q_0} \quad (1.35)$$

Se repetă măsurările pentru bobina cu lichid magnetic pentru care, la rezonanță, mărimile măsurate sînt U_2 și capacitatea C . În acest caz avem:

$$\omega_0 (L_0 + \Delta L) = \frac{1}{\omega_0 C} \quad ; \quad \Delta L = \frac{C_0 - C}{\omega_0^2 C C_0} \quad (1.36)$$

și din:

$$\frac{U_2}{U_1} = C = \frac{\omega_0(L_0 + \Delta L)}{R_b + \Delta R} = \frac{C_0 + \frac{\omega_0 \Delta L}{R_b}}{1 + \frac{\Delta R}{R_b}} \quad (1.37)$$

rezultă:

$$\Delta R_b = \left(\frac{C_0}{C} \cdot \frac{U_{20}}{U_2} - 1 \right) R_b. \quad (1.38)$$

Egalitățile (1.36) și (1.38) împreună cu (1.32) și (1.33) permit determinarea părții reale și imaginare a susceptivității magnetice complexe:

$$x'_m = \frac{1}{A} \frac{C_0 - C}{C_0}, \quad (1.39)$$

$$x''_m = \frac{1}{A} \left(\frac{C_0}{C} \frac{U_1}{U_{01}} - \frac{U_1}{U_{00}} \right). \quad (1.40)$$

A doua schemă utilizează puntea Anderson care, cum se specifică în literatură [29], permite măsurarea unor inductivități mici.

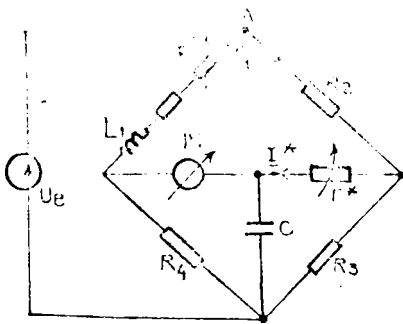


Fig. 1.5

Schema punții este dată în fig. 1.5. În serie cu bobina cu lichid magnetic este introdusă rezistența variabilă $R_1^{\#}$.

Notînd cu $R_1 = R_{1b} + R_1^{\#}$, la echilibru, pentru curenți se obțin expresiile:

$$I_1' = \frac{U_e}{R_1 + R_4 + j\omega L_1},$$

$$I_2' = \frac{U_e (C(R_3 + r^{\#}) - j)}{\omega C(R_2 R_3 + R_2 r^{\#} + R_3 r^{\#}) - j(R_2 + R_3)}; \quad (1.41)$$

$$I_1^{\#} = \frac{U_e R_3 \omega C}{C(R_2 R_3 + R_2 r^{\#} + R_3 r^{\#}) - j(R_2 + R_3)}. \quad (1.42)$$

Din condiția de echilibru:

$$-I_1' (R_1 + j\omega L_1) + I_2' R_2 + I_1^{\#} r^{\#} = 0 \text{ rezultă:}$$

$$\frac{R_1 + j\omega L_1}{R_1 + R_4 + j\omega L_1} = \frac{R_2\omega C(R_3 + r^*) - R_2j + r^*R_3\omega C}{\omega C(R_2R_3 + R_2r^* + R_3r^*) - j(R_2 + R_3)} \quad (1.43)$$

Egalînd părțile reale și cele imaginare din relația (1.43) se obține:

$$CR_1(R_2R_3 + R_2r^* + R_3r^*) + \omega L_1(R_2 + R_3) = [R_2\omega C(R_3 + r^*) + r^*R_3\omega C](R_1 + R_4) + \omega L_1R_4; \quad (1.44)$$

$$\omega L_1\omega C(R_2R_3 + R_2r^* + R_3r^*) - R_1(R_2 + R_3) = -R_2(R_1 + R_4) + \omega L_1R_2\omega C(R_3 + r^*) \quad (1.45)$$

Din relațiile (1.45) și (1.44) se obține

$$R_1R_3 = R_2R_4 \quad \text{și} \quad (1.46)$$

$$L_1 = C[R_2R_4 + r^*(R_1 + R_4)] \quad (1.47)$$

Ecuatiile (1.46) și (1.47) constituie condițiile de echilibru ale punții și permit să se măsoare inductanța bobinei și rezistența sa.

La dimensionarea punții, pentru a se obține o sensibilitate maximă în determinarea lui L_1 s-au avut în vedere următoarele: s-a ales o astfel de valoare a capacității C încît raportul L_1/C să realizeze $R_1 = R_4$; s-au asigurat egalitățile $R_2 = R_3 = R_1/2 = R_4/2$.

Bobina utilizată în experiment este caracterizată prin $L_1 = 1$ mH și $R_{1b} = 6 \Omega$. Dimensionînd puntea după metoda indicată rezultă $C = 0,1 \mu F$, $R_1 = R_4 = 100 \Omega$ și $R_2 = R_3 = 50 \Omega$. Pentru R_4 s-a folosit o rezistență etalon fixă iar celelalte rezistențe sînt în decade. Echilibrul punții s-a realizat modificînd corespunzător rezistențele R_1^* și r^* .

Prin amîndouă metodele s-au obținut rezultate apropiate.

În figura 1.5' este prezentată dependența părții reale a susceptivității magnetice complexe de frecvență (unde A are semnificația din relația (1.31)) pentru două probe de lichid magnetic pe bază de petrol, proba numărul 1 avînd magnetizația de saturație de 150 G, iar proba numărul 2 de 300 G.

Se observă faptul că odată cu creșterea frecvenței partea reală a susceptivității magnetice complexe tinde monoton descrescător la zero. Acest fapt a fost remarcat pentru întregul lot de probe de lichid magnetic studiate.

În figura 1.6' este prezentată dependența de frecvență a părții imaginare a susceptivității magnetice complexe pentru aceleași două

probe de lichid magnetic.

Lichidele magnetice pe bază de magnetită studiate pînă aici au constanta anizotropiei magnetice cristaline mică. În continuare am studiat dispersia permeabilității magnetice a lichidelor magnetice pe bază de particule de ferită de cobalt fabricate în URSS [21]. Constanta anizotropiei magnetice cristaline este de 30 de ori mai mare decît a magnetitei. Spre deosebire de cazurile tratate anterior, la aceste lichide s-au determinat dependențele lui x'_m și x''_m în funcție de frecvență cînd în bobina sondă era prezent și un cîmp magnetic constant, notat cu B_0 (figurile 1.8 și 1.9).

Pentru a studia dependența $x''_m = f(x'_m)$ am pornit de la relația Cole-Cole [36]:

$$\underline{x}_m = x_m + \frac{x_{m0} - x_{m\infty}}{1 + (j\omega\tau)^{1-\alpha}} \quad (1.48)$$

unde α este o constantă reală, $0 \leq \alpha < 1$, $x_{m\infty}$ reprezintă susceptivitatea magnetică la frecvențe foarte înalte ($\omega \rightarrow \infty$) iar x_{m0} susceptivitatea la frecvențe joase ($\omega \rightarrow 0$). Pentru $\alpha = 0$ din relația Cole-Cole se obține ecuația lui Debye.

Din ecuația complexă (1.48) se obțin două ecuații reale din care se elimină parametrul $\omega\tau$. Se obține în acest mod următoarea relație:

$$\begin{aligned} [x'_m - \frac{1}{2}(x_{m0} + x_{m\infty})]^2 + [x''_m + \frac{1}{2}(x_{m0} - x_{m\infty}) \operatorname{tg} \frac{\pi\alpha}{2}]^2 = \\ = \frac{1}{4}(x_{m0} - x_{m\infty})^2 \sec^2 \frac{\pi\alpha}{2} \end{aligned} \quad (1.49)$$

Această relație reprezintă ecuația unui cerc în planul $x'_m ox''_m$,

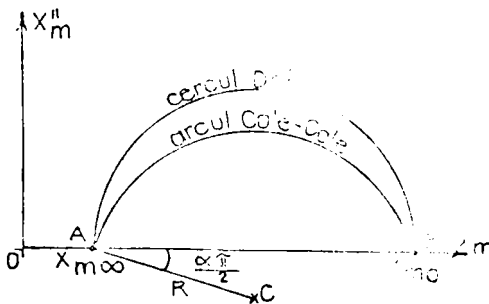


Fig. 1.6

cercul fiind în punctul C de coordonate $((x_{m0} + x_{m\infty})/2, -(x_{m0} - x_{m\infty})/2 \operatorname{tg}(\pi\alpha/2))$ și avînd raza $R = (x_{m0} - x_{m\infty})/2 \cdot \cos(\pi\alpha/2)$. Cercul intersectează axa ox'_m în punctele $x_{m\infty}$ și x_{m0} (figura 1.6) și are un arc de cerc în cadranul întii, arc plasat în interiorul cercului D by...

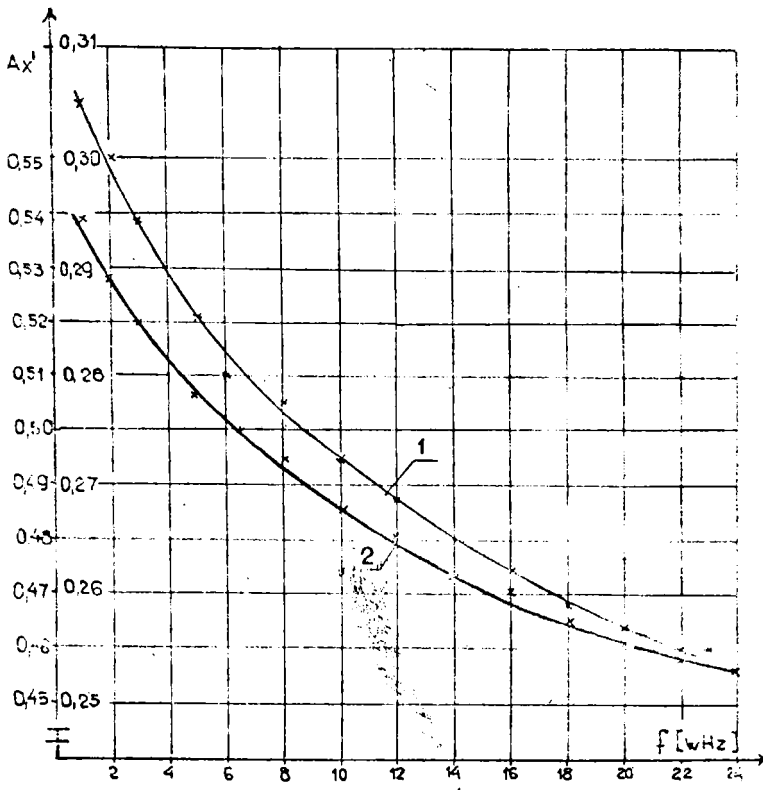


Fig. 4.5

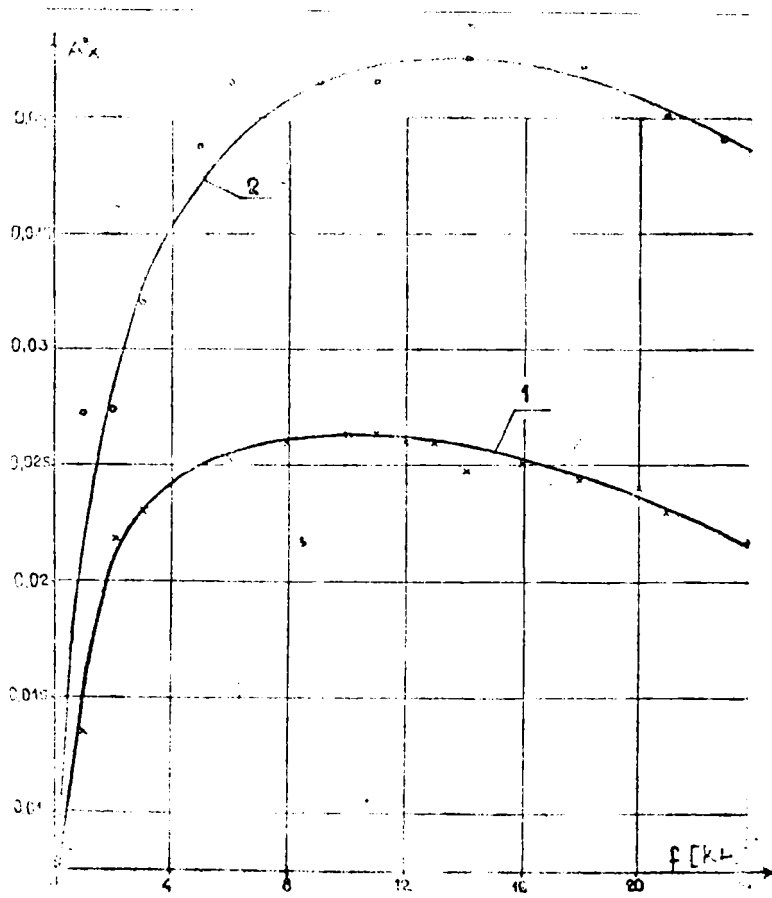


Fig. 4.68

Pentru parametrul α din relația Cole-Cole se poate da următoarea interpretare geometrică: raza cercului care trece prin punctul A de coordonate $(x_{m0}, 0)$ face cu axa ox'_m unghiul $\pi\alpha/2$.

Din diagrama Cole-Cole se poate determina și timpul de relaxare τ , sau, dacă se cunoaște timpul de relaxare, se poate determina pulsația ω pentru fiecare punct de pe diagramă, folosind următoarea relație:

$$\omega\tau = \left(\frac{v}{u}\right)^{(1-\alpha)} \quad (1.50)$$

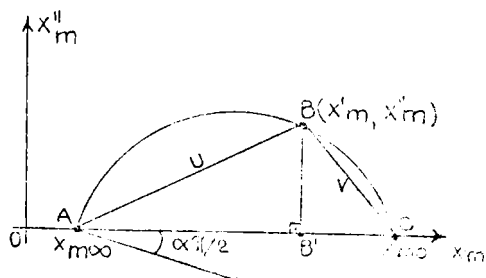


Fig. 1.7

Mărimile u și v sînt reprezentate pentru un punct oarecare B de pe diagramă, în figura 1.7. Tot de aici rezultă, aplicînd teorema lui Pitagora, raportul v/u :

$$\frac{v}{u} = \frac{\left((x_{m0} - x'_m)^2 + (x''_m)^2\right)^{1/2}}{\left((x'_m - x_{m0})^2 + (x''_m)^2\right)^{1/2}} \quad (1.51)$$

Astfel, pe baza măsurătorilor experimentale se poate construi diagrama Cole-Cole, se determină valoarea lui α (unghiul $\pi\alpha/2$) și determinînd raportul v/u (din relația (1.51)) se poate calcula timpul de relaxare cu relația (1.50). Timpul de relaxare o dată determinat, poate fi utilizat pentru calculul frecvenței pentru orice punct de pe diagrama Cole-Cole.

În realitate pot să existe mai multe mecanisme de relaxare cu diferiți timpi de relaxare. În aceste cazuri se presupune existența unei distribuții continue de timpi de relaxare pe intervalul $(0, \infty)$, cu o funcție de distribuție $f(\tau)$ care satisface ecuația:

$$\int_0^{\infty} f(\tau) d\tau = 1 \quad (1.52)$$

În acest caz susceptivitatea magnetică complexă ia forma:

$$\underline{\chi}_m = \chi_m + (x_{m0} - x_{m\infty}) \int_0^{\infty} \frac{f(\tau) d\tau}{1 + j\omega\tau} \quad (1.53)$$

funcția de distribuție $f(\tau)$ avînd expresia [21]:

$$f(\tau) = \frac{\omega\tau \sin \pi\alpha}{(2/\tau)^2} \frac{1}{\left[\frac{1}{2\pi} \left(1 - 2\left(\frac{\tau}{2}\right)^{1-\alpha} \cos \pi\alpha + \left(\frac{\tau}{2}\right)^2 (1-\alpha) \right) \right]} \quad (1.54)$$

Partea reală și imaginară a lui x_m se transformă corespunzător, obținându-se relațiile:

$$x_m' = x_m + (x_{m0} - x_{m\infty}) \int_0^{\infty} \frac{f(z) dz}{1 + \omega^2 z^2}, \quad (1.55)$$

$$x_m'' = (x_{m0} - x_{m\infty}) \int_0^{\infty} \frac{f(z) dz}{1 + \omega^2 z^2}, \quad (1.56)$$

În practică se preferă utilizarea ecuației Cole-Cole deoarece folosirea relațiilor (1.53), (1.54) conduce la expresii foarte complicate pentru x_m' și x_m'' .

Metodica experimentală de lucru a fost asemănătoare cu cea prezentată la începutul capitolului. Spre deosebire de cazurile studiate anterior, la lichidele magnetice cu particule din ferită de cobalt s-au determinat dependențele lui x_m' și x_m'' în funcție de frecvență când bobina sondă era plasată și într-un câmp magnetic exterior constant, notat cu B_0 .

Susceptivitatea inițială s-a determinat cu ajutorul unui magnetometru vibrator și a avut valoarea $x_{m0} = 0,025.4\mathcal{K} = 0,314$. Raportul lungimii probei față de diametrul său a fost de 4,2, parametrii bobinei s-au măsurat cu ajutorul unei punți de tipul BM 401 E alimentată de la un generator Φ 578 și completată cu un indicator de nul Φ 582.

Din graficul din figura 1.8 se observă că x_m' tinde monoton către zero odată cu creșterea frecvenței. De asemenea, valoarea sa este cu atât mai mare, la frecvențe sub un kHz, cu cât câmpul exterior constant aplicat - B_0 - este mai mic.

La aceste lichide magnetice (cu particule din ferită de cobalt) dependența x_m'' cu frecvența prezintă un maxim (figura 1.9) a cărui valoare scade cu intensitatea câmpului exterior aplicat B_0 . Se remarcă o migrare a acestuia, o dată cu creșterea lui B_0 , spre valori mai mari ale frecvenței iar pentru $B_0 = 40$ mT extremul lui x_m'' nu mai aparține intervalului de pînă la 10 kHz studiat.

Pentru trasarea diagramelor Cole-Cole, respectiv pentru determinarea coordonatelor centrului și a razei cercului, am utilizat un program scris în FORTRAN și rulat pe calculatorul CORAL 402A.

Programul determină cercurile care trec prin câte trei puncte experimentale date. Astfel dacă există "n" date experimentale se

obțin $C_n^3 = n(n-1)(n-2)/6$ cercuri. Din acestea este ales cercul cu abaterea standard, față de toate punctele experimentale, minimă. Se dau coordonatele centrului și raza acestui cerc.

În figura 1.11 este prezentat programul de calcul.

Din diagramele Cole-Cole prezentate în figura 1.10 se observă o foarte bună înșiruire a punctelor experimentale pe arcul de cerc și o micșorare a valorii x'_m/x_{m0} o dată cu creșterea valorii cîmpului exterior constant B_0 .

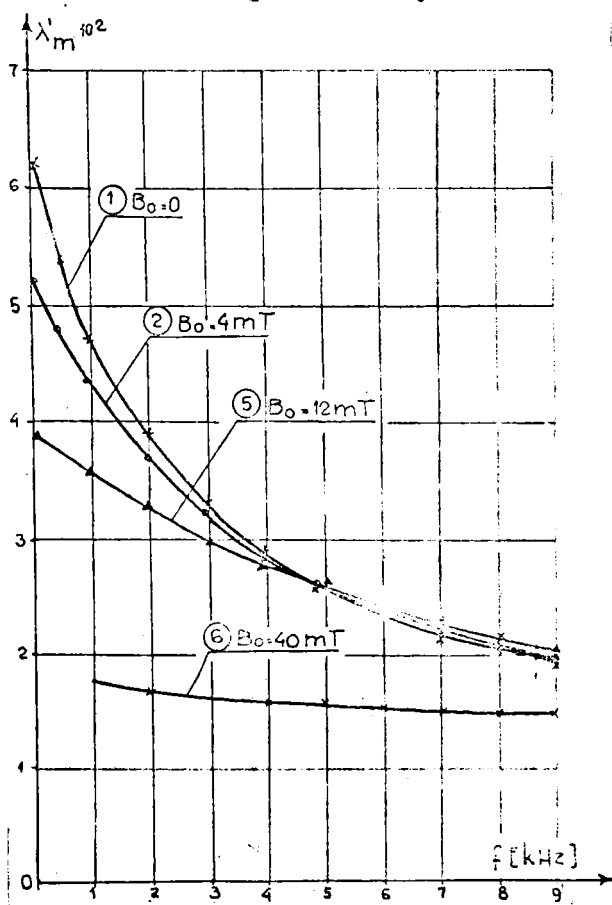


Fig. 1.8

Dependența de frecvență a părții reale a susceptivității magnetice complexe pentru diverse valori ale cîmpului magnetic constant B_0 .

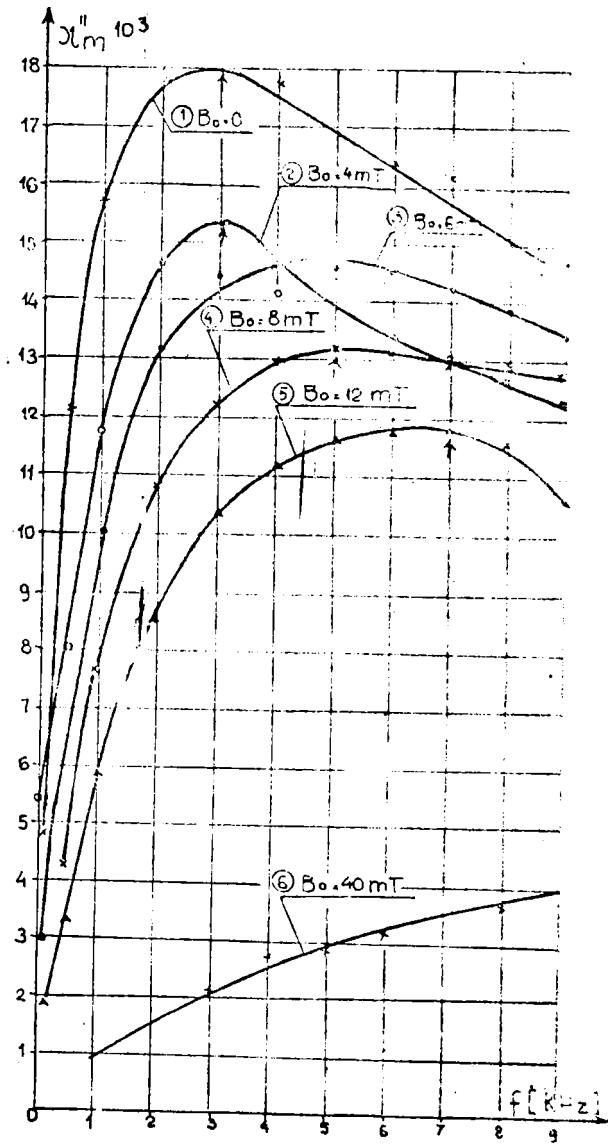


Fig. 1.9

Dependența de frecvență a părții imaginare a susceptivității magnetice complexe pentru diverse valori ale cîmpului magnetic constant B_0 .

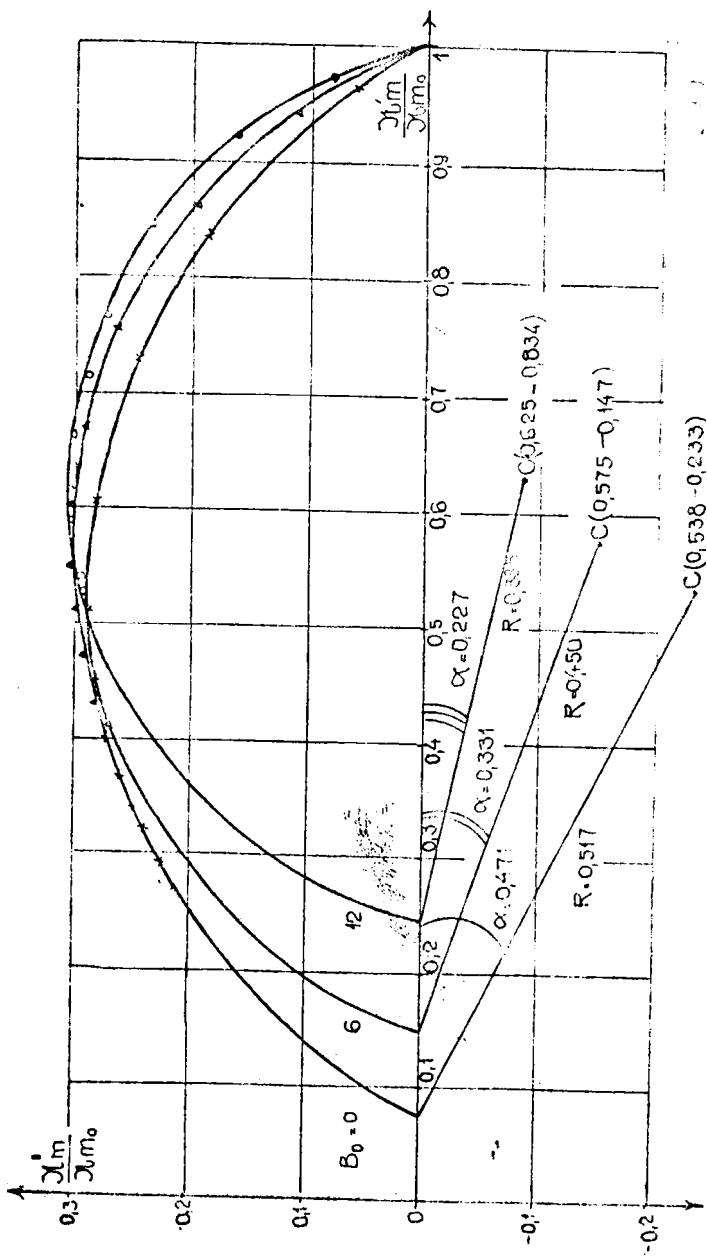


Fig. 1.10

Diagrame Cole-Cole pentru lichide magnetice cu particule din ferită de cobalt la trei valori ale cîmpului magnetic constant B_0 aplicat $B_0 = 0, 6, 12$ mT


```

C-----
C
C   PROGRAM PENTRU APROXIMAREA ECUATIEI UNUI CERC
C-----
C
C   MATRICILE X(12),Y(12) CONTIN COORDONATELE
C   PE AXA X RESPECTIV Y A PUNCTELOR DETERMINATE EXPERIMENTALE
C
0001   COMMON X(12),Y(12)
0002   PRINT*, ' B=40MT'
C
0003   DATA X(1),X(2),X(3),X(4)/.334,.291,.253,.210/
0004   DATA X(5),X(6),X(7),X(8)/.178,.156,.14,.129/
0005   DATA X(9),X(10),X(11)/.118,.113,.102/
0006   DATA Y(1),Y(2),Y(3),Y(4)/.0258,.0652,.0846,.0959/
0007   DATA Y(5),Y(6),Y(7),Y(8)/.097,.0959,.0911,.0848/
0008   DATA Y(9),Y(10),Y(11)/.0873,.0814,.0781/
C-----
C
C   SE IMPUNE CA CERCUL SA INTERSECTEZE AXA X
C   IN PUNCTUL DE COORDONATE x=1,y=0
0009   X(12)=1.
0010   Y(12)=0.
C-----
C
C   SE CERE NUMARUL DE PUNCTE CARE SE DORESTE LUAT IN CONSIDERARE
0011   WRITE(5,1)
0012   1   FORMAT(1X,'Nr. de puncte :',%)
0013   READ(5,2)NP
0014   2   FORMAT(I2)
C
C   SE INITIALIZEAZA EROAREA MEDIE PATRATICA
0015   SIGI=1000.
C-----
C
C   SE EXECUTA UN CALCUL AL ERORILOR PENTRU TOATE COMBINATIILE
C   POSIBILE DE 2 PUNCTE(AL TREILEA FIIND IMPUS x=1,y=0)
C   SI SE CALCULEAZA EROAREA MEDIE PATRATICA
C
0016   DO 10 L=1,NP-2
0017   DO 10 J=L+1,NP-1
0018   CALL CCAL(X(L),X(J),X(12),Y(L),Y(J),Y(12),XC,YC,R)
0019   CALL SIGMA(XC,YC,R,SIG,NP)
0020   IF(SIG.LE.SIGI)GO TO 200
0021   GO TO 10
C
C   SE CAUTA EROAREA MINIMA
C
0022   200   XXC=XC
0023   YYC=YC
0024   RR=R
0025   SIGI=SIG
0026   10   CONTINUE

```

Fig. 1.11

Program de determinare a razei și
centrului cercului Cole-Cole

$$\vec{F}_{v_x} = \vec{F}_{v_z} + \vec{F}_{v_m} = \text{grad} \left[-\varrho g z + \varrho \mu_0 \int_0^H \left(\frac{\partial H}{\partial \varrho} \right)_{H, z} dH \right] \quad (1.59)$$

Forța rezultantă, distribuită cu densitatea \vec{F}_{v_x} , generează în lichidul magnetic o presiune, care la echilibru se determină din egalitatea:

$$\vec{F}_{v_x} = \text{grad } p \quad (1.60)$$

Ținând seama de relația (1.60) se obține:

$$p = -\varrho g z + \varrho \mu_0 \int_0^H \left(\frac{\partial H}{\partial \varrho} \right)_{H, z} dH + C \quad (1.61)$$

Constanta de integrare C se determină din condiția ca la $z = z_0$ presiunea să fie cea atmosferică, p_0 , iar intensitatea cîmpului magnetic nulă; rezultă $C = p_0 + \varrho g z_0$ și relația (1.61) devine:

$$p = \varrho g (z - z_0) + \varrho \mu_0 \int_0^H \left(\frac{\partial H}{\partial \varrho} \right)_{H, z} dH + p_0 \quad (1.62)$$

Forța rezultantă, care se exercită asupra lichidului magnetic, are expresia [34]:

$$F = \oint_{\Sigma} p d\vec{s} + \oint_{\Sigma} \vec{F}_{em} ds, \quad (1.63)$$

unde suprafața închisă Σ este formată din reuniunea suprafețelor circulare inferioare (S_1) și superioare (S_2) și a celei cilindrice laterale (S_L), iar \vec{F}_{em} reprezintă densitatea de suprafață a forței exercitate de cîmpul magnetic.

Datorită simetriei cilindrice, integrala pe suprafața laterală S_L se anulează și rezultă:

$$\oint_{\Sigma} p d\vec{s} = \int_{S_1} p \vec{n}_{12} ds - \int_{S_2} p \vec{n}_{12} ds \quad (1.64)$$

unde \vec{n}_{12} este versorul normalei cu sensul din figura .

Laocă se dezvoltă membrul drept al relației (1.64), ținînd cont de (1.62), și se notează $S_1 = S_2 = S$, se obține:

$$\begin{aligned} \int_{S_1} p \vec{n}_{12} ds - \int_{S_2} p \vec{n}_{12} ds &= [\varrho g (z_0 - z_1) + \varrho \mu_0 \int_0^{d_1} \left(\frac{\partial H}{\partial \varrho} \right)_{H, z} dH + p_0 - \\ &- p_0] S \vec{n}_{12} = \varrho \left[\int_0^{d_1} \left(\frac{\partial H}{\partial \varrho} \right)_{H, z} dH \right] S \vec{n}_{12} \end{aligned} \quad (1.65)$$

În care H_1 este intensitatea cîmpului magnetic la suprafața inferioară a cilindriului de lichid magnetic iar \bar{U} este greutatea coloanei de lichid magnetic.

Termenul al doilea al relației (1.63) se poate scrie, ținînd cont de simetrie:

$$\oint_{\Sigma} \vec{F}_{em} ds = \int_{S_1} \vec{F}_{em} ds = \int_{S_1} \mu_0 \left[-g \int_0^{H_1} \left(\frac{\partial \mu}{\partial g} \right)_{H,z} dH + \int_0^{H_1} H dH - \int_0^{H_0} H_0 dH_0 \right] \bar{n}_{12} ds, \quad (1.66)$$

unde s-a utilizat expresia densității de suprafață a forței magnetice la suprafața de separație a două medii [34], cîmpul magnetic în cazul considerat fiind tangent la suprafața S_1 .

Acum se țină seama de următoarele relații cîmnoșcute:

$$\mu = \frac{H}{H} = \mu_0 \left(1 + \frac{H}{H} \right); \quad \left(\frac{\partial \mu}{\partial g} \right)_{H,z} = \mu_0 \frac{1}{H} \left(\frac{\partial H}{\partial g} \right)_{H,z} \quad (1.67)$$

egalitatea:

$$\int_0^{H_1} H dH = \mu_0 \frac{H_1^2}{2} + \mu_0 \int_0^{H_1} H dH \quad \text{și} \quad \int_0^{H_0} H_0 dH_0 = \mu_0 \frac{H_0^2}{2} \quad (1.68)$$

egalitatea (1.66) devine:

$$\oint_{\Sigma} \vec{F}_{em} ds = \mu_0 \left[-g \int_0^{H_1} \left(\frac{\partial H}{\partial g} \right)_{H,z} dH + \int_0^{H_1} H dH \right] S \bar{n}_{12} \quad (1.69)$$

deoarece cîmpurile sînt constante pe suprafațe $z = S_1$ și $H = H_1$ conform teoremei de conservare a componentelor tangente ale intensității cîmpului magnetic.

Ca urmare, forța rezultantă care se exercită asupra cilindriului de lichid magnetic va fi:

$$\vec{F} = \vec{F} + \mu_0 S \left(\int_0^{H_1} H dH \right) \bar{n}_{12} \quad (1.70)$$

sau

$$\vec{F}_m = \vec{F} - \vec{U} = \mu_0 S \left(\int_0^{H_1} H dH \right) \bar{n}_{12} \quad (1.71)$$

In continuare se au in vedere urmatoarele doua cazuri:

a) Se lucrează pe porțiunea liniară a curbei de magnetizare, la intensități mici ale câmpului magnetic. Atunci:

$$\int_0^{H_1} M dH = \int_0^{H_1} x_m dH = \frac{x_m H_1^2}{2} \quad (1.72)$$

și relația (1.71) devine:

$$F_m = \frac{x_m H_1^2 \mu_0}{2} \bar{n}_{12} \quad (1.73)$$

expresie cunoscută, [33], care permite determinarea susceptivității magnetice inițiale x_m prin obținerea experimentală a valorilor F_m , H_1 și S :

$$x_m = \frac{2F_m}{\mu_0 S H_1^2} \quad (1.74)$$

b) Dacă se lucrează la cimpuri intense, $H > 600$ kA/m, se poate determina magnetizația de saturație M_0 a lichidului magnetic.

Curba de magnetizare $M = f(H)$ se aproximează de la o valoare H_1 a intensității cimpului magnetic cu un palier și relația (1.75) devine:

$$F_m = \mu_0 S \int_0^{H_2} M dH \bar{n}_{12} = \mu_0 S \int_0^{H_1} M dH + \int_{H_1}^{H_2} M_0 dH \bar{n}_{12} \quad (1.76)$$

Dacă se notează cu $K = S \mu_0 \int_0^{H_1} M dH$ relația (1.76) se scrie (in modul):

$$\frac{F_m}{S \mu_0} = K + M_0 (H_2 - H_1) \quad (1.77)$$

Pentru două valori ale lui H_2 ($H_2 > H_1$), prin eliminarea lui K rezultă valoarea magnetizației de saturație M_0 :

$$M_0 = \frac{F_{m2} - F_{m1}}{\mu_0 S (H_{22} - H_{21})} \quad (1.78)$$

Relația (1.78) permite determinarea experimentală a lui M_0 dacă pentru două valori ale intensității cimpului magnetic H_{22} și H_{21} , mai mari ca H_1 , se măsoară forțele de natură magnetică F_{m2} și F_{m1} .

pentru măsurarea acestor forțe s-a făcut următorul aranjament experimental, prezentat în figura 1.14.

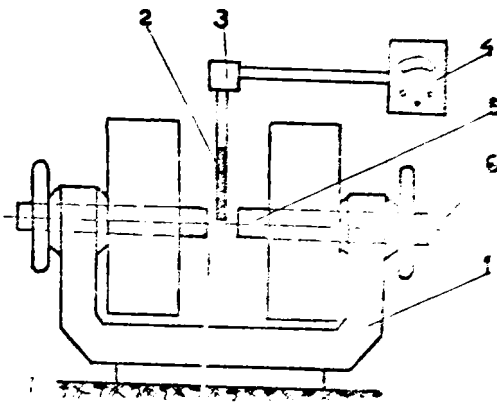


Fig. 1.14

Între poli (5) unui electromagnet de tip Weiss (1) se plasează un cilindru de secțiune circulară, cu partea inferioară plată astfel încît la suprafața de separație dintre lichidul magnetic și sticla tubului, intensitatea câmpului magnetic are numai componentă tangențială.

Partea inferioară a tubului este fixată pe una polilor (2) iar suprafața liberă a lichidului magnetic

este în afara câmpului polilor (pentru a avea satisfăcătoare condiția ca la suprafața liberă a lichidului magnetic intensitatea câmpului magnetic să fie nulă).

Tubul este suspendat de un dispozitiv (3) prevăzut cu două țimbri tensometrice racordat la un aparat (4) de tip Y 2301 (de producție românească), în prealabil etalonat, care permite citirea forței ce apare la stabilirea câmpului magnetic între poli.

S-au făcut măsurările și calculele pentru un set de lichide magnetice produse între anii 1980 și 1986 la Institutul Politehnic "Traian Vuia" din Timișoara. Rezultatele obținute sînt prezentate în tabelul .

Tabelul 1.13

Proba	H [kA/m]	l [m]	H_0 [kA/m]
1	740	8,54	64
	844	9,51	
2	668	8,75	23,2
	875	3,86	
3	627	6,67	49
	820	8,46	
4	652	8,24	70
	828	11,28	
5	652	3,59	27,2
	875	4,24	

Se realizează o bună concordanță între măsurările efectuate utilizând metode analitice și alte metode de determinare a magnetizației de saturație M_0 mult mai laborioase.

Metoda este rapidă, necesitând doar două citiri ale forței la două valori ale câmpului magnetic aplicat.

Urmărind perfecționarea metodei [63] s-a pornit de la relația (1.71) care se poate transforma după cum urmează:

$$F_M = \mu_0 S \int_0^{H_2} M dH \bar{n}_{12} = \mu_0 S \left(\int_0^{H_1} M dH + \int_{H_1}^{H_2} M_0 dH \right) \bar{n}_{12} \quad (1.71'')$$

Modulul acestei forțe de natură magnetică este:

$$\begin{aligned} |F_M| &= \mu_0 S \int_0^{H_1} M dH + \mu_0 S_1 M_0 (H_2 - H_1) = \\ &= \mu_0 S \left[\int_0^{H_1} M dH - M_0 H_1 \right] + S_1 M_0 \mu_0 H_0 = A + S M_0 B, \quad (1.71''') \end{aligned}$$

unde $B = \mu_0 H_0$ este inducția magnetică ($H_2 = H_0$), conform teoremei de conservare a componentelor tangente ale intensității câmpului magnetic la suprafața de separație dintre lichidul magnetic și partea inferioară a tubului de sticlă) iar cu A s-a notat constanta

$$\mu_0 S \left(\int_0^{H_1} M dH - M_0 H_1 \right).$$

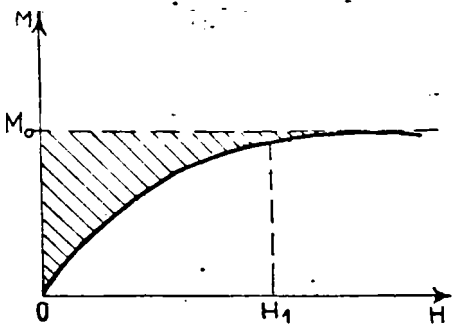


Fig. 1.13'

Întrucât intensitatea câmpului magnetic H_1 are o valoare suficient de mare (deci se poate considera că s-a ajuns la saturație) atunci diferența dintre $\int_0^{H_1} M dH$ și $M_0 H_1$ (aria hașurată în figura 1.13') devine o mărime constantă. Deci forța de saturare magnetică (1.71''')

$F_M = S M_0 B + A$ depinde liniar de inducția magnetică și are, în consecință, forma ecuației unei

drepte: $y = a_1x + a_0$.

Prin determinarea experimentală a forțelor corespunzătoare mai multor inducții ale cîmpului magnetic se obțin perechi de puncte (I_{m1}, B_1) $i = \overline{1, n}$. Utilizînd metoda celor mai mici pătrate se obține dreapta optimă ce trece printre punctele experimentale:

$F_m = a_1B + a_0$. De aici rezultă valoarea magnetizației de saturație:

$$M_0 = \frac{a_1}{S}, \quad (1.13')$$

în care S reprezintă secțiunea transversală a cilindrului de lichid magnetic.

Măsurătorile experimentale s-au efectuat pe un lot de piele de lichid magnetic produse la Institutul Politehnic "Traian Vuia" din Timișoara în cursul anului 1987. S-au făcut în jur de șase citiri ale forței pentru fiecare probă de lichid magnetic. Datele experimentale au fost prelucrate cu ajutorul calculatorului "TIMS", determinînd dreapta optimă $F_m = a_1B + a_0$. Programul elaborat pe baza metodei celor mai mici pătrate, în limbaj BASIC, a scos în evidență un coeficient de corelație $C_1 = 0,99$ (într-un singur caz $0,98$) și o abatere standard maximă $\sigma_{\max} = 0,280$ [N], respectiv minimă, $\sigma_{\min} = 0,007$ [N].

Rezultatele experimentale sînt trecute în tabelele 1.13.1 - 1.13.14.

Tabelul 1.13.1

FMAL8 (300)

Nr.	B [T]	F [N]
1	0,5	0,92
2	0,6	1,17
3	0,7	1,39
4	0,8	1,63
5	0,9	1,87
6	1	2,15

$M_0 = 24,10$ kA/m (300 G)

Tabelul 1.13.2

FMCo6 (300)

Nr.	B [T]	F [N]
1	0,5	0,92
2	0,6	1,17
3	0,7	1,36
4	0,8	1,60
5	0,9	1,85
6	1,0	2,09

$M_0 = 23,54$ kA/m (296 G)

Rezultatele obținute au fost foarte apropiate de acelea obținute prin metode mult mai laborioase.

Valorile abaterii standard și a coeficientului de corelație menționate anterior demonstrează că s-a lucrat la saturație,

Tabelul 1.13.3

FMP (200)

Nr.	B [T]	F [N]
1	0,5	0,71
2	0,6	0,88
3	0,7	1,04
4	0,8	1,22
5	0,9	1,40
6	1	1,64

 $M_0 = 18,43 \text{ kA/m (230 G)}$

Tabelul 1.13.4

FMP (400)

Nr.	B [T]	F [N]
1	0,5	1,38
2	0,6	1,74
3	0,7	2,08
4	0,8	2,40
5	0,9	2,73
6	1	3,04

 $M_0 = 33,54 \text{ kA/m (420 G)}$

Tabelul 1.13.5

FMP (600)

Nr.	B [T]	F [N]
1	0,5	2,02
2	0,6	2,53
3	0,7	2,91
4	0,8	3,42
5	0,9	3,92
6	1	4,43

 $M_0 = 48 \text{ kA/m (600 G)}$

Tabelul 1.13.6

FMP (900)

Nr.	B [T]	F [N]
1	0,5	2,53
2	0,6	3,29
3	0,7	4,55
4	0,8	4,93
5	0,9	5,31
6	1	6,07

 $M_0 = 70 \text{ kA/m (880 G)}$

Tabelul 1.13.7

FMALn4 (350)

Nr.	B [T]	F [N]
1	0,5	1,17
2	0,6	1,46
3	0,7	1,74
4	0,8	2,03
5	0,9	2,34
6	1	2,60

 $M_0 = 29,25 \text{ kA/m (370 G)}$

Tabelul 1.13.8

FMTR (300)

Nr.	B [T]	F [N]
1	0,5	2,28
2	0,6	2,91
3	0,7	3,42
4	0,8	4,05
5	0,9	4,81
6	0,98	5,31

 $M_0 = 64,70 \text{ kA/m (810 G)}$

deoarece $A = \mu_0 \cdot S_1 \left[\int_0^{H_1} M dH - M_0 H_1 \right] \cong a_0$ este într-adevăr constantă și deci aria hășurată în figura 1.13' este valoric aceeași, indiferent de intensitatea cîmpului magnetic (presupus mai mare decît cel de saturație) la care s-a lucrat.

FMALn4 (350)

Tabelul 1.13.9

Nr.	B [T]	F [N]
1	0,5	1,12
2	0,6	1,36
3	0,7	1,60
4	0,8	1,89
5	0,9	2,19

$$M_0 = 27,13 \text{ kA/m (340 G)}$$

FMALi4 (300)

Tabelul 1.13.10

Nr.	B [T]	F [N]
1	0,5	0,95
2	0,6	1,19
3	0,7	1,38
4	0,8	1,63
5	0,9	1,87
6	1	2,11

$$M_0 = 23,53 \text{ kA/m (296 G)}$$

FMALi8 (400)

Tabelul 1.13.11

Nr.	B [T]	F [N]
1	0,5	1,19
2	0,6	1,51
3	0,7	1,77
4	0,8	2,06
5	0,9	2,38

$$M_0 = 30 \text{ kA/m (370 G)}$$

FMBO8 (400)

Tabelul 1.13.12

Nr.	B [T]	F [N]
1	0,3	1,73
2	0,4	1,04
3	0,5	1,36
4	0,6	1,68
5	0,7	1,99
6	0,8	2,33

$$M_0 = 32 \text{ kA/m (400 G)}$$

FMALn4 (350)

Tabelul 1.13.13

Nr.	B [T]	F [N]
1	0,5	1,21
2	0,6	1,53
3	0,7	1,77
4	0,8	2,06
5	0,9	2,38

$$M_0 = 29 \text{ kA/m (360 G)}$$

FMALi4

Tabelul 1.13.14

Nr.	B [T]	F [N]
1	0,5	1,02
2	0,6	1,19
3	0,7	1,41
4	0,8	1,60
5	0,9	1,82
6	1	2,04

$$M_0 = 21 \text{ kA/m (260 G)}$$

Metoda este mai precisă deoarece se elimină diferența ce se face între două mărimi (1.78) care pot avea valori apropiate.

1.4. Măsurarea permeabilității. Curba de magnetizare

În vederea obținerii relațiilor de calcul necesare determinării experimentale a permeabilității lichidelor magnetice se analizează câmpul magnetic în prezența acestora.

În majoritatea covârșitoare a cazurilor, proba de lichid magnetic se plasează în tuburi de sticlă cilindrice de secțiune circulară. Cilindrul de lichid magnetic astfel obținut se poate aproxima foarte bine cu un elipsoid de revoluție. Pe aceea, în continuare se va considera un elipsoid de revoluție alungit, introdus într-un câmp magnetic exterior uniform H_0 , orientat în direcția axei ox , conform figurii 1.15.

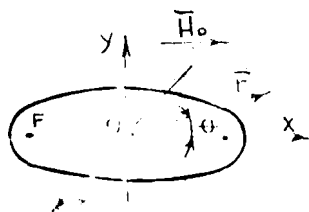


Fig. 1.15

Pentru calculul câmpului magnetic, în acest caz, este avantajos să se lucreze în coordonate elipsoidale. Utilizând sistemul de coordonate al cuatricelor omofocale [35] de variabile $u^1 = \frac{x}{\xi}$, $u^2 = \eta$ și $u^3 = \zeta$, ecuația elipsoizilor omofocali cu e ipsoidul $x^2/a^2 + y^2/b^2 + z^2/c^2 = 1$ (cu semiaxele principale a, b, c) este:

$$\frac{x^2}{a^2 + \xi} + \frac{y^2}{b^2 + \xi} + \frac{z^2}{c^2 + \xi} = 1 \quad (\xi > -c^2) \quad (1.79)$$

Ecuațiile

$$\frac{x^2}{a^2 + \eta} + \frac{y^2}{b^2 + \eta} + \frac{z^2}{c^2 + \eta} = 1 \quad (-c^2 > \eta > -b^2) \quad (1.80)$$

și

$$\frac{x^2}{a^2 + \zeta} + \frac{y^2}{b^2 + \zeta} + \frac{z^2}{c^2 + \zeta} = 1 \quad (-b^2 > \zeta > -a^2) \quad (1.81)$$

reprezintă ecuațiile unor hiperboloizi cu o pînă (1.80) și respectiv cu două pînze (1.81). Dacă acest sistem se rezolvă în raport cu x, y și z , se obține:

$$x = \pm \left[\frac{(\xi + a^2)(\eta + a^2)(\zeta + a^2)}{(b^2 - a^2)(c^2 - a^2)} \right]^{1/2} \quad (1.82)$$

$$y = \pm \left[\frac{(\xi + b^2)(\eta + b^2)(\zeta + b^2)}{(c^2 - b^2)(a^2 - b^2)} \right]^{1/2} \quad (1.83)$$

$$z = \pm \left[\frac{(\xi + c^2)(\eta + c^2)(\zeta + c^2)}{(a^2 - c^2)(b^2 - c^2)} \right]^{1/2} \quad (1.84)$$

Iacă se introduce mărimea

$$R_S = \left[(S + a^2)(S + b^2)(S + c^2) \right]^{1/2} \quad (S = \xi, \eta, \zeta) \quad (1.85)$$

atunci laplaceanul unei funcții scalare ψ devine:

$$\Delta \psi = \nabla^2 \psi = \frac{4}{(\xi - \eta)(\xi - \zeta)(\eta - \zeta)} \left[(\eta - \zeta) R_\xi \frac{\partial}{\partial \xi} \left(R_\xi \frac{\partial \psi}{\partial \xi} \right) + (\zeta - \xi) R_\eta \frac{\partial}{\partial \eta} \left(R_\eta \frac{\partial \psi}{\partial \eta} \right) + (\xi - \eta) R_\zeta \frac{\partial}{\partial \zeta} \left(R_\zeta \frac{\partial \psi}{\partial \zeta} \right) \right] \quad (1.86)$$

În cazul probei elipsoidale de lichid magnetic introdusă într-un câmp magnetic constant (fig. 1.15) potențialul magnetic scalar V_H trebuie să satisfacă ecuațiile:

$$\begin{cases} \nabla^2 V_{H_1} = 0 \\ \nabla^2 V_{H_2} = 0 \end{cases} \quad (1.87)$$

unde V_{H_1} reprezintă potențialul magnetic scalar din interiorul elipsoidului iar V_{H_2} din exterior.

Condițiile de frontieră ce trebuie satisfăcute sînt:

$$\begin{cases} \lim_{r \rightarrow \infty} V_{H_1} = 0 \\ \lim_{r \rightarrow \infty} V_{H_2} = -H_0 \cdot x = -H_0 r \cos \Theta, \end{cases} \quad (1.88)$$

iar condițiile de limită:

$$\begin{cases} (V_{H_1})_{\Sigma_{12}} = (V_{H_2})_{\Sigma_{12}} \\ (B_{in_1})_{\Sigma_{12}} = (B_{en_1})_{\Sigma_{12}} \end{cases} \quad (1.89)$$

unde prima relație din (1.89) reprezintă continuitatea potențialului magnetic scalar la suprafața de separație Σ_{12} dintre elipsoid și mediul înconjurător, iar a doua relație exprimă continuitatea componentelor normale ale vectorului inducție magnetică la aceeași suprafață de separație.

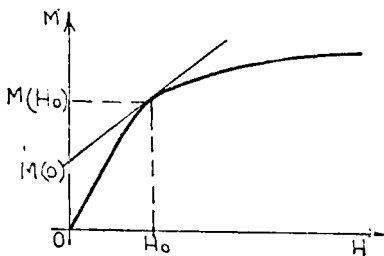


Fig. 1.16

Fie un punct de abscisă H_0 oăruia, din curba de magnetizare reprezentată în figura 1.16, îi corespunde ordonata $M(H_0)$. Dacă se dezvoltă în serie Taylor funcția $M(H)$, în jurul punctului H_0 , se obține:

$$M(H) = M(H_0) + \frac{H - H_0}{1!} \left(\frac{\partial M}{\partial H} \right)_{H=H_0} + \dots$$

(1.90)

în care $(\partial M / \partial H)_{H=H_0} = \chi_{md}$ reprezintă susceptivitatea magnetică diferențială și se reținută la termenii superiori din dezvoltarea în serie, se obține:

$$M(H) = M(H_0) + (H - H_0) \chi_{md} \quad (1.91)$$

Deoarece toți vectorii au orientarea lui \vec{H} relația (1.91) se poate scrie vectorial:

$$\vec{M} = M(H_0) - \chi_{md} \vec{H}_0 + \chi_{md} \vec{H} = \vec{M}(0) + \chi_{md} \vec{H} \quad (1.92)$$

Vectorul inducție magnetică, în interiorul elipsoidului, este dat de relația:

$$\vec{B}_1 = \mu \vec{H}_1 = \mu_0 (\vec{H}_1 + \vec{M}) \quad (1.93)$$

Dacă în (1.92) se introduce expresia (1.93) se obține:

$$\vec{B}_1 = \mu_0 (\vec{H}_1 + \vec{M}(0) + \chi_{md} \vec{H}_1) = \mu_0 \vec{H}_1 + \mu_0 \vec{M}(0), \quad (1.94)$$

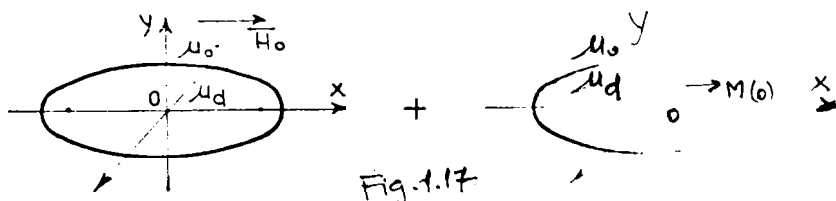
unde s-a notat cu $\mu_d = \mu_0 (1 + \chi_{md})$ permitivitatea diferențială.

A doua condiție de limită din (1.89) devine:

$$\mu_d = \left(\frac{\partial V_{hi}}{\partial l m} \right)_{i \Sigma_{12}} - \mu_0 M(0) n_1 = \mu_0 \left(\frac{\partial V_{he}}{\partial l n_1} \right)_{e \Sigma_{12}}, \quad (1.95)$$

unde derivatele se fac după direcția normalei la suprafața de separație 12 dintre mediul exterior (notat cu indicele e) și mediul interior al elipsoidului (notat cu indicele i).

Relația (1.95) sugerează posibilitatea ca inducția magnetică din interiorul elipsoidului să fie rezultatul superpoziției a două stări: I - un elipsoid cu permitivitatea $\mu_d = \text{ct.}$ situat într-un câmp magnetic \vec{H}_0 constant; II - un elipsoid uniform magnetizat cu $\vec{M}(0)$, în care $\vec{M}(0)$ are orientarea lui \vec{H}_1 de la starea I (figura 1.17).



Potențialul magnetic scalar din interiorul și exteriorul elipsoidului se notează cu prim pentru starea I și cu secund pentru starea doi.

Problema stării I este cunoscută în literatură [35] și soluția obținută prin metoda separării variabilelor este de forma:

$$V'_{H_e} = -H_0 \cdot x \frac{1 + (\mu_{dr} - 1) \frac{\text{abs}}{2} I(\xi)}{1 + (\mu_{dr} - 1) \frac{\text{abs}}{2} I(\xi)} \quad (1.96)$$

și

$$V'_{H_1} = - \frac{H_0 \cdot x}{1 + (\mu_{dr} - 1) A_1} \quad (1.97)$$

în care

$$I(\xi) = \int_{\xi}^{\infty} \frac{d\xi}{R_{\xi}(\xi + a^2)} \quad (1.98)$$

și

$$A_1 = \frac{\text{abs}}{2} \int_0^{\infty} \frac{d\xi}{R_{\xi}(\xi + a^2)} \quad (1.99)$$

Aceste soluții verifică ecuația lui Laplace:

$$\begin{cases} \nabla^2 V'_{H_e} = 0 \\ \nabla^2 V'_{H_1} = 0 \end{cases} \quad (1.100)$$

condiția de frontieră:

$$\lim_{r \rightarrow \infty} V'_{H_e} = -H_0 r \cos \theta \quad (1.101)$$

și condițiile la limită:

$$\begin{cases} (B'_{in_1})_{\Sigma_{12}} = (B'_{en_1})_{\Sigma_{12}}, \\ \mu_d \left(\frac{\partial V'_{H_1}}{\partial l_{n_1}} \right)_{\Sigma_{12}} = \mu_0 \left(\frac{\partial V'_{H_e}}{\partial l_{n_1}} \right)_{\Sigma_{12}} \end{cases} \quad (1.102)$$

Din ecuația (1.97) rezultă intensitatea cîmpului magnetic în interiorul elipsoidului de permeabilitatea μ_d :

$$\vec{H}'_1 = \frac{H_0}{1 + (\mu_{dr} - 1) A_1} \vec{u}_x, \quad (1.103)$$

\vec{u}_x fiind versorul axei ox .

Pentru a determina potențialul magnetic scalar al stării II se aplică metoda separării variabilelor, căutînd soluții de forma:

$$V''_{H_e} = C_1 x F(\xi) = C_1 \left[\frac{(\xi + a^2)(\eta + a^2)(\zeta + a^2)}{(a^2 - b^2)(a^2 - c^2)} \right]^{1/2} F(\xi) \quad (1.104)$$

$$V''_{H_1} = C_2 x = C_2 \left[\frac{(\xi + a^2)(\eta + a^2)(\zeta + a^2)}{(a^2 - b^2)(a^2 - c^2)} \right]^{1/2} \quad (1.105)$$

unde s-au folosit relațiile (1.82) și (1.98).

Condiția la limită $(V''_{H_e})_{\xi=0} = (V''_{H_1})_{\xi=0}$ conduce la relație:

$$C_2 = C F(0) = C \int_0^{\infty} \frac{d\xi}{R_{\xi}(\xi + a^2)} \quad (1.106)$$

Condiția de continuitate a componentelor normale ale inducției magnetice la suprafața de separație Σ_{12} se scrie:

$$\left(\frac{\partial V''_{H_e}}{\partial l_{n_1}} \right)_{\xi=0} \mu_0 = -\mu_d \left(\frac{\partial V''_{H_1}}{\partial l_{n_1}} \right)_{\xi=0} + \mu_0 \vec{K}(0) \cdot \vec{n}, \quad (1.107)$$

sau:

$$\left(\frac{1}{h_{\xi}} \frac{\partial V_{H_1}''}{\partial \xi} \right)_{\xi=0} \mu_{dr} - \left(\frac{1}{h_{\xi}} \frac{\partial V_{H_e}''}{\partial \xi} \right)_{\xi=0} = M(0) \bar{u}_x \cdot \bar{u}_{\xi}, \quad (1.108)$$

unde h_{ξ} este coeficientul metric. Dacă se înmulțește relația (1.108) rezultă:

$$\left(\frac{\partial V_{H_1}''}{\partial \xi} \right)_{\xi=0} \mu_{dr} - \left(\frac{\partial V_{H_e}''}{\partial \xi} \right)_{\xi=0} = M(0) (h_{\xi} \cdot \bar{u}_{\xi} \cdot \bar{u}_x). \quad (1.109)$$

Se știe că:

$$\text{grad } \varphi = \frac{1}{h_{\xi}} \cdot \frac{\partial \varphi}{\partial \xi} \bar{u}_{\xi} + \frac{1}{h_{\eta}} \frac{\partial \varphi}{\partial \eta} \bar{u}_{\eta} + \frac{1}{h_{\zeta}} \frac{\partial \varphi}{\partial \zeta} \bar{u}_{\zeta} \quad (1.110)$$

și considerînd $\varphi = x$ se obține:

$$\bar{u}_x = \frac{1}{h_{\xi}} \frac{\partial x}{\partial \xi} \bar{u}_{\xi} + \frac{1}{h_{\eta}} \frac{\partial x}{\partial \eta} \bar{u}_{\eta} + \frac{1}{h_{\zeta}} \frac{\partial x}{\partial \zeta} \bar{u}_{\zeta}. \quad (1.111)$$

Versorii \bar{u}_{ξ} , \bar{u}_{η} și \bar{u}_{ζ} fiind ortogonali:

$$\bar{u}_{\xi} \cdot \bar{u}_x = \frac{1}{h_{\xi}} \frac{\partial x}{\partial \xi} \quad (1.112)$$

Cu aceasta relația (1.109) devine:

$$\left(\frac{\partial V_{H_1}'}{\partial \xi} \right)_{\xi=0} \mu_{dr} - \left(\frac{\partial V_{H_e}'}{\partial \xi} \right)_{\xi=0} = M(0) \left(\frac{\partial x}{\partial \xi} \right)_{\xi=0} \quad (1.113)$$

Ultima condiție dă încă o legătură între constantele C_2 și C :

$$C_2 \mu_{dr} - C \left[F(0) + \frac{2}{abc} \right] = M(0). \quad (1.114)$$

Rezolvînd sistemul (1.106), (1.114) rezultă constantele de integrare și potențialul în interiorul elipsoidului:

$$V_{H_1}'' = C_2 x = \frac{M(0) A_1 x}{1 + (\mu_{dr} - 1) A_1} \quad (1.115)$$

Lezi potențialele magnetice ale stării II satisfac atât ecuația lui Laplace:

$$\begin{cases} \nabla^2 V_{H_1}'' = 0 \\ \nabla^2 V_{H_0}'' = 0 \end{cases} \quad (1.116)$$

sît și condițiile de frontieră: $\lim_{r \rightarrow \infty} V_{H_0}'' = 0$
și de limită:

$$\begin{cases} (B_{1n_1}'')_{z_{12}} = (B_{en_1}'')_{z_{12}} \\ -\left(\mu_0 \frac{\partial V_{H_1}''}{\partial n_1}\right)_{z_{12}} + \mu_0 H(0) \cdot \bar{n}_1 = -\mu_0 \left(\frac{\partial V_{H_0}''}{\partial n_1}\right)_{z_{12}} \end{cases} \quad (1.117)$$

Superpoziția acestor stări dă, prin adunarea ecuațiilor (1.100) și (1.116).

$$\nabla^2 V_{H_1}' + \nabla^2 V_{H_1}'' = \nabla^2 (V_{H_1}' + V_{H_1}'') = \nabla^2 V_{H_1} = 0 \quad (1.118)$$

$$\nabla^2 V_{H_0}' + \nabla^2 V_{H_0}'' = \nabla^2 (V_{H_0}' + V_{H_0}'') = \nabla^2 V_{H_0} = 0$$

De asemenea, superpoziția condițiilor de limită și frontieră dau:

$$\begin{aligned} \lim_{r \rightarrow \infty} V_{H_0}' + \lim_{r \rightarrow \infty} V_{H_0}'' &= \lim_{r \rightarrow \infty} (V_{H_0}' + V_{H_0}'') = \lim_{r \rightarrow \infty} V_{H_0} = \\ &= -H_0 r \cos \vartheta \end{aligned} \quad (1.119)$$

și

$$(B_{1n_1}')_{z_{12}} + (B_{1n_1}'')_{z_{12}} = (B_{en_1}')_{z_{12}} + (B_{en_1}'')_{z_{12}} \quad (1.120)$$

$$(B_{1n_1}')_{z_{12}} + (B_{1n_1}'')_{z_{12}} = (B_{en_1}')_{z_{12}} + (B_{en_1}'')_{z_{12}} \quad (1.121)$$

$$(B_{1n_1}')_{z_{12}} = (B_{en_1}')_{z_{12}}$$

respectiv:

$$\mu_d \left[\frac{\partial}{\partial \ell_{n_1}} (v'_{H_1} + v''_{H_1}) \right]_{z_1} = \mu_0 M(o)_{n_1} = \mu_0 \left[\frac{\partial}{\partial \ell_{n_1}} (v'_{H_0} + v''_{H_0}) \right] \quad (1.121)$$

Se poate deci trage concluzia că prin superpoziția celor două stări amintite se obține relația căutată și că:

$$\begin{aligned} v_{H_1} &= v'_{H_1} + v''_{H_1}, & v_{H_0} &= v'_{H_0} + v''_{H_0}, \\ H_1 &= H'_1 + H''_1, & H_0 &= H'_0 + H''_0. \end{aligned} \quad (1.122)$$

Utilizând ultima relație din (1.122) se poate scrie:

$$H_1 = H'_1 + H''_1 = \frac{H_0}{1 + (\mu_d r - 1) A_1} \bar{u}_x = \frac{M(o) A_1}{1 + (\mu_d r - 1) A_1} \bar{u}_x. \quad (1.123)$$

Deci:

$$H_1 = \frac{H_0 - M(o) A_1}{1 + (\mu_d r - 1) A_1} \bar{u}_x \quad (1.124)$$

Ținând cont că $\vec{B}_0 = \vec{B}_0 = \mu_0 H_0$ și $\vec{B}_1 = \mu H_1 = \mu_d H_1 + \mu_0 M(o)$

rezultă relația:

$$\frac{B_1}{B_0} = \frac{\mu_r}{(\mu_r - 1) A_1 + 1}. \quad (1.125)$$

relație importantă care leagă inducția magnetică din interiorul și exteriorul elipsoidului de permeabilitatea magnetică relativă a lichidului magnetic.

Pentru elipsoidul de rotație alungit cu semiaxle $b < c < a$ de excentricitate $e = (\sqrt{a^2 - b^2})/a$ se obține:

$$A_1 = \frac{ab^2}{2} \int_0^{\pi/2} \frac{d\xi}{(a^2 + \xi) E(\xi)} = \frac{1}{2} \left[1 - \frac{1-e^2}{2e^2} \left(\ln \frac{1+e}{1-e} - 2e \right) \right]. \quad (1.126)$$

În măsurătorile experimentale s-a folosit un cilindru de

sticlă de diametru interior $d = 5,2$ mm și lungime $l = 42$ mm, care s-a aproximat cu un elipsoid de revoluție alungit, de semiaxe $b = c = d/2 = 2,6$ mm și $c = l/2 = 21$ mm. A rezultat excentricitatea $e = 0,992306$ și constanta $A_1 = 0,028018967$.

Montajul utilizat pentru determinările experimentale este prezentat în figura 1.18, unde K_1 și K_2 sînt întrerupătoare, INV - inversor, L și C - bobină și condensator de filtraj, A - ampermetru, B.W. - bobina Weiss, B.P. - bobină de probă, Gb - galvanometru balistic, R_e - rezistență externă.

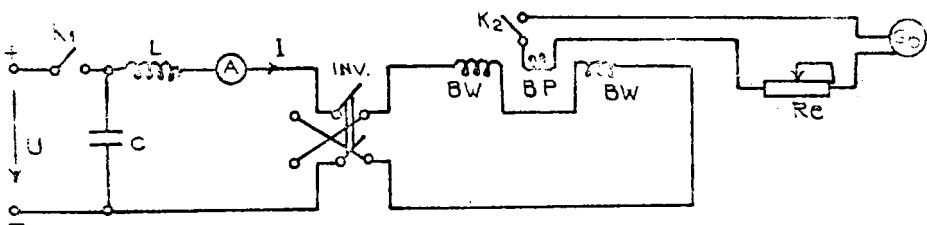


Fig. 1.18

Bobina de probă - B.P. - este introdusă în tubul de sticlă cu lichid magnetic și ansamblul este plasat între polii unui electromagnet de tip Weiss. Polilor acestui electromagnet li s-au mărit suprafața pentru a realiza un grad înalt de uniformitate a câmpului magnetic. Cu ajutorul unui teslametru s-a măsurat inducția magnetică în puncte aparținând mai multor secțiuni transversale pe axa polilor și s-a constatat că se menține practic constantă (variație sub una la sută).

Deviația "a" a galvanometrului balistic - Gb - apare în urma basculării de pe o poziție pe alta a inversorului INV. Pentru a micșora erorile de citire bascularea s-a făcut și într-un sens și în celălalt, în calcul luîndu-se media citirilor.

Bobina de probă - B.P. - din lichidul magnetic a fost dimensionată și are următoarele caracteristici: $N = 200$ sp, $S_b = 13,85 \cdot 10^{-6} \text{ m}^2$, $\phi_{cu} = 0,08$ mm.

Constanta galvanometrului balistic a fost determinată iar rezistența sa critică asigurată cu ajutorul rezistorului R_e .

Inducția magnetică se calculează cu ajutorul relației:

$$B = \frac{\Psi}{2NS_b} = \frac{a \cdot C}{2NS_b} \quad (1.127)$$

în care: Ψ este înălțuirea magnetică, N - numărul de spire al

bobinei de probă, S_p - aria secțiunii sale transversale, a - deviația galvanometrului balistic iar c constanta sa.

Formula (1.127) a fost utilizată atât pentru calculul inducției magnetice în prezența lichidului magnetic - B_1 - cît și în absența sa - B_0 .

Din relația (1.125) rezultă permitivitatea relativă a lichidului magnetic:

$$\mu_r = \frac{1 - A_1}{B_0/B_1 - A_1} \quad (1.128)$$

Intensitatea cîmpului magnetic din interiorul lichidului magnetic se obține din:

$$H_1 = B_1/\mu_0 \cdot \mu_r \quad (1.129)$$

și în final rezultă modulul vectorului de magnetizație:

$$M_1 = \chi_m H_1 = (\mu_r - 1) H_1 \quad (1.130)$$

A fost studiat un lot de lichide magnetice produse la Institutul Politehnic "Traian Vuia" din Timișoara, lichide magnetice avînd particule de magnetită iar lichidul de bază fiind petrol sau ulei.

În figura 1.19 sînt prezentate curbele de magnetizare pentru trei probe de lichid magnetic iar în figura 1.20 dependența de intensitatea cîmpului magnetic din interiorul probelor a permeabilității magnetice relative pentru aceleași trei probe.

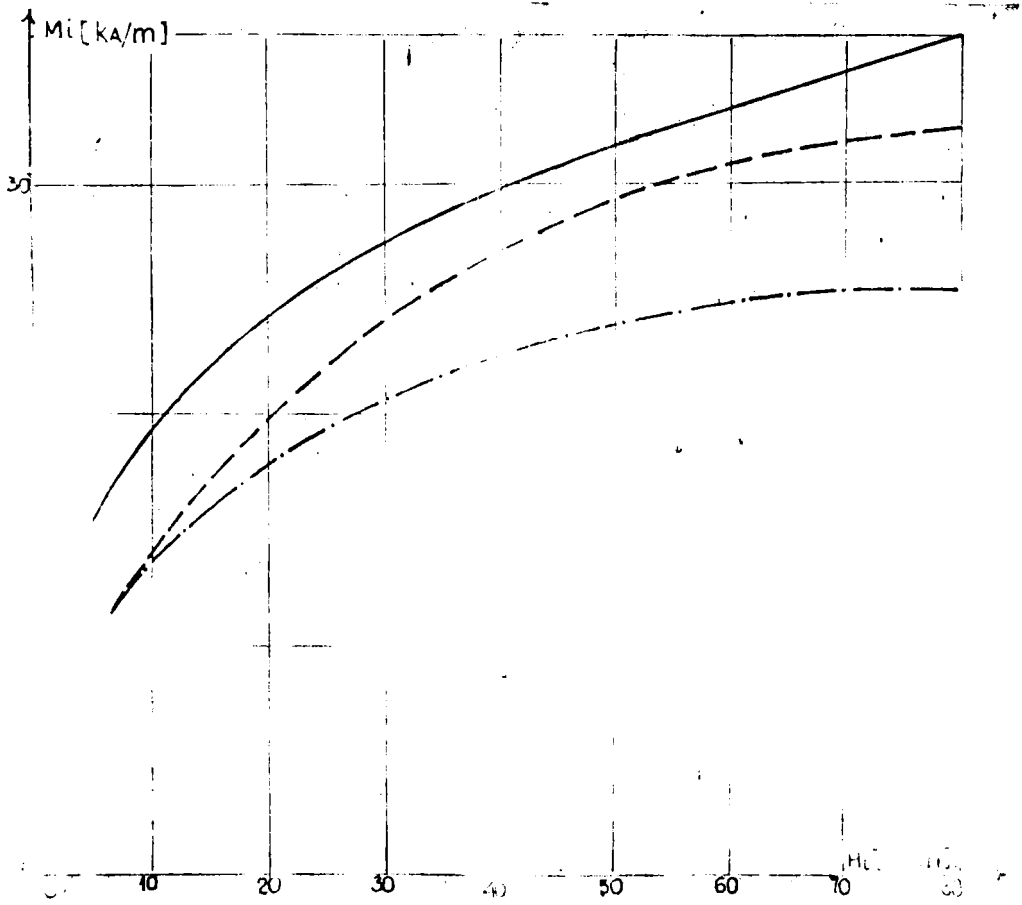


fig. 1.19

Curbelș de magnetizare pentru 3 probe
de lichid magnetic

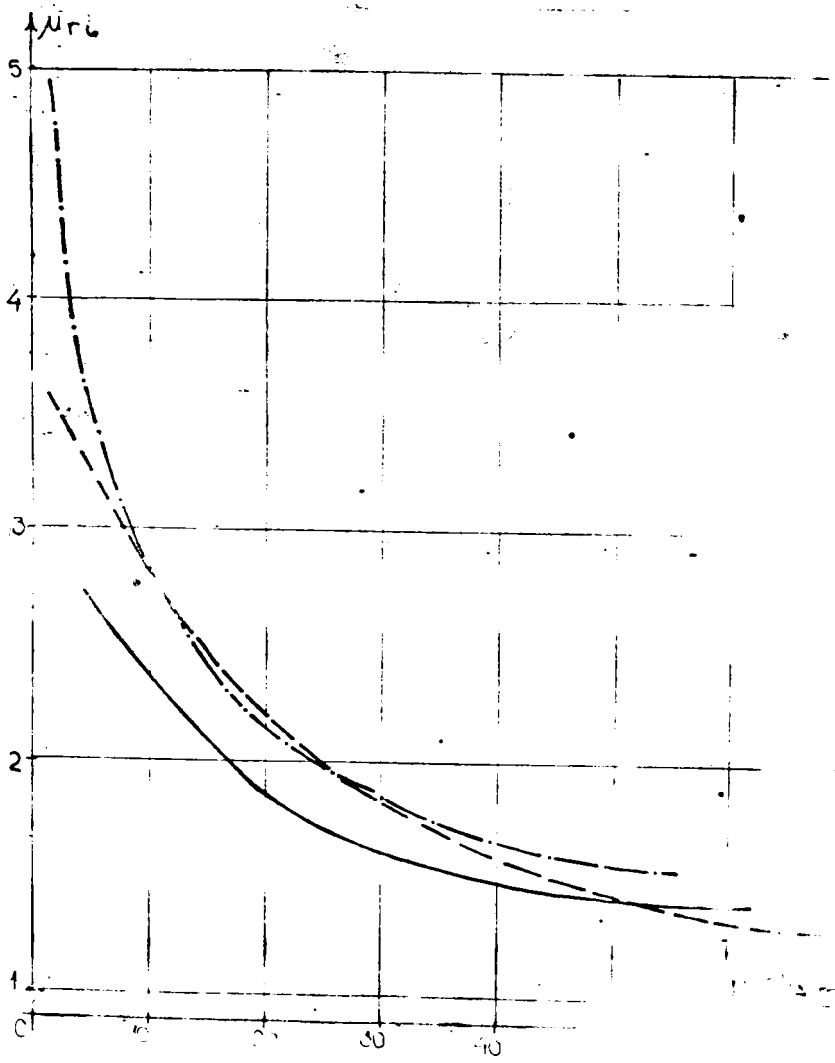


Fig. 1.20

Dependența de intensitatea cîmpului magnetic din interiorul probei a permeabilității magnetice relative pentru trei probe de lichid magnetic.

Cap. 2. FORȚE ÎN CÎMP MAGNETIC

În acest capitol se prezintă expresia generală a forțelor în câmp electromagnetic, pornind de la teoria microscopică a fenomenelor termodinamice. Densitatea de volum a forței electromagnetice este scrisă pentru cazul general și, pe urmă, particularizată pentru câmpuri electrostatice, respectiv magnetice staționare, stabilite în medii izotrope, fără polarizări permanente, neliniare, doar lipsite de histerezis [35, 41, 71, 34].

Expresia obținută pentru presiunea în lichidul magnetic demonstrează că aceasta poate fi modificată prin intermediul mărimilor de stare ale câmpului electromagnetic și că ea mai depinde de proprietățile electrice și magnetice ale lichidului. Ca o consecință importantă a presiunii electromagnetice induse de un câmp electromagnetic într-un lichid magnetic este prezentat fenomenul de levitație magnetică de primul ordin.

În continuare se dă o demonstrație originală, mai generală decât cea cunoscută în literatură, a forței rezultante ce se exercită asupra unui corp imersat într-un lichid magnetic - corpul putând avea sau nu magnetizație sau polarizație permanente și permeabilitatea magnetică μ sau μ_0 , respectiv, permitivitatea electrică ϵ sau ϵ_0 - demonstrație efectuată pe baza integrării tensiunilor fictive.

Forța se exprimă în funcție de o tensiune normală și alta tangentă, la o suprafață arbitrară ce înconjoară corpul, suprafața fiind trasată în lichid. Forma suprafeței fiind arbitrară, teorema prezintă avantaje în calculele efectuate prin metode numerice.

În final se determină o expresie mai generală a forței exercitate de câmpul magnetic asupra unei sfere nemagnetice imersată într-un lichid magnetic [62], configurația polilor fiind hiperbolică.

Într-o primă ipoteză forța este calculată în cazul când se lucrează pe porțiunea liniară a curbei de magnetizare, raza sferei fiind arbitrară, iar apoi în ipoteza că lichidul magnetic este la saturație și sfera are rază mică.

Formulele pentru forțe astfel obținute devin utile în studiul proceselor de separare ale particulelor din celulele de separare, deoarece devine cunoscută densitatea aparentă a lichidului.

2.1. Expresia generală a forțelor în câmp electromagnetic; densitatea de volum a forțelor

Starea unui sistem fizic este cunoscută dacă se dau valorile anumitor mărimi fizice, numite mărimi de stare. Parametrii interni ai unui sistem fizic, definiți ca fiind ansamblul mărimilor fizice ce aparțin sistemului considerat, definesc în mod univoc starea sistemului luat în studiu.

Parametrii externi ai unui sistem fizic sînt toate mărimile fizice, liniar independente, ale sistemelor exterioare, a căror variație duce la modificarea stării sistemului considerat.

În teoria microscopică a fenomenelor termodinamice este generalizată noțiunea de lucru mecanic elementar, definit în mecanică prin produsul scalar între vectorii forță și elementul de deplasare. Pentru un sistem fizic considerat expresia generală a lucrului mecanic elementar efectuat de sistem asupra exteriorului este:

$$\delta \mathcal{L} = \sum A_k \delta a_k, \quad (2.1)$$

în care a_k sînt parametrii externi ai sistemului, iar A_k reprezintă parametrii de forță.

Unii din termenii relației (2.1) exprimă, în "lucru mecanic", acțiunile pe care sistemul fizic le efectuează asupra exteriorului cînd sistemul considerat își schimbă starea. Astfel de termeni se numesc echivalenți în lucru mecanic.

Experiențele arată că parametrii de forță sînt funcții de parametrii interni, ξ_i , de parametrii externi, a_k , și de încă o mărime termodinamică, \mathcal{T} , numită temperatură:

$$A_k = A_k(a, \xi, \mathcal{T}) \quad (2.2)$$

Teoria termodinamică a proceselor fizice presupune cunoscută expresia (2.1) a lucrului mecanic elementar, adică se presupun cunoscuți toți parametrii de forță ai sistemului considerat.

Se poate introduce o funcție W numită energia sistemului, astfel încît:

$$- dW = \delta \mathcal{L} - \delta Q \quad (2.3)$$

în care δQ reprezintă căldura primită de sistem în transformarea elementară considerată, iar $\delta \mathcal{L}$ este suma între lucrul mecanic

propriu-zis și echivalenții în lucru mecanic al acțiunilor externe.

În egalitatea (2.3), stabilită pe cale experimentală, este general valabilă și reprezintă primul principiu al termodinamicii.

În cazul în care sistemul fizic este izolat adiabatic, adică el este pus în astfel de condiții încât modificarea temperaturii sistemelor exterioare nu schimbă starea sistemului considerat, atunci $\delta Q = 0$ și primul principiu al termodinamicii devine:

$$-dW = \delta L \quad (2.3')$$

Deoarece dW este o diferențială totală exactă, rezultă că energia unui sistem fizic este o funcție de stare; valoarea ei într-o stare dată nu depinde de girul transformărilor prin care a trecut sistemul, dar este funcție de valorile mărimilor de stare ale sistemului, în starea dată și cea de referință ($W = 0$).

Caracterul de funcție de stare a energiei sistemului, E , îi conferă acestuia o proprietate importantă: forma matematică care exprimă pe E în funcție de mărimile de stare este invariantă în raport cu stările particulare de evoluție ale sistemului fizic.

Starea de echilibru termodinamic a unui sistem fizic reprezintă starea finală în care trece sistemul fizic când parametrii săi externi și temperatura corpurilor exterioare au valori constante date. În starea de echilibru termodinamic a unui sistem fizic toți parametrii săi interni sînt funcții de parametrii externi și de temperatură.

În acord cu această lege, în stări de echilibru termodinamic relația (2.2) ia forma:

$$A_k = A_k(a, T) \quad (2.4)$$

și, de asemenea, orice parametru intern ξ_1 se poate scrie:

$$\xi_1 = \xi_1(a, T) \quad (2.4')$$

Energia sistemului fiind un parametru intern rezultă că $E = E(a, T)$, de unde se poate explicita $T = T(a, E)$ și relațiile (2.4) și (2.4') se pot exprima numai în funcție de parametrii externi și de energie:

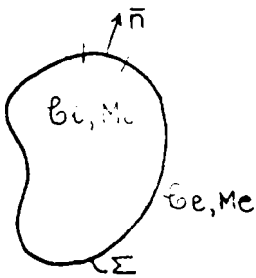
$$A_k = A_k(a, E), \quad \xi_1 = \xi_1(a, E) \quad (2.5)$$

Rezultă deci că stările de echilibru termodinamic ale sistemelor fizice sînt unice determinate de parametrii externi și de în-
oă o mărime care poate fi temperatura corpurilor exterioare sau
energia sistemului. Această proprietate prezintă o deosebită impor-
tanță pentru că ea permite să se stabilească parametrii externi
ai unui sistem fizic.

Se presupune, în continuare, că parametrii externi și tempe-
ratura variază foarte lent. În aceste condiții stările sistemului
fizic considerat se bucură de aceeași proprietate, adică parametrii
săi interni vor varia lent și în fiecare moment sistemul se găsește
în echilibru termodinamic. Evoluțiile sistemelor fizice, care se
desfășoară în astfel de condiții, pot fi considerate ca un lanț de
stări de echilibru termodinamic. Procesele care se încadrează în
această categorie se numesc procese quasistatice.

Un proces quasistatic este reversibil deoarece la parametrii
externi dați și la temperatură dată, în echilibru termodinamic,
starea sistemului fizic este unică. De asemenea, procesele reversi-
bile reprezintă un lanț de stări de echilibru termodinamic al sis-
temului fizic considerat.

Pentru a stabili forma pe care o ia primul principiu al ter-
modinamicii aplicat câmpului electromagnetic în [3], se consideră
o suprafață închisă Σ , figura 2.1, în interiorul căreia există



în interiorul câmp electromagnetic E_1 și un sistem de corpuri
 M_1 . În interiorul suprafeței Σ pot exista de aseme-
nea câmp electromagnetic E_2 și corpuri M_2 .

Sistemul fizic, reprezentat de câmpul electro-
magnetic E_1 poate interacționa cu "exteriorul",
format din corpurile M_2 prin intermediul parametre-
trilor $x, e, n = \dots$ E_2 și M_2 prin suprafața Σ ,
local, cu ajutorul mărimilor fizice referitoare

Fig. 2.1. la Σ care intervin în deducerea teoremei de unicitate a câmpului.

Câmpul electromagnetic este un sistem fizic care în mod natu-
ral și în orice condiții este izolat adiabatic. Temperatura nu in-
tervine în mărimile de stare ale câmpului, ca neputînd fi definită
în astfel de sisteme.

În acord cu primul principiu al termodinamicii se poate deci
scrie:

$$-dW'_{\text{elm}} = \delta L \quad (2.6)$$

in care W'_{elm} este energia cimpului electromagnetic \mathcal{L}_1 iar:

$$\delta L = \delta L_{M_1} + \delta L_{\Sigma} \quad (2.7)$$

reprezintă lucrul mecanic elementar efectuat asupra sistemelor exterioare în transformarea considerată. Lucrul mecanic a fost descompus în doi termeni: primul corespunde acțiunilor asupra corpurilor M_1 , din interiorul lui Σ , iar al doilea reprezintă acțiunile asupra sistemului $\mathcal{L}_e \cup M_e$.

Numărul parametrilor externi ai cimpului electromagnetic fiind infinit, cum rezultă din teorema de unicitate, echivalenții în lucru mecanic se vor exprima în mod necesar sub forma unor integrale:

$$\delta L_{M_1} = \int_{V_{\Sigma}} \Sigma (A_k da_k) dv = \int_{V_{\Sigma}} \delta L_v dv \quad (2.8)$$

$$\delta L_{\Sigma} = \oint_{\Sigma} S(\vec{n}) dS dt \quad (2.9)$$

in care δL_v reprezintă densitatea de volum a lucrului mecanic elementar cedat în fiecare punct mediului corporeal M_1 ; $S(\vec{n})$ - densitatea de suprafață a puterii cedate prin Σ , în punctul de normală \vec{n} , sistemului exterior $\mathcal{L}_e \cup M_e$; a_k - parametrii externi locali (definiți în fiecare punct al corpurilor M_1); A_k - parametrii de forță.

Energia W'_{elm} este distribuită cu densitatea w'_{elm} și deci, energia cimpului electromagnetic conținută în V_{Σ} se poate exprima în forma:

$$W'_{\text{elm}} = \int_{V_{\Sigma}} w'_{\text{elm}} dv \quad (2.10)$$

Având în vedere relațiile (2.7), (2.8), (2.9) și (2.10) egalitatea (2.6) se poate scrie:

$$-d \int_{V_{\Sigma}} w'_{\text{elm}} dv = \int_{V_{\Sigma}} \delta L_v dv + \oint_{\Sigma} S(\vec{n}) dS dt \quad (2.11)$$

Relația (2.11) reprezintă forma integrală a primului principiu

al termodinamicii aplicat cîmpului electromagnetic. Aceasta pentru cazul corpurilor în repaus mai poate fi scrisă și în forma [44] :

$$-dw'_{elm} = - \int_{V_{\Sigma}} dw'_{elm} dv = \int_{V_{\Sigma}} \delta l_v dv + \oint_{\Sigma} \vec{E} \cdot d\vec{s} dt. \quad (2.11')$$

Cu transformarea Gauss-Ostrogradski și observînd că relația (2.11') este valabilă pentru orice volum V_{Σ} , se obține:

$$-dw'_{elm} = \delta l_v + (\text{div} \vec{E}) dt. \quad (2.12)$$

Egalitatea (2.12) reprezintă forma locală a primului principiu al termodinamicii aplicat cîmpului electromagnetic, cînd corpurile sînt în repaus.

Explicitarea expresiei lucrului mecanic $\delta l_v = \int_{V_{\Sigma}} \delta l_v dv$, care conține termenice exprimate lucrul mecanic propriu-zis $\int_{V_{\Sigma}} \delta l_v dv$ determinat de acțiunile ponderomotoare asupra mediilor corporale precum și echivalenții în lucru mecanic al acțiunilor cîmpului asupra substanței din interiorul lui Σ , se face utilizînd teorema de unicitate demonstrată de [44]. Dacă corpurile sînt în repaus mărimile de stare ale cîmpului electromagnetic (vectorii \vec{E} , \vec{E} , \vec{B} și \vec{H}) sînt unic determinate dacă se cunosc:

- valorile acestora la momentul $t = 0$ în punctele interioare lui Σ ;

- sursele cîmpului, adică mărimile de stare ale corpurilor reprezentate de: densitatea curenților de conducție $\vec{J}(\vec{r}, t)$; vectorii de polarizare electrică $\vec{P}(\vec{r}, t)$ și magnetizația $\vec{M}(\vec{r}, t)$;

- componenta tangențială a intensității cîmpului electric, $E_{t_{\Sigma}}$, sau componenta tangențială a intensității cîmpului magnetic, $H_{t_{\Sigma}}$, pe suprafața frontieră a domeniului considerat.

Această teoremă permite identificarea tuturor parametrilor externi și bilanțul energetic local (2.12) se scrie în forma [44]:

$$-dw'_{elm} = \lambda_J \cdot \delta \zeta_J + \lambda_P \cdot \delta \vec{P} + \lambda_M \cdot \delta \vec{M} + \text{div} \vec{E} dt, \quad (2.13)$$

unde parametrul extern J se înlocuiește cu vectorul $\zeta = \int_0^t \vec{J} dt$, deoarece $d\zeta/dt = \vec{J}$ și, cu ajutorul legii transformării energiei prin curent de conducție $\delta l_{v_j} / \delta t = \vec{E} \cdot \vec{J}$, rezultă

$\delta_{v_j} = \mathbf{E} \cdot \mathbf{J} \cdot dt = \mathbf{E} \cdot \delta \mathbf{C}$ și deci parametrul de forță corespunzător, $\bar{\Lambda}_j$, devine cunoscut: $\bar{\Lambda}_j = \mathbf{E}$.

Pentru determinarea expresiei densității energiei câmpului electromagnetic, w_{elm} , se pornește de la observația că, în teoria lui Maxwell, $\bar{\Lambda}_j$ este cunoscut și că forma locală a bilanțului energetic al câmpului - relația (2.13) - trebuie să fie verificată de legile câmpului electromagnetic. Pentru corpuri în repaus acestea sînt exprimate de sistemul:

$$\text{div } \mathbf{D} = \rho_v; \quad \text{rot } \mathbf{E} = -\frac{\partial \mathbf{H}}{\partial t}; \quad \text{div } \mathbf{H} = 0; \quad \text{rot } \mathbf{H} = \mathbf{J} + \frac{\partial \mathbf{F}}{\partial t};$$

$$\mathbf{D} = \epsilon_0 \mathbf{E} + \mathbf{P} \quad \text{și} \quad \mathbf{H} = \mu_0 (\mathbf{H} + \mathbf{H}). \quad (2.14)$$

De aici rezultă:

$$\begin{aligned} \frac{\delta v_j}{\partial t} &= \mathbf{E} \cdot \mathbf{J} = \mathbf{E} \cdot (\text{rot } \mathbf{H} - \frac{\partial \mathbf{F}}{\partial t}) = \mathbf{H} \cdot \text{rot } \mathbf{E} - \mathbf{H} \cdot \frac{\partial \mathbf{H}}{\partial t} = -\text{div } (\mathbf{F} \times \mathbf{H}) - \\ & - \frac{\partial}{\partial t} \frac{1}{2} (\epsilon_0 \mathbf{E}^2 + \mu_0 \mathbf{H}^2) = \mathbf{E} \cdot \frac{\partial \mathbf{F}}{\partial t} - \mathbf{H} \cdot \frac{\partial \mathbf{H}}{\partial t} \end{aligned}$$

sau:

$$-\frac{\partial}{\partial t} \frac{1}{2} (\epsilon_0 \mathbf{E}^2 + \mu_0 \mathbf{H}^2) = \mathbf{E} \cdot \mathbf{J} + \mathbf{F} \cdot \frac{\partial \mathbf{F}}{\partial t} + \mu_0 \mathbf{H} \cdot \frac{\partial \mathbf{H}}{\partial t} + \text{div } (\mathbf{E} \times \mathbf{H}). \quad (2.15)$$

Identificînd egalitățile (2.13) și (2.15) se obțin relațiile:

$$\frac{\partial}{\partial t} w_{elm} = \frac{1}{2} \frac{\partial}{\partial t} (\epsilon_0 \mathbf{E}^2 + \mu_0 \mathbf{H}^2);$$

$$\bar{\Lambda}_p = \mathbf{E}; \quad \bar{\Lambda}_H = \mu_0 \mathbf{H} \quad \text{și} \quad \text{div } \mathbf{F} = \text{div } (\mathbf{E} \times \mathbf{H}). \quad (2.16)$$

Lin prima ecuație, prin integrare și impunînd condiția ca starea de referință în raport cu care se calculează energia să fie starea în care $\mathbf{D} = \mathbf{E} = \mathbf{H} = \mathbf{H} = 0$, rezultă pentru densitatea de

energie a câmpului electromagnetic expresia generală:

$$w'_{elm} = \frac{1}{2} (\epsilon_0 E^2 + \mu_0 H^2) \quad (2.17)$$

care reprezintă o funcție de stare.

Următoarele două egalități din (2.16) reprezintă parametrii de forță corespunzători parametrilor externi \vec{F} și \vec{H} .

Din ultima egalitate rezultă expresia densității fluxului de energie dat de vectorul $\vec{S} = \vec{E} \times \vec{H} + \vec{S}_S$, unde \vec{S}_S este un eventual vector eminentemente solenoidal. Impunând condiția ca \vec{S} să depindă numai de mărimile de stare ale câmpului electromagnetic de pe suprafața Σ și cum în teoria Maxwell nu se poate construi un vector eminentemente solenoidal care să îndeplinească această cerință, rezultă pentru densitatea curentului de energie expresia:

$$\vec{S} = \vec{E} \times \vec{H} \quad (2.18)$$

Deoarece procesele lipsite de histeresis sînt procese evazistatice și sistemul fizic este în echilibru termodinamic se pot scrie următoarele dependențe:

$$\vec{E} = \vec{E}(\vec{J}, \vec{F}, \vec{H}, \tau), \quad \vec{H} = \vec{H}(\vec{J}, \vec{F}, \vec{H}, \tau) \quad (2.19)$$

în care τ este temperatura corpurilor.

Dacă se ține seama de legea conducției, $\vec{J} = \sigma \vec{E}$, rezultă:

$$\vec{E} = \vec{E}_E(\vec{F}, \vec{H}, \tau); \quad \vec{H} = \vec{E}_H(\vec{F}, \vec{H}, \tau) \quad (2.20)$$

În marea majoritate intensitatea câmpului electric nu depinde de \vec{H} , iar intensitatea câmpului magnetic nu este funcție de \vec{F} . În aceste cazuri, în medii fără polarizării permanente și în transformări izoterme, echivalenții în lucru mecanic corespunzători polarizărilor electrice și magnetice se pot exprima în formele:

$$\left(\frac{\partial w_E}{\partial t} \right)_\tau = \vec{E} \cdot \frac{\partial \vec{F}}{\partial t} = \frac{dw_E(\vec{F}, \tau)}{dt} = \left(\frac{\partial w_E}{\partial \vec{F}} \right)_\tau \frac{d\vec{F}}{dt}$$

$$\left(\frac{\partial w_H}{\partial t} \right)_\tau = \mu_0 \vec{H} \cdot \frac{\partial \vec{H}}{\partial t} = \frac{dw_H(\vec{H}, \tau)}{dt} = \left(\frac{\partial w_H}{\partial \vec{H}} \right)_\tau \frac{d\vec{H}}{dt} \quad (2.21)$$

in care w_p și w_M reprezintă energiile cedate de câmp, în fiecare unitate de volum, pentru realizarea polarizărilor electrice respectiv magnetice ale mediilor corporale presupuse izotrope dar cu proprietăți neliniare.

Dacă \vec{E} și \vec{F} , respectiv \vec{H} și \vec{H} , sînt vectori cu aceeași orientare, atunci din (2.21) rezultă:

$$K = \left(\frac{\partial w_p}{\partial F} \right)_T \quad \text{și} \quad H = \left(\frac{\partial w_M}{\partial H} \right)_T \quad (2.22)$$

Indicele de la baza parametrilor arătînd că derivata se calculează la temperatură constantă.

În condițiile menționate mai sus, bilanțul energetic local poate fi scris în forma:

$$-\frac{d}{dt} (w_{elm} + w_p + w_M) = \vec{E} \cdot \vec{J} + \text{div } \vec{S}$$

in care $w_{elm} = w_{elm} + w_p + w_M$ reprezintă o nouă densitate de energie care cuprinde în afară de densitatea de energie a câmpului și densitățile de energie înmagazinate în corpuri pentru ca acestea să ajungă în stările de polarizare finale.

În condițiile enunțate w_{elm} reprezintă o funcție de stare care se numește densitate de energie electromagnetică.

Astfel bilanțul local devine:

$$-\frac{dw_{elm}}{dt} = \vec{E} \cdot \vec{J} + \text{div } \vec{S} \quad (2.23)$$

și este valabil în toate procesele ovasistatice, izoterme, pentru corpuri izotrope și în repaus față de referențialul ales, dacă \vec{F} nu depinde de \vec{H} iar \vec{H} nu este funcție de \vec{F} .

Deoarece procesele sînt presupuse izoterme, w_{elm} din (2.23) reprezintă densitatea de volum a energiei electromagnetice libere. Expresia ei rezultă din (2.17) și (2.21):

$$\begin{aligned} \frac{dw_{elm}}{dt} &= \frac{1}{2} \frac{d}{dt} (\epsilon_0 E^2 + \mu_0 H^2) + \vec{E} \cdot \frac{d\vec{P}}{dt} + \mu_0 \vec{H} \cdot \frac{d\vec{M}}{dt} = \\ &= \vec{E} \cdot \frac{d}{dt} (\epsilon_0 \vec{E} + \vec{P}) + \vec{H} \cdot \frac{d}{dt} \mu_0 (\vec{H} + \vec{M}) = \vec{E} \cdot \frac{d\vec{D}}{dt} + \vec{H} \cdot \frac{d\vec{H}}{dt} ; \end{aligned}$$

de unde:

$$w_{\text{elm}} = \int_{D=K=0}^E \mathbf{E} \cdot d\mathbf{E} + \int_{B=H=0}^B \mathbf{H} \cdot d\mathbf{B} ; \quad (2.24)$$

expresie valabilă în medii izotrope, neliniare dar lipsite de histerență electrică și magnetică, în condițiile precizate pentru \mathbf{E} și \mathbf{H} .

Deoarece w_{elm} este un parametru intern, el este funcție de parametrii externi \mathbf{J} , \mathbf{E} , \mathbf{H} și de temperatura T . Dacă se ține seama de legile conducției, a polarizațiilor electrice și magnetice și de faptul că constantele mediilor corporale sînt funcții de densitatea de masă ρ , atunci se constată că densitatea de energie electromagnetică poate fi scrisă în funcție de variabilele independente \mathbf{E} , \mathbf{H} , ρ și T :

$$w_{\text{elm}} = w_{\text{elm}}(\mathbf{E}, \mathbf{H}, \rho, T) \quad (2.25)$$

Dacă se integrează (2.23) pe volumul v_L și cu transformarea Gauss-Ostrogradski, se obține forma integrală a bilanțului energetic:

$$-\int_{v_L} \frac{dw_{\text{elm}}}{dt} dv = -\frac{dw_{\text{elm}}}{dt} = \int_{v_L} \mathbf{E} \cdot \mathbf{J} dv + \oint_{\Sigma} \mathbf{E} \cdot d\mathbf{s}, \quad (2.26)$$

formă valabilă în condițiile menționate anterior.

Deoarece energia electromagnetică este o funcție de stare și cum expresia (2.24) conține numai mărimile de stare ale câmpului, rezultă că ea reprezintă energia electromagnetică și dacă corpurile sînt mobile cu mențiunea că diferențiala locală se înlocuiește cu diferențiala substanțială.

Legile câmpului electromagnetic, în teoria Maxwell-Hertz, au forma:

$$\text{div } \mathbf{E} = \rho_{\text{v}}; \quad \text{rot } \mathbf{E} = -\frac{d\mathbf{B}}{dt} = -\mathbf{E}(\nabla \cdot \nabla) + (\mathbf{E} \cdot \nabla) \nabla;$$

$$\mathbf{E} = \epsilon_0 \mathbf{E}; \quad \mathbf{B} = \mu_0 (\mathbf{H} + \mathbf{H}); \quad (2.27)$$

$$\text{div } \mathbf{B} = 0; \quad \text{rot } \mathbf{H} = \mathbf{J} + \frac{d\mathbf{D}}{dt} = \mathbf{J} + \frac{d\mathbf{D}}{dt} + \mathbf{E}(\nabla \cdot \nabla) - (\mathbf{E} \cdot \nabla) \nabla;$$

in care \vec{v} reprezintă viteza punctului de substanță în raport cu sistemul de referință ales.

In continuare se face bilanțul energetic local pornind de la expresia (2.24) a energiei electromagnetice și de la legile (2.27). In ipoteza că vectorii \vec{E} și $d_s \vec{E}$, respectiv \vec{H} și $d_s \vec{H}$ au aceeași orientare, rezultă:

$d_s(\vec{E} \cdot \vec{E}) = d_s(D) = D d_s E + E d_s D$ respectiv $d_s(\vec{H} \cdot \vec{H}) = B d_s H + H d_s B$, iar termenii lui $w_{elm} = w_e + w_m$ se pot pune în forma:

$$w_e = \int_0^L E d_s D = \epsilon E^2 - \int_0^L D d_s E = w_e(L, \vartheta, \tau);$$

$$w_m = \int_0^B H d_s B = H^2 - \int_0^B B d_s H = w_m(H, \vartheta, \tau);$$
(2.28)

in care s-a ținut seama că in medii izotrope, fără histerezis și polarizări permanente, $\vec{D} = \epsilon \vec{E}$ și $\vec{B} = \mu \vec{H}$.

Pentru derivatele substanțiale, considerînd temperatura constantă, sînt valabile expresiile:

$$\frac{d_s w_e}{dt} = \left(\frac{\partial w_e}{\partial \vartheta} \right)_{E, \tau} \cdot \frac{d_s \vartheta}{dt} + \left(\frac{\partial w_e}{\partial E} \right)_{E, \tau} \frac{d_s E}{dt};$$

in care:

$$\left(\frac{\partial w_e}{\partial \vartheta} \right)_{E, \tau} = E^2 \left(\frac{\partial \epsilon}{\partial \vartheta} \right)_{E, \tau} - \int_0^L \left(\frac{\partial \epsilon}{\partial \vartheta} \right)_{E, \tau} \cdot E d_s E;$$

$$\left(\frac{\partial w_e}{\partial E} \right)_{E, \tau} = 2 \epsilon E + E^2 \left(\frac{\partial \epsilon}{\partial E} \right)_{E, \tau} - \epsilon E = D + E^2 \left(\frac{\partial \epsilon}{\partial E} \right)_{E, \tau};$$

și deci:

$$\frac{d w_e}{dt} = \left[E^2 \left(\frac{\partial \epsilon}{\partial \vartheta} \right)_{E, \tau} - \int_0^L \left(\frac{\partial \epsilon}{\partial \vartheta} \right)_{E, \tau} \cdot E d_s E \right] \cdot \frac{d_s \vartheta}{dt} + \left[D + E^2 \left(\frac{\partial \epsilon}{\partial E} \right)_{E, \tau} \right] \frac{d_s E}{dt} =$$

$$= E \frac{dD}{dt} - \left[\int_0^E \left(\frac{\partial \epsilon}{\partial \mathcal{E}} \right)_{\epsilon, \mathcal{E}} d_{\mathcal{E}} E \right] \frac{dS}{dt} \quad (2.29)$$

Lin legea conservării masei: $\frac{d\rho}{dt} = -\frac{dS}{dt} + \mathcal{S}(\nabla \cdot \vec{v}) = 0$
 rezultă $\frac{d\rho}{dt} = -\mathcal{S}(\nabla \cdot \vec{v})$, adică pentru relația (2.18) avem:

$$\frac{dw_{\mathcal{E}}}{dt} = E \cdot \frac{dD}{dt} + \left[\int_0^E \left(\frac{\partial \epsilon}{\partial \mathcal{E}} \right)_{\epsilon, \mathcal{E}} E d_{\mathcal{E}} E \right] \mathcal{S}(\nabla \cdot \vec{v}); \quad (2.30)$$

și analog:

$$\frac{dw_{\mathcal{H}}}{dt} = H \frac{dB}{dt} + \left[\int_0^H \left(\frac{\partial \mu}{\partial \mathcal{H}} \right)_{\mu, \mathcal{H}} H d_{\mathcal{H}} H \right] \mathcal{S}(\nabla \cdot \vec{v}). \quad (2.31)$$

Fie un volum $v_{\mathcal{E}}$ atașat în care densitatea de energie electromagnetică este w_{elm} . Derivata de integrală de volum pentru această funcție este:

$$\begin{aligned} \frac{d \int v_{\text{elm}}}{dt} &= \frac{d \int w_{\mathcal{E}}}{dt} + \frac{d \int w_{\mathcal{H}}}{dt} = \frac{d \int w_{\mathcal{E}}}{dt} + \frac{d \int w_{\mathcal{H}}}{dt} + w_{\text{elm}} (\nabla \cdot \vec{v}) = \\ &= E \frac{dD}{dt} + H \frac{dB}{dt} + \left[w_{\text{elm}} + \mathcal{S} \int_0^E \left(\frac{\partial \epsilon}{\partial \mathcal{E}} \right)_{\epsilon, \mathcal{E}} E d_{\mathcal{E}} E + \right. \\ &\quad \left. + \mathcal{S} \int_0^H \left(\frac{\partial \mu}{\partial \mathcal{H}} \right)_{\mu, \mathcal{H}} H d_{\mathcal{H}} H \right] \cdot \mathcal{S}(\nabla \cdot \vec{v}). \end{aligned} \quad (2.32)$$

Primi doi termeni din (2.31) pot fi transformați precum urmează:

$$E \frac{dD}{dt} + H \frac{dB}{dt} = E \cdot \frac{dD}{dt} + H \cdot \frac{dB}{dt} = E \cdot [\text{rot } \vec{H} - \vec{J} - \vec{D}(\nabla \cdot \vec{v}) +$$

$$+ (\mathbf{E} \cdot \nabla) \bar{\mathbf{v}} + \mathbf{H} [-\operatorname{rot} \mathbf{E} - \mathbf{E} (\nabla \cdot \bar{\mathbf{v}}) + (\mathbf{E} \cdot \nabla) \bar{\mathbf{v}}] - \mathbf{E} \cdot \mathbf{J} - \operatorname{div} \mathbf{S} -$$

$$- (\mathbf{E} \cdot \mathbf{E} + \mathbf{H} \cdot \mathbf{H}) \cdot (\nabla \cdot \bar{\mathbf{v}}) + \mathbf{E} \cdot (\mathbf{E} \cdot \nabla) \bar{\mathbf{v}} + \mathbf{H} \cdot (\mathbf{H} \cdot \nabla) \bar{\mathbf{v}}.$$

Cu aceasta (2.32) devine:

$$- \frac{d}{dt} \int_{\Sigma} w_{elm} = \mathbf{E} \cdot \mathbf{J} + \operatorname{div} \mathbf{S} + [\mathbf{E} \cdot \mathbf{E} - \int_0^E \left(\frac{\partial \mathcal{E}}{\partial \mathcal{P}} \right)_{B, \mathcal{L}} \mathbf{E} d_{\mathcal{S}} \mathbf{E} + \mathbf{H} \cdot \mathbf{H} -$$

$$- \int_0^H \left(\frac{\partial \mathcal{H}}{\partial \mathcal{S}} \right)_{E, \mathcal{L}} \mathbf{H} d_{\mathcal{S}} \mathbf{H} - w_{elm}] (\nabla \cdot \bar{\mathbf{v}}) - \mathbf{E} \cdot (\mathbf{E} \cdot \nabla) \bar{\mathbf{v}} - \mathbf{H} \cdot (\mathbf{H} \cdot \nabla) \bar{\mathbf{v}} \quad (2.33)$$

Din compararea egalității (2.33) cu bilanțul energetic (2.23), din teoria lui Maxwell, se constată prezența unor termeni suplimentari în expresia cărora intervine viteza punctelor de substanță în raport cu referențialul ales. Aceasta arată că în afara "surselor câmpului" mai există și alți parametri externi. În adevăr, la corpuri în mișcare, ca parametru extern intervine deplasarea punctului de substanță, lucrul mecanic cedat de câmp, în unitatea de volum și unitatea de timp, fiind egal cu produsul scalar între densitatea de volum a forței, $\bar{\mathbf{F}}_v$, exercitată de câmp asupra corpurilor în interiorul lui Σ , și viteza punctului în raport cu referențialul ales $\bar{\mathbf{F}}_v \cdot \bar{\mathbf{v}}$.

Ultimii doi termeni din (2.33) sînt funcții de derivatele spațiale ale vitezei. Prezența acestora demonstrează că prin suprafața Σ câmpul interacționează cu sistemul exterior nu numai prin intermediul vectorului Poynting, ci prin suma dintre \mathbf{S} și valoarea vectorială $\bar{\mathbf{F}}(\bar{\mathbf{n}})$ a unui tensor, $\bar{\mathbf{T}}$, de ordinul doi. Echivalentul în lucru mecanic, în unitatea de timp, al acestor acțiuni externe se exprimă în forma:

$$\oint_{\Sigma} \mathbf{E} \cdot d\mathbf{E} + \oint_{\Sigma} \bar{\mathbf{F}}(\bar{\mathbf{n}}) \cdot \bar{\mathbf{v}} \cdot d\mathbf{S}.$$

Bilanțul energetic scris pentru volumul atașat, limitat de suprafața Σ , și ea atașată, va fi:

$$-\frac{dW_{\text{elM}}}{dt} = \int_{V_Z} \mathbf{J} \cdot \mathbf{E} \, dv + \int_{V_Z} \mathbf{T}_v \cdot \mathbf{v} \, dv + \oint_{\Sigma} \mathbf{S} \cdot d\mathbf{\bar{s}} + \oint_{\Sigma} \mathbf{f}(\vec{n}) \cdot \mathbf{v} \, ds. \quad (2.34)$$

Termenul $\oint_{\Sigma} \mathbf{f}(\vec{n}) \cdot \mathbf{v} \, ds$ nu reprezintă forțele exercitate de câmpul electromagnetic asupra sistemelor din exteriorul lui Z . În adevăr, chiar dacă exteriorul este lipsit de corpuri, integrala este diferită de zero deși, în acest caz, câmpul din interiorul lui Z nu poate exercita forțe asupra sistemului din exteriorul lui Z . Din acest motiv termenul din (2.34) se interpretează doar ca echivalent în lucru mecanic al acțiunilor pe care câmpul din interiorul lui Z le efectuează asupra sistemelor din exteriorul lui Z .

Pentru a stabili forma locală a bilanțului energetic se transformă produsul scalar $\mathbf{f}(\vec{n}) \cdot \mathbf{v}$, punându-l în funcție de tensorul \hat{T} .

$$\begin{aligned} \mathbf{f}(\vec{n}) \cdot \mathbf{v} &= [(\vec{n} \cdot \mathbf{I}) \mathbf{T}_x + (\vec{n} \cdot \mathbf{J}) \mathbf{T}_y + (\vec{n} \cdot \mathbf{K}) \mathbf{T}_z] \cdot \mathbf{v} = \\ &= (\vec{n} \cdot \mathbf{I})(\mathbf{T}_x \cdot \mathbf{v}) + (\vec{n} \cdot \mathbf{J})(\mathbf{T}_y \cdot \mathbf{v}) + (\vec{n} \cdot \mathbf{K})(\mathbf{T}_z \cdot \mathbf{v}) = \\ &= \vec{n} \cdot [\mathbf{I}(\mathbf{T}_x \cdot \mathbf{v}) + \mathbf{J}(\mathbf{T}_y \cdot \mathbf{v}) + \mathbf{K}(\mathbf{T}_z \cdot \mathbf{v})] = \vec{n} \cdot (\hat{T} \cdot \mathbf{v}), \end{aligned}$$

În care \hat{T} este tensorul câmpului electromagnetic și are valorile vectoriale \mathbf{T}_x , \mathbf{T}_y și \mathbf{T}_z corespunzătoare axelor sistemului de referință.

Integrala de suprafață referitoare la $\mathbf{f}(\vec{n})$ se transformă în integrală de volum, cum urmează:

$$\begin{aligned} \oint_{\Sigma} \mathbf{f}(\vec{n}) \cdot \mathbf{v} \, ds &= \oint_{\Sigma} \vec{n} \cdot (\hat{T} \cdot \mathbf{v}) \, ds = \oint_{\Sigma} (\hat{T} \cdot \mathbf{v}) \cdot d\mathbf{\bar{s}} = \int_{N_{\Sigma}} \text{div}(\hat{T} \cdot \mathbf{v}) \, dv = \\ &= \int_{V_Z} (\mathbf{v} \cdot \text{div} \hat{T} + \mathbf{T}_x \frac{\partial \mathbf{v}}{\partial x} + \mathbf{T}_y \frac{\partial \mathbf{v}}{\partial y} + \mathbf{T}_z \frac{\partial \mathbf{v}}{\partial z}) \, dv. \quad (2.35) \end{aligned}$$

Utilizând relația (2.35) forma integrală a bilanțului energetic, (2.33), devine:

$$-\frac{dW_{\text{elM}}}{dt} = - \int_{V_Z} \frac{dW_{\text{elM}}}{dt} \, dv = \int_{V_Z} \mathbf{J} \cdot \mathbf{E} \, dv + \oint_{\Sigma} \mathbf{S} \cdot d\mathbf{\bar{s}} +$$

$$+ \int_{V_{\Sigma}} (\bar{T}_v + \text{div } \hat{T}) \cdot \bar{v} \, dv + \int_{V_{\Sigma}} (\bar{T}_x \frac{\partial \bar{v}}{\partial x} + \bar{T}_y \frac{\partial \bar{v}}{\partial y} + \bar{T}_z \frac{\partial \bar{v}}{\partial z}) \, dv. \quad (2.36)$$

Membrul stâng al bilanțului energetic nu depinde de sistemul de referință ales deoarece se referă la volume atașate. Pentru sistemele inerțiale de aceeași proprietate se bucură și primul, al doilea și ultimul, din termenii membrului drept al relației (2.36). Rezultă că al treilea termen trebuie să fie nul în toate sistemele inițiale fiindcă el este funcție de viteza \bar{v} a punctului din corp în raport cu un astfel de reper. Rezultă:

$$\bar{T}_v = - \text{div } \hat{T}. \quad (2.37)$$

egalitate prin care se determină densitatea de volum a forțelor exercitate de câmp asupra mediilor corpurilor din interiorul lui Σ .

În consecință, forma integrală a bilanțului energetic devine:

$$\begin{aligned} - \frac{dW_{\text{câmp}}}{dt} &= - \int_{V_{\Sigma}} \frac{dW_{\text{câmp}}}{dt} \, dv = \int_{V_{\Sigma}} \mathbf{J} \cdot \mathbf{E} \, dv + \oint_{\Sigma} \mathbf{E} \cdot d\mathbf{s} + \\ &+ \int_{V_{\Sigma}} [\bar{T}_x \frac{\partial \bar{v}}{\partial x} + \bar{T}_y \frac{\partial \bar{v}}{\partial y} + \bar{T}_z \frac{\partial \bar{v}}{\partial z}] \, dv. \end{aligned} \quad (2.38)$$

Se observă că pentru $\bar{v} = 0$ (corpuri în repaus) se obține din soluția (2.28) forma integrală cunoscută în teoria lui Maxwell.

Dacă se transformă integrala de suprafață din al doilea termen al egalității (2.38) într-o integrală de volum, se obține forma locală a bilanțului energetic, pentru corpuri în mișcare:

$$- \frac{dW_{\text{câmp}}}{dt} = \mathbf{J} \cdot \mathbf{E} + \text{div } \mathbf{E} + (\bar{T}_x \cdot \frac{\partial \bar{v}}{\partial x} + \bar{T}_y \cdot \frac{\partial \bar{v}}{\partial y} + \bar{T}_z \cdot \frac{\partial \bar{v}}{\partial z}). \quad (2.39)$$

Componentele tensorului \hat{T} se pot calcula prin identificarea termenilor ce intervin în egalitățile (2.33) și (2.39). Se obține:

$$\bar{T}_x \cdot \frac{\partial \bar{v}}{\partial x} + \bar{T}_y \cdot \frac{\partial \bar{v}}{\partial y} + \bar{T}_z \cdot \frac{\partial \bar{v}}{\partial z} = [\mathbf{E} \cdot \mathbf{D} - \int_0^E \left(\frac{\partial \epsilon}{\partial s} \right)_{E, T} \cdot 1 \, ds] + \mathbf{H} \cdot \mathbf{E} -$$

$$- \int_0^H \left(\frac{\partial \mu}{\partial \mathcal{H}} \right)_{H, \mathcal{L}} H d_{\mathcal{H}} H - w_{el m} [(\nabla \cdot \vec{v}) - \vec{E} \cdot (\vec{E} \cdot \nabla) \vec{v} - \vec{H} \cdot (\vec{H} \cdot \nabla) \vec{v}.$$

din care rezultă componentele tensorului \hat{T}_i :

$$T_{11} = \vec{E} \cdot \vec{E} - \int_0^E \left(\frac{\partial \epsilon}{\partial \mathcal{E}} \right)_{E, \mathcal{L}} E d_{\mathcal{E}} E + \vec{H} \cdot \vec{H} - \int_0^H \left(\frac{\partial \mu}{\partial \mathcal{H}} \right)_{H, \mathcal{L}} H d_{\mathcal{H}} H -$$

$$- w_{el m} - E_1 D_1 - H_1 B_1; \quad T_{1j} = - E_j D_1 - H_j B_1 \quad (2.40)$$

și valoarea sa vectorială:

$$\vec{T}(\vec{n}) = [\vec{E} \cdot \vec{E} - \int_0^E \left(\frac{\partial \epsilon}{\partial \mathcal{E}} \right)_{E, \mathcal{L}} E d_{\mathcal{E}} E + \vec{H} \cdot \vec{H} - \int_0^H \left(\frac{\partial \mu}{\partial \mathcal{H}} \right)_{H, \mathcal{L}} H d_{\mathcal{H}} H -$$

$$- w_{el m}] \cdot \vec{n} - \vec{E}(\vec{E} \cdot \vec{n}) - \vec{H}(\vec{H} \cdot \vec{n}). \quad (2.41)$$

Pentru densitatea de volum a forței, relațiile (2.37), și (2.40) și (2.28) conduc la:

$$\vec{F}_v = \mathcal{G}_v \vec{E} + (\vec{E} \cdot \nabla) \vec{E} + (\vec{H} \cdot \nabla) \vec{H} - \text{grad} \left[\int_0^E E d_{\mathcal{E}} E + \int_0^H H d_{\mathcal{H}} H - \right.$$

$$\left. - \int_0^E \left(\frac{\partial \epsilon}{\partial \mathcal{E}} \right)_{E, \mathcal{L}} E d_{\mathcal{E}} E - \int_0^H \left(\frac{\partial \mu}{\partial \mathcal{H}} \right)_{H, \mathcal{L}} H d_{\mathcal{H}} H \right], \quad (2.42)$$

în care s-a ținut seama de legile fluxului electric și magnetic. Utilizând identitățile:

$$(\vec{E} \cdot \nabla) \vec{E} = \mu (\vec{H} \cdot \nabla) \vec{H} = \mu \nabla \frac{H^2}{2} + (\text{rot } \vec{H}) \times \vec{E} = B \text{ grad } H + (\text{rot } \vec{H}) \times \vec{E},$$

$$(\vec{E} \cdot \nabla) \vec{E} = \vec{E} \text{ grad } E + (\text{rot } \vec{E}) \times \vec{E},$$

și legile circuitului magnetic și inducției electromagnetice, relația (2.42) se scrie:

$$\begin{aligned}
\mathbf{F}_v = & \mathcal{L}_v \mathbf{E} + \mathbf{J} \times \mathbf{B} - \text{grad} \left[\int_0^L D d_{\mathbf{B}} E + \int_0^H B d_{\mathbf{B}} H - \mathcal{L} \int_0^L \left(\frac{\partial \mathcal{L}}{\partial \mathcal{L}} \right)_{E, \mathcal{L}} E d_{\mathbf{B}} E - \right. \\
& \left. - \mathcal{L} \int_0^H \left(\frac{\partial \mathcal{L}}{\partial \mathcal{L}} \right)_{H, \mathcal{L}} H d_{\mathbf{B}} H \right] + D \text{ grad } E + B \text{ grad } H + \mathbf{J} \times \frac{d_{\mathbf{B}} \mathbf{B}}{dt} + \\
& + \frac{d_{\mathbf{B}} \mathbf{B}}{dt} \times \mathbf{B}.
\end{aligned} \tag{2.43}$$

Ultimii doi termeni se pot transforma astfel:

$$\mathbf{E} \times \frac{d_{\mathbf{B}} \mathbf{B}}{dt} + \frac{d_{\mathbf{B}} \mathbf{E}}{dt} \times \mathbf{B} = \mathbf{E} \times \frac{\delta \mathbf{B}}{\delta t} + \frac{\delta \mathbf{E}}{\delta t} \times \mathbf{B} = \frac{\delta}{\delta t} (\mathbf{B} \times \mathbf{E}) = \frac{\delta}{\delta t} (\epsilon \mu \mathbf{E} \times \mathbf{H}),$$

deoarece vectorii \mathbf{E} și \mathbf{B} sînt definiți în referențiale locale, iar derivata de flux este o operație independentă de sistemul de referință. Simbolul $\delta/\delta t$ semnifică derivata efectuată în raport cu reperul local.

Cu acestea, egalitatea (2.43) devine:

$$\begin{aligned}
\mathbf{F}_v = & \mathcal{L}_v \mathbf{E} + \mathbf{J} \times \mathbf{B} + D \text{ grad } E + B \text{ grad } H - \text{grad} \left[\int_0^L D d_{\mathbf{B}} E + \right. \\
& + \int_0^H B d_{\mathbf{B}} H - \mathcal{L} \int_0^L \left(\frac{\partial \mathcal{L}}{\partial \mathcal{L}} \right)_{E, \mathcal{L}} E d_{\mathbf{B}} E - \mathcal{L} \int_0^H \left(\frac{\partial \mathcal{L}}{\partial \mathcal{L}} \right)_{H, \mathcal{L}} H d_{\mathbf{B}} H \left. \right] + \\
& + \frac{1}{c^2} \frac{\delta}{\delta t} (\epsilon \mu \mathbf{E} \times \mathbf{B}).
\end{aligned} \tag{2.44}$$

în care $c = 1/\sqrt{\epsilon_0 \mu_0}$ reprezintă viteza de propagare a luminii în vid, iar ϵ , respectiv μ , sînt permitivitatea relativă respectiv permeabilitatea relativă a mediului.

Tinînd seama de identitățile:

$$D \text{ grad } E = \text{grad} \frac{E \cdot E}{2} = \frac{1}{2} \text{ grad } E^2; \quad B \text{ grad } H = \text{grad} \frac{B \cdot H}{2} = \frac{1}{2} \text{ grad } \mu,$$

relația (2.44) se mai poate scrie și în forma:

$$\begin{aligned}
 \mathcal{F}_v = & \rho_v \mathbf{E} + \mathbf{J} \times \mathbf{B} - \frac{E^2}{2} \text{grad} \varepsilon - \frac{H^2}{2} \text{grad} \mu + \text{grad} \left[\frac{\mathbf{D} \cdot \mathbf{E}}{2} - \int_0^E \mathbf{D} \cdot d_s \mathbf{E} + \right. \\
 & + \rho \int_0^E \left(\frac{\partial \varepsilon}{\partial s} \right)_{E, z} + \frac{\mathbf{E} \cdot \mathbf{H}}{2} - \int_0^H \mathbf{B} \cdot d_s \mathbf{H} + \rho \int_0^H \left(\frac{\partial \mu}{\partial s} \right)_{H, z} \cdot \mathbf{H} \cdot d_s \mathbf{H} + \\
 & \left. + \frac{1}{c^2} \frac{\delta}{\delta t} (\mu \varepsilon \mathbf{S}) \right]. \quad (2.45)
 \end{aligned}$$

O altă expresie pentru densitatea de volum a forței se obține observînd că, la substanțe paramagnetice și fără polarizare permanentă, sînt valabile egalitățile:

$$\begin{aligned}
 \text{grad} \mu &= \text{grad} \frac{H+M}{H} \mu_0 = \frac{\mu_0}{H^2} (H \nabla M - M \nabla H); \\
 \text{grad} \frac{\mathbf{B} \cdot \mathbf{H}}{2} &= \text{grad} \frac{\mu_0 H^2 + \mu_0 \mathbf{M} \cdot \mathbf{H}}{2} = \mu_0 H \nabla H + \frac{\mu_0 M}{2} \nabla H + \frac{\mu_0 \mathbf{H}}{2} \nabla M, \quad (2.46)
 \end{aligned}$$

iar pentru medii dielectrice:

$$\begin{aligned}
 \text{grad} \varepsilon &= \text{grad} \frac{\sum_0 \mathbf{L} + \mathbf{P}}{\mathbf{E}} = \frac{1}{E^2} (\mathbf{E} \nabla \mathbf{P} - \mathbf{P} \nabla \mathbf{E}); \\
 \text{grad} \frac{\mathbf{D} \cdot \mathbf{E}}{2} &= \text{grad} \frac{\varepsilon_0 E^2 + \mathbf{P}}{2} = \varepsilon_0 E \nabla E + \frac{\mathbf{P}}{2} \nabla E + \frac{E}{2} \nabla \mathbf{P}, \quad (2.47)
 \end{aligned}$$

în care s-au folosit legile de legătură pentru cazul cînd vectorii au orientări identice: $\mathbf{B} = \mu_0 (\mathbf{H} + \mathbf{M})$ și $\mathbf{D} = \varepsilon_0 \mathbf{E} + \mathbf{P}$.

În aceste condiții mai rezultă și relațiile:

$$\begin{aligned}
 \left(\frac{\partial \varepsilon}{\partial s} \right)_{E, z} &= \frac{\partial}{\partial s} \left(\varepsilon_0 + \frac{\mathbf{P}}{E} \right)_{E, z} = \frac{1}{E} \left(\frac{\partial \mathbf{P}}{\partial s} \right)_{E, z}; \\
 \left(\frac{\partial \mu}{\partial s} \right)_{H, z} &= \frac{\partial}{\partial s} \left(\mu_0 + \frac{\mu_0 \mathbf{M}}{H} \right)_{H, z} = \frac{\mu_0}{H} \left(\frac{\partial \mathbf{M}}{\partial s} \right)_{H, z}. \quad (2.48)
 \end{aligned}$$

Cu (2.46), (2.47) și (2.48) expresia (2.45) a densității de forță devine:

$$\begin{aligned}
 \vec{F}_v = & \varrho_v \vec{E} + \vec{J} \times \vec{B} + P \operatorname{grad} I + \mu_0 M \operatorname{grad} H - \operatorname{grad} \left[\int_0^I P d_s I + \right. \\
 & + \mu_0 \int_0^H M d_s H \left. \right] + \operatorname{grad} \left[\varrho \int_0^E \left(\frac{\partial P}{\partial \varrho} \right)_{L, T} d_s E + \varrho \int_0^H \mu_0 \left(\frac{\partial M}{\partial \varrho} \right)_{H, T} d_s H + \right. \\
 & \left. + \frac{1}{c^2} \frac{\delta}{\delta t} (\sum_v \mu_v \vec{S}) \right]. \quad (2.49)
 \end{aligned}$$

Ținând seama de identitățile:

$$\begin{aligned}
 \operatorname{grad} \int_0^I P d_s I &= P \operatorname{grad} I + \left[\int_0^I \left(\frac{\partial P}{\partial \varrho} \right)_{L, T} d_s I \right] \cdot \operatorname{grad} \varrho; \\
 \operatorname{grad} \int_0^H M d_s H &= M \operatorname{grad} H + \left[\int_0^H \left(\frac{\partial M}{\partial \varrho} \right)_{H, T} d_s H \right] \cdot \operatorname{grad} \varrho. \quad (2.50)
 \end{aligned}$$

deduse în ipoteza că se menține constantă temperatura corpurilor, egalitatea (2.49) se poate scrie și în forma:

$$\begin{aligned}
 \vec{F}_v = & \varrho_v \vec{E} + \vec{J} \times \vec{B} + \varrho \operatorname{grad} \left[\int_0^E \left(\frac{\partial P}{\partial \varrho} \right)_{L, T} d_s E + \mu_0 \int_0^H \left(\frac{\partial M}{\partial \varrho} \right)_{H, T} d_s H + \right. \\
 & \left. + \frac{1}{c^2} \frac{\delta}{\delta t} (\sum_v \mu_v \vec{S}) \right]. \quad (2.51)
 \end{aligned}$$

Pentru câmpuri electrostatice, respectiv magnetice staționare, stabilite în medii izotrope, fără polarizări permanente, dar neliniare și lipsite de histeresis, densitățile de volum ale forțelor rezultă prin particularizările expresiei (2.51):

$$\vec{F}_{V_e} = \rho_V \vec{E} + \rho \text{grad} \int_0^E \left(\frac{\partial F}{\partial \rho} \right)_{1,2} dE \quad (2.52)$$

respectiv:

$$\vec{F}_{V_H} = \vec{J} \times \vec{B} + \rho \text{grad} \int_0^H \left(\frac{\partial M}{\partial \rho} \right)_{H,2} dH \quad (2.53)$$

sau (2.45):

$$\begin{aligned} \vec{F}_{V_e} = & \rho_V \vec{E} - \frac{E^2}{2} \text{grad} \rho + \text{grad} \left[\frac{E^2}{2} \rho - \int_0^E D dE + \right. \\ & \left. + \rho \int_0^E \left(\frac{\partial \rho}{\partial \rho} \right)_{1,2} E dE \right], \end{aligned} \quad (2.54)$$

respectiv:

$$\begin{aligned} \vec{F}_{V_H} = & \vec{J} \times \vec{B} - \frac{H^2}{2} \text{grad} \mu + \text{grad} \left[\frac{H^2}{2} \mu - \int_0^H B dH + \right. \\ & \left. + \rho \int_0^H \left(\frac{\partial \mu}{\partial \rho} \right)_{H,2} H dH \right], \end{aligned} \quad (2.55)$$

sau (2.44):

$$\vec{F}_{V_e} = \rho_V \vec{E} + D \text{grad} E - \text{grad} \left[\int_0^E E dE - \rho \int_0^E \left(\frac{\partial E}{\partial \rho} \right)_{1,2} E dE \right] \quad (2.56)$$

respectiv:

$$\vec{F}_{V_H} = \vec{J} \times \vec{B} + B \text{grad} H - \text{grad} \left[\int_0^H B dH - \rho \int_0^H \left(\frac{\partial B}{\partial \rho} \right)_{H,2} H dH \right] \quad (2.57)$$

sau (2.49):

$$\vec{F}_v = \rho_v \vec{E} + P \text{ grad } E + \text{grad} \left[\int_0^E \left(\frac{\partial P}{\partial S} \right)_{I, Z} dE - \int_0^I P dI \right] \quad (2.58)$$

respectiv:

$$\begin{aligned} \vec{F}_{v_m} = & \vec{J} \times \vec{B} + \mu_0 M \text{ grad } H + \text{grad} \left[\int_0^H \mu_0 \left(\frac{\partial M}{\partial S} \right)_{H, T} dH - \right. \\ & \left. - \mu_0 \int_0^H M dH \right]. \end{aligned} \quad (2.59)$$

In cazul mediilor liniare din (2.45) rezultă:

$$\begin{aligned} \vec{F}_v = & \rho_v \vec{E} + \vec{J} \times \vec{B} - \frac{E^2}{2} \text{ grad } \epsilon - \frac{H^2}{2} \text{ grad } \mu + \frac{1}{2} \text{ grad} \left[\int_0^E 2 \rho \left(\frac{\partial \epsilon}{\partial S} \right)_Z + \right. \\ & \left. + H^2 \rho \left(\frac{\partial \mu}{\partial S} \right)_T \right] + \frac{1}{c^2} \frac{\delta}{\delta t} (\mu_v \vec{v} \vec{B}). \end{aligned} \quad (2.60)$$

2.2. Presiunea electromagnetică în lichide

Dacă un lichid nu este încărcat cu sarcină liberă ($\rho_v = 0$) și densitatea curentului de conducție este nulă ($\vec{J} = 0$) și se află în repaus față de sistemul de referință ales, deci se află în stare hidrostatică, atunci, în prezența unui câmp electromagnetic, asupra fluidului se exercită, din partea câmpului, forțe de volum avînd densitatea [34]:

$$\vec{F}_v = \rho \text{ grad} \left[\int_0^E \left(\frac{\partial P}{\partial S} \right)_{I, Z} dE + \mu_0 \int_0^H \left(\frac{\partial M}{\partial S} \right)_{H, T} dH \right] \quad (2.61)$$

Termenul $\frac{1}{c^2} \frac{\delta}{\delta t} (\epsilon_v \mu_r \vec{B})$ a fost neglijat deoarece, chiar la frecvențe înalte, el tinde către zero avînd în vedere că $c \approx 3 \cdot 10^8 \text{ ms}^{-1}$. Dacă lichidul se găsește în câmp gravitațional, densitatea

volumică a forței rezultante este:

$$\vec{F}_{v_r} = -\rho g \text{ grad } z + \rho g \text{ grad} \left[\int_0^z \left(\frac{\partial P}{\partial z} \right)_{E, T} dz + \mu_0 \int_0^H \left(\frac{\partial H}{\partial z} \right)_{H, T} dH \right], \quad (2.62)$$

unde z este cota punctului în care se calculează \vec{F}_{v_r} .

Pentru lichidele care se găsesc în stare statică se poate scrie ecuația de echilibru:

$$\vec{F}_{v_r} = \text{grad } P \quad (2.63)$$

de unde se obține pentru presiunea p din lichid expresia:

$$p = -\rho g z + \rho \left[\int_0^z \left(\frac{\partial P}{\partial z} \right)_{E, T} dz + \mu_0 \int_0^H \left(\frac{\partial H}{\partial z} \right)_{H, T} dH \right] + C, \quad (2.64)$$

în care C este o constantă de integrare.

Această expresie obținută pentru presiunea în lichidul magnetic demonstrează că presiunea poate fi modificată prin intermediul mărimilor de stare ale câmpului electromagnetic și că ea mai depinde de proprietățile electrice și magnetice ale lichidului.

În continuare trebuie determinată constanta de integrare C .

Se presupune că lichidul magnetic are o suprafață de separație cu normala S_{10} - suprafață liberă - neîncălecată și fără curenți de conducție. Dacă se ia în un punct $P_0 \in S_{10}$ de cotă z_0 , se neglijează tensiunea superficială, atunci presiunea în acel punct va fi $p_0 = p_{atm}$, unde p_0 este presiunea atmosferică iar S_{10} se obține înlocuind în relația [43] următoarele:

$$\begin{aligned} \vec{F}_e = & \rho_B \frac{\vec{E}_1 + \vec{E}_2}{2} + \vec{J}_B \times \frac{\vec{B}_1 + \vec{B}_2}{2} + \frac{1}{2} \left[\left(\frac{1}{\epsilon_1} - \frac{1}{\epsilon_2} \right) D_{1n} \Gamma_{2n} + \right. \\ & \left. + \frac{1}{2} \left(\frac{\epsilon_1 \vec{n}_1}{\epsilon_1} - \frac{D_2^z \vec{n}_1}{\epsilon_2} \right) \vec{n}_1 + \frac{\mu_2 - \mu_1}{\mu_1 \mu_2} B_{1n}^2 \vec{n}_1 + \text{grad}_z \left[\int_0^z \left(\frac{\partial P}{\partial z} \right)_{E, T} dz \right] + \right. \\ & \left. + \rho \left[\int_0^H \left(\frac{\partial H}{\partial z} \right)_{H, T} dH \right] - \left[B \cdot d_{\vec{n}} \right] \right], \quad (2.65) \end{aligned}$$

pe:

$$g_2 = 0, j_2 = 0, \gamma_2 = \mu_0, \varepsilon_2 = \varepsilon_0, L_{1n} = L_{2n} \text{ și } H_{1t} = H_{2t}$$

Rezultă:

$$\begin{aligned} \vec{F}_{s10} = & \left[\frac{\varepsilon_1 - \varepsilon_0}{\varepsilon_1 \varepsilon_0} D_{1n1}^2 + \frac{\mu_1 - \mu_0}{\mu_1 \mu_0} B_{1n1}^2 + \int_0^{E_{10}} DdE + \int_0^{H_{10}} BdH - \int_0^{E_{20}} DdE - \right. \\ & \left. - \int_0^{H_{20}} BdH - \int_0^{L_{10}} \rho_1 \left(\frac{\partial \varepsilon_1}{\partial s_1} \right)_{1,z} dE - \int_0^{H_{10}} \rho_1 \left(\frac{\partial \mu_1}{\partial s_1} \right)_{1,z} dH \right] \vec{n}_1. \quad (2.66) \end{aligned}$$

în care E_{10} , H_{10} , respectiv L_{20} , H_{20} sînt valorile intensităților de câmp în punctul P_0 , pe fața dinspre lichid respectiv pe fața dinspre aer.

Ținînd seama de relațiile (2.66) și de teoremele de continuitate ale componentelor tangente ale vectorilor \vec{F} și \vec{H} , și ale componentelor normale ale vectorilor \vec{E} și \vec{B} , expresia (2.66) se scrie:

$$\begin{aligned} \vec{F}_{s10} = & \left[\frac{\varepsilon_1 - \varepsilon_0}{2\varepsilon_1^2 \varepsilon_0} D_{10n1}^2 + \frac{\mu_1 - \mu_0}{2\mu_1^2 \mu_0} B_{10n1}^2 \right] \vec{n}_1 + \left[\int_0^{E_{10}} PSE - \right. \\ & \left. - \int_0^{E_{10}} \rho_1 \left(\frac{\partial P}{\partial s_1} \right)_{1,z} dE + \mu_0 \int_0^{H_{10}} MdH - \mu_0 \int_0^{H_{10}} \rho_1 \left(\frac{\partial M}{\partial s_1} \right)_{1,z} dH \right] \vec{n}_1. \quad (2.67) \end{aligned}$$

Acum se scrie ecuația (2.64) în punctul P_0 :

$$-g_1 g z_0 + \rho_1 \int_0^{E_{10}} \left(\frac{\partial P}{\partial s_1} \right)_{1,z} dE + \mu_0 \rho_1 \int_0^{H_{10}} \left(\frac{\partial M}{\partial s_1} \right)_{1,z} dH + C = p_0 - f_{s10} \quad (2.68)$$

în care, prin înlocuirea lui f_{s10} din relația (2.67) se obține constanta C și ținînd cont de (2.64) rezultă în final expresia presiunii într-un punct P de cotă z din lichidul magnetic:

$$p = p_0 + \rho_1 g (z_0 - z) - \frac{(\varepsilon_1 - \varepsilon_0)^2}{2\varepsilon_1^2 \varepsilon_0} D_{10n1}^2 - \frac{(\mu_1 - \mu_0)^2}{2\mu_1^2 \mu_0} B_{10n1}^2 -$$

$$- \int_0^{E_{10}} P dE - \mu_0 \int_0^{H_{10}} M dH + \int_0^E \rho_1 \left(\frac{\partial P}{\partial \rho_1} \right)_{T, \tau} d\rho + \int_0^H \mu_0 \rho_1 \left(\frac{\partial M}{\partial \rho_1} \right)_{H, \tau} dH, \quad (2.69)$$

Ultima relație arată că presiunea suplimentară apărută datorită prezenței câmpului electromagnetic, numită presiune electromagnetică, în lichide omogene ce au o suprafață liberă, aflate în stări statice, are expresia:

$$P_{\text{eln}} = \int_0^E \rho_1 \left(\frac{\partial P}{\partial \rho_1} \right)_{T, \tau} dE + \mu_0 \int_0^{H_1} \rho_1 \left(\frac{\partial M}{\partial \rho_1} \right)_{H, \tau} dH - \frac{(\epsilon_1 - \epsilon_0)^2}{2 \epsilon_1^2 \epsilon_0} D_{\text{locn}_1}^2 - \frac{(\mu_1 - \mu_0)^2}{2 \mu_1^2 \mu_0} B_{\text{locn}_1}^2 - \int_0^{E_{10}} P dE - \mu_0 \int_0^{H_{10}} M dH. \quad (2.70)$$

O consecință importantă a presiunii electromagnetice induse de un câmp electromagnetic într-un fluid este fenomenul de levitație magnetică de primul ordin [73].

Pentru studiarea fenomenului se consideră un corp nemagnetic imersat într-un lichid magnetic în care există un câmp magnetic exterior. Asupra corpului, limitat de suprafața închisă Σ se exercită următoarele forțe:

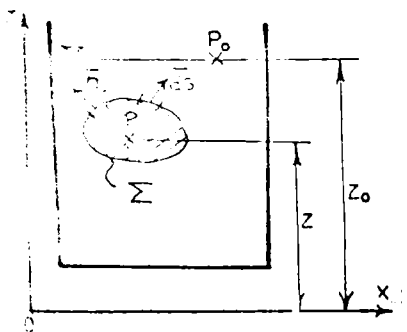


Fig. 2.2.

$F_p = - \oint_{\Sigma} p d\vec{s}$, din partea lichidului magnetic,

$F_B = \oint_{\Sigma} \vec{F}_B d\vec{s}$, rezultanta forțelor

la suprafața de separație dintre fluid și corp și

$F_g = \int_{V_1} \vec{F}_g dv$, rezultanta forțelor

gravitaționale distribuite cu densitatea volumică $\vec{F}_g = - \rho_2 \vec{g} \nabla s$, ρ_2 fiind densitatea corpului.

Asupra corpului se exercită forța rezultantă:

$$F = F_p + F_B + F_g. \quad (2.71)$$

Expresia presiunii se obține din (2.69) prin particularizarea, deoarece în lichidul magnetic există numai câmp magnetic:

$$p = p_0 + \rho_1 g (z_0 - z) - \frac{(\mu_1 - \mu_0)^2}{2\mu_1\mu_0} H_{10}^2 - \mu_0 \int_0^{H_{10}} H \, dH +$$

$$+ \int_0^H \mu_0 \rho_1 \left(\frac{\partial H}{\partial s_1} \right)_{H, z} dH = p_{0M} + \rho_1 g (z_0 - z) +$$

$$+ \int_0^H \mu_0 \rho_1 \left(\frac{\partial H}{\partial s_1} \right)_{H, z} dH, \quad (2.72)$$

în care p_{0M} este o constantă referitoare la punctul P_0 , calculată cu valorile vectorilor \vec{H}_{01} și \vec{H}_{01} în prezența corpului scufundat.

Dacă se are în vedere relația ultimă forța F_p devine:

$$F_p = - p_{0M} \oint_{\Sigma} d\vec{s} - \rho_1 g z_0 \oint_{\Sigma} d\vec{s} + \oint_{\Sigma} \rho_1 g z d\vec{s} - \oint_{\Sigma} \left[\int_0^H \mu_0 \rho_1 \left(\frac{\partial H}{\partial s_1} \right)_{H, z} dH \right] d\vec{s} =$$

$$= \int_{\Sigma} \rho_1 g \nabla z dV - \oint_{\Sigma} \left[\int_0^H \mu_0 \rho_1 \left(\frac{\partial H}{\partial s_1} \right)_{H, z} dH \right] d\vec{s}. \quad (2.73)$$

Densitatea de suprafață a forțelor exercitate de câmpul electromagnetic la suprafața de separație se obține prin particularizarea relației (2.65):

$$\begin{aligned}
 \bar{F}_B &= \left[\frac{\mu_0 - \mu_1}{\mu_1 \mu_0} B_{1n_1}^2 + \text{grad}_{\vec{e}} \left[\int_0^H \left(\frac{\partial \mu}{\partial s} \right)_{H, \vec{e}} H \, dH - \int_0^H B \, dH \right] \right] \bar{n}_1' = \\
 &= \left[\frac{\mu_0 - \mu_1}{\mu_1 \mu_0} B_{1n_1}^2 - \rho_1 \int_0^{H_1} \left(\frac{\partial \mu}{\partial s} \right)_{H, \vec{e}} H \, dH - \int_0^{H_1} B \, dH + \mu_0 \frac{H^2}{2} - \right. \\
 &\quad \left. - \int_0^{H_1} B \, dH \right] \bar{n}_1', \tag{2.74}
 \end{aligned}$$

Seu, după câteva transformări matematice:

$$\begin{aligned}
 \bar{F}_B &= \left[\frac{\mu_0 H^2}{2} - \frac{\mu_1 H_1^2}{2} - \int_0^{H_1} \mu_0 M \, dH + \int_0^{H_1} \mu_0 \rho_1 \left(\frac{\partial \mu}{\partial s} \right)_{H, \vec{e}} dH + \right. \\
 &\quad \left. + \frac{\mu_0 - \mu_1}{\mu_1 \mu_0} B_{1n_1}^2 \right] \bar{n}_1'. \tag{2.75}
 \end{aligned}$$

Se obține deci:

$$\begin{aligned}
 \bar{F}_B &= \oint_{\Sigma} \left(\mu_0 \frac{H^2}{2} - \mu_0 \frac{H_1^2}{2} - \int_0^{H_1} \mu_0 M \, dH \, d\vec{s} + \oint_{\Gamma} \left[\int_D \mu_0 \rho_1 \left(\frac{\partial \mu}{\partial s} \right)_{H, \vec{e}} dH \right] d\vec{s} + \right. \\
 &\quad \left. + \oint_{\Sigma} \frac{\mu_0 - \mu_1}{\mu_1 \mu_0} B_{1n_1}^2 d\vec{s} \right). \tag{2.76}
 \end{aligned}$$

Porțo rezultatul din egalitatea (2.71), ținind seama de (2.73) și (2.76), de teoremele de continuitate și de relațiile:

$$\bar{B} = \frac{\mu \mu_0}{\mu - \mu_0} \bar{H}, \quad B_{n_1}^2 = \frac{\mu^2 - \mu_0^2}{(\mu - \mu_0)^2} H^2; \quad B_{n_1}^2 \cdot \frac{\mu_0 - \mu_1}{2\mu_1 \mu_0} = \frac{M_{n_1}^2}{2} \mu_0, \tag{2.77}$$

se scrie în forma:

$$\vec{F} = \int_{V_L} \rho_1 g \nabla z \, dv + \vec{F}_g - \mu_0 \oint_{\Sigma} \left[\frac{M^2}{2} + \int_0^{H_1} M \, dH \right] d\vec{s}. \quad (2.78)$$

Primul termen din (2.78) reprezintă, în modul, greutatea volumului de lichid dezlucuit de corp, care se notează cu F_{gl} .

Condiția de levitație a corpului nemagnetic imersat în lichid magnetic este $\vec{F} = 0$, de unde se obține:

$$\vec{F}_g = \vec{F}_{gc} + \mu_0 \oint_{\Sigma} \left[\frac{M^2}{2} + \int_0^{H_1} M \, dH \right] d\vec{s}. \quad (2.79)$$

2.3. Calculul forței rezultante pe calea integrării tensiunilor fictive

Calculul forței rezultante care se exercită asupra unui corp imersat într-un lichid - corpul putînd avea sau nu magnetizație sau polarizație permanente și permeabilitatea magnetică μ sau μ_0 respectiv permitivitatea electrică ϵ sau ϵ_0 - se poate efectua și pe calea integrării tensiunilor fictive.

În continuare se dă o demonstrație originală, mai generală decît cea cunoscută în literatură [40] și justificată pe altă cale. În acest scop expresia (2.41) a valorii vectoriale a tensorului, egală și de semn schimbat cu valoarea vectorială a tensorului fictiv maxwellian, se poate pune sub o altă formă observînd că pentru lichide paraelectrice, respectiv paramagnetice, sînt valabile relațiile (2.48). Din (2.41) cu (2.48), pentru corpuri în repaos se obține:

$$\begin{aligned} \vec{F}_F(\vec{n}) = - \vec{F}(\vec{n}) = - \left[\vec{F} \cdot \vec{E} - \beta \int_0^E \left(\frac{\partial F}{\partial \beta} \right)_{E, \vec{n}} dE + \vec{H} \cdot \vec{E} - \beta \mu_0 \int_0^H \left(\frac{\partial H}{\partial \beta} \right)_{H, \vec{n}} dH - \right. \\ \left. - \int_{E=0}^E \vec{E} \cdot d\vec{E} - \int_{B=0}^B H dB \right] \vec{n} + \vec{E}(\vec{F} \cdot \vec{n}) + \vec{H}(\vec{E} \cdot \vec{n}). \end{aligned} \quad (2.80)$$

Ecuația (2.63) scrisă pentru densitatea de volum a forței exercitate de câmpul electromagnetic determină, la $\xi = \text{constant}$, următoarea expresie a presiunii electromagnetice:

$$p_{\text{elm}} = \oint_0^E \left[\left(\frac{\partial E}{\partial \xi} \right)_{E, \xi} dE + \mu_0 \int_0^H \left(\frac{\partial H}{\partial \xi} \right)_{H, \xi} dH \right] + p_0, \quad (2.81)$$

unde p_0 este o constantă de integrare.

Fie un corp imersat într-un lichid, cu proprietăți paraelectrice, respectiv paramagnetice neliniare dar lipsit de histeresis, și plasat într-un câmp electromagnetic. Corpul are permitivitatea

ϵ_1 și permeabilitatea magnetică μ_1 (figura 2.3).

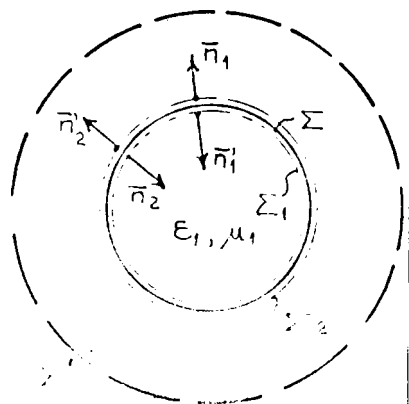


Fig. 2.3.

La suprafața de separație între corp și lichid câmpul exercită forțe repartizate cu densitatea $\vec{F}_{s_{12}}$.

Cum proprietățile de material suferă un salt la trecerea prin suprafața închisă Σ , prin raționamente de limită se ajunge la concluzia că:

$$\vec{F}_{s_{12}} = \vec{F}_1(\vec{n}'_1) + \vec{F}_2(\vec{n}'_2), \quad (2.87)$$

în care $\vec{F}_1(\vec{n}'_1)$, respectiv $\vec{F}_2(\vec{n}'_2)$ reprezintă valorile vectoriale ale tensorului fictiv în puncte situate pe cele două fețe ale suprafeței Σ , notate în figura 2.3 cu Σ_1 și Σ_2 .

Forța rezultantă care se exercită asupra corpului de către câmpul electromagnetic este compusă din următorii termeni:

$$\int_{V_2} \vec{F}_{v_{\text{elm}}} dv - \text{rezultanta forțelor volumice repartizate cu densitatea } \vec{F}_{v_{\text{elm}}};$$

$$\oint_{\Sigma} \vec{F}_{s_{12}} ds - \text{rezultanta forțelor de suprafață};$$

$$- \oint_{\Sigma} p_{\text{elm}} d\vec{s} - \text{forța exercitată de lichid asupra corpului};$$

și deci:

$$\vec{F} = \int_{V_Z} \vec{F}_{v_{elm}} dv + \oint_Z \vec{F}_{s_{12}} ds - \oint_Z p_{elm} d\vec{s}. \quad (2.83)$$

Tinând seama de (2.82) și de definiția tensiunilor fictive în acord cu care $\int_{V_Z} \vec{F}_{v_{elm}} dv = \oint_{Z_1} \vec{t}_{f_1}(\vec{n}_1) ds$, egalitatea (2.83) devine:

$$\begin{aligned} \vec{F} &= \oint_{Z_1 \rightarrow Z} \vec{t}_{f_1}(\vec{n}_1) ds + \oint_{Z_1 \rightarrow Z} \vec{t}_{f_1}(\vec{n}'_1) ds + \oint_{Z_2 \rightarrow Z} \vec{t}_{f_2}(\vec{n}'_2) ds - \oint_Z p_{elm} d\vec{s} + \\ &= \oint_{Z_2 \rightarrow Z} \vec{t}_{f_2}(\vec{n}'_2) ds - \oint_Z p_{elm} d\vec{s}, \end{aligned} \quad (2.84)$$

deoarece $\vec{t}_{f_1}(\vec{n}_1) = -\vec{t}_{f_1}(\vec{n}'_1)$, versorii \vec{n}_1 și \vec{n}'_1 fiind opuși ($\vec{n}_1 + \vec{n}'_1 = 0$).

Cu relațiile (2.80) și (2.82) forța rezultantă poate fi pusă în forma:

$$\begin{aligned} \vec{F} &= \int_{Z_2 \rightarrow Z} [-\vec{E} \cdot \vec{D} + \vartheta \int_0^E \left(\frac{\partial F}{\partial \vartheta} \right)_{E, \tau} dF + \int_0^D \vec{E} \cdot d\vec{E} - \vec{H} \cdot \vec{B} + \mu_0 \vartheta \int_0^H \left(\frac{\partial M}{\partial \vartheta} \right)_{H, \tau} dH + \\ &+ \int_0^B [H dB] d\vec{s} + \int_{Z_2 \rightarrow Z} [\vec{E}(\vec{E} \cdot \vec{n}) + \vec{E}(\vec{E} \cdot \vec{n})] d\vec{s} - \oint_Z \left[\vartheta \int_0^E \left(\frac{\partial P}{\partial \vartheta} \right)_{E, \tau} dE + \right. \\ &+ \left. \mu_0 \int_0^H \left(\frac{\partial M}{\partial \vartheta} \right)_{H, \tau} dH \right] d\vec{s} + \oint_Z p_c d\vec{s}. \end{aligned} \quad (2.85)$$

Cum $\oint_Z p_c d\vec{s} = 0$, $d\vec{s} = ds \vec{n}'_2 = ds \vec{n}$ iar

$$\int_0^D \vec{E} dD = \vec{D} \cdot \vec{E} - \int_0^E D dE \text{ și } \int_0^B H dB = \vec{B} \cdot \vec{H} - \int_0^H B dH \text{ se obține în}$$

final:

$$\vec{F} = - \oint_{\Sigma_2 \rightarrow \Sigma} \left(\int_0^E D \, dE + \int_0^H B \, dH \right) d\vec{s} + \oint_{\Sigma_2 \rightarrow \Sigma} [\vec{E}(\vec{D} \cdot \vec{n}) + \vec{H}(\vec{B} \cdot \vec{n})] d\vec{s}. \quad (2.86)$$

Ecuațiile (2.86) demonstrează că forța rezultantă se poate obține prin integrarea a două tensiuni: una normală la suprafață:

$$\vec{T}_n = \left[- \left(\int_0^E D \, dE + \int_0^H B \, dH \right) + E_n D_n + H_n B_n \right] \vec{n}; \quad (2.87)$$

și alta tangențială:

$$\vec{T}_t = (E_t D_n \vec{u}_{t_E} + H_t B_n \vec{u}_{t_H}) \quad (2.88)$$

astfel încît:

$$\vec{F} = \oint_{\Sigma_2 \rightarrow \Sigma} \vec{T}(\vec{n}) d\vec{s} + \oint_{\Sigma_2 \rightarrow \Sigma} \vec{T}_t d\vec{s}, \quad (2.89)$$

în care \vec{u}_{t_E} și \vec{u}_{t_H} sînt versorii tangențiali la suprafață, determinați de intersecția între planul tangent la suprafață și planul format de vectorul \vec{E} respectiv \vec{H} .

Expresiile (2.84), (2.86) și (2.89), care toate sînt echivalente, ale forței rezultante sînt foarte utile întrucît dacă atît corpul cît și lichidul sînt în stare statică, suprafața de integrare poate fi aleasă de formă arbitrară însă situată în lichid. În adevăr, dacă lichidul dintre suprafețele Σ_2 și Σ_1 din figura 2.3 este în echilibru static, forța rezultantă care se exercită asupra lui trebuie să fie nulă. Ca urmare, notînd cu \vec{n}' normala exterioară suprafeței Σ_1 , se poate scrie:

$$\oint_{\Sigma_1} \vec{T}_F(\vec{n}') d\vec{s} + \oint_{\Sigma_2 \rightarrow \Sigma} \vec{T}_F(\vec{n}_2) d\vec{s} - \int_{\Sigma_2 \cup \Sigma_1} p_{elm} d\vec{s} = \int_{\Sigma_2 \cup \Sigma_1} \vec{T}_{V,elm} = 0, \quad (2.90)$$

și deci:

$$\oint_{\Sigma'} \vec{T}_F(\vec{n}') d\vec{s} - \int_{\Sigma'} p d\vec{s} = \int_{\Sigma_2} \vec{T}_F(\vec{n}_2') d\vec{s} - \int_{\Sigma} p_{elm} d\vec{s}, \quad (2.91)$$

egalitate ce demonstrează afirmația făcută.

Dacă există doar câmp magnetic, tensiunile (2.88) obțin formele particulare:

$$\vec{T}_n = \left(- \int_0^H B dH + H_n B_n \right) \vec{n}, \quad (2.92)$$

$$\vec{T}_t = H_t B_n \vec{u}_t, \quad (2.93)$$

identice cu cele obținute în [43] prin alte procedee.

2.4. Forța exercitată de câmpul magnetic asupra unei sfere nemagnetice imersată într-un lichid magnetic

O importantă aplicație a lichidelor magnetice o constituie separatoarele magnetice [48 - 55]. La baza principiului lor de funcționare stau forțele exercitate de câmpul magnetic asupra unor corpuri nemagnetice, imersate în lichid magnetic.

R.A. Curtis a studiat [16] forța care se exercită asupra unor corpuri de dimensiuni mici (cilindru, disc și sferă de raze mici) utilizând următoarea expresie a "forței de plutire magnetică":
 $\vec{F}_m = - \mu_0 V M \nabla H$ (volumul corpului fiind V). Autorul a lucrat în ipoteza că lichidul magnetic este la saturație, $M = M_0 = ct.$, M variază liniar în raport cu H și corpul fiind de dimensiuni foarte mici nu modifică câmpul în lichid.

În continuare se va studia forța care se exercită asupra unei sfere nemagnetice de dimensiuni arbitrare imersată în lichid magnetic, ansamblul fiind plasat între poli de configurație hiperbolică sau exponențială. Se pornește de la relație (2.78), în care forța de natură magnetică are expresia:

$$\vec{F}_m = - \mu_0 \oint_{\Sigma} \left[\frac{M^2}{2} + \int_0^H M dH \right] d\vec{s}, \quad (2.78')$$

în care integrala se referă la suprafața Σ a corpului nemagnetic, vectorul de magnetizație \vec{M} și intensitatea a cîmpului magnetic \vec{H} fiind considerați în puncte din lichidul magnetic, iar \vec{M}_n reprezintă componenta normală a vectorului \vec{M} la suprafața Σ .

Relația (2.78) se dezvoltă în continuare pentru poli avînd profile utilizate în construcția magnetoseparatorilor [47], presupunînd că se lucrează fie pe porțiunea liniară a curbei de magnetizare a lichidului magnetic, fie pe porțiunea sa saturată.

Calcululele se efectuează pentru cazul corpurilor nemagnetice de formă sferică, avînd raza a , introduse în lichid magnetic.

Dacă se notează cu V_H potențialul scalar al cîmpului magnetic în lipsa sferei, cu V_{H_1} valoarea acestuia în domeniul sferei și cu V_{H_2} în exteriorul ei, folosind un sistem de coordonate sferic cu originea în centrul sferei de rază a , se poate scrie:

$$V_H = f(\varrho, \theta, \varphi) \quad (2.94)$$

Pentru determinarea funcțiilor V_{H_2} și V_{H_1} se încearcă soluții de forma:

$$V_{H_2} = f(\varrho, \theta, \varphi) - A \cdot \frac{a}{\varrho} \cdot f\left(\frac{a}{\varrho}, \theta, \varphi\right) \quad (2.95)$$

$$V_{H_1} = (1 - A) f(\varrho, \theta, \varphi)$$

În continuare se demonstrează că funcțiile (2.95) satisfac ecuația lui Laplace. Deoarece (2.94) este o soluție a ecuației lui Laplace, rezultă:

$$\Delta V_H = \Delta f(\varrho, \theta, \varphi) = 0$$

Pentru prima expresie din (2.95) avem:

$$\Delta V_{H_2} = \Delta f - A \Delta \left[\frac{a}{\varrho} f\left(\frac{a}{\varrho}, \theta, \varphi\right) \right] = -A \Delta \left[\frac{a}{\varrho} f\left(\frac{a}{\varrho}, \theta, \varphi\right) \right] \quad (2.96)$$

Se fac următoarele notații: $u = a^2/\varrho$ și $\Delta \left[\frac{u}{a} f(u, \theta, \varphi) \right] = \Delta F$ și se calculează un termen al Laplaceanului:

$$\frac{1}{\varrho^2} \frac{\partial}{\partial \varrho} \left(\varrho^2 \frac{\partial F}{\partial \varrho} \right) = \frac{1}{\varrho^2} \left[\frac{\partial}{\partial \varrho} \left(\varrho^2 \frac{\partial}{\partial \varrho} \left(\frac{u}{a} f \right) \right) \right] =$$

$$\begin{aligned}
&= \frac{1}{g^2} \left[\frac{\partial}{\partial \vartheta} \left(g^2 \left(-\frac{1}{a} \cdot \frac{a^2}{g^2} f - \frac{u}{a} \cdot \frac{a^2}{g^2} f'_u \right) \right) \right] = \\
&= \frac{1}{g^2} \left[\frac{\partial}{\partial \vartheta} \left(-af - uaf' \right) \right] = \frac{1}{g^2} \left[-af'_u \left(-\frac{a^2}{g^2} \right) + a f'_u \frac{a^2}{g^2} + uaf''_u \frac{a^2}{g^2} \right] = \\
&= \frac{1}{g^2} \left[\frac{a^3}{g^2} f'_u + \frac{a^2}{g^2} f'_u + uaf''_u \frac{a^2}{g^2} \right] = \frac{a^3}{g^4} (2 f'_u + u f''_u) = \\
&= \frac{a^3}{g^4} \cdot \frac{a^2}{g} (2 f'_u + f''_u) = \frac{a^5}{g^5} \cdot \frac{1}{u^2} \frac{\partial}{\partial u} (u^2 \frac{\partial f}{\partial u}) = \\
&= a^{-5} u^3 \frac{\partial}{\partial u} (u^2 \frac{\partial f}{\partial u}). \tag{2.97}
\end{aligned}$$

Deci:

$$\begin{aligned}
\Delta F &= \frac{1}{g^2} \frac{\partial}{\partial \vartheta} \left(g^2 \frac{\partial F}{\partial \vartheta} \right) + \frac{1}{g^2 \sin^2 \vartheta} \cdot \frac{\partial^2 F}{\partial \varphi^2} + \frac{1}{g^2 \sin \vartheta} \frac{\partial}{\partial \vartheta} \left(\sin \vartheta \frac{\partial F}{\partial \vartheta} \right) = \\
&= \frac{u^3}{a^5} \frac{\partial}{\partial u} (u^2 \frac{\partial f}{\partial u}) + \frac{u^2 \cdot \frac{u}{a}}{a^4 \sin^2 \vartheta} \frac{\partial^2 f}{\partial \varphi^2} + \frac{u^2 \cdot \frac{u}{a}}{a^4 \sin \vartheta} \frac{\partial}{\partial \vartheta} \left(\sin \vartheta \frac{\partial f}{\partial \vartheta} \right) = \\
&= \frac{u^5}{a^5} \left[\frac{1}{u^2} \frac{\partial}{\partial u} (u^2 \frac{\partial f}{\partial u}) + \frac{1}{u^2 \sin^2 \vartheta} \frac{\partial^2 f}{\partial \varphi^2} + \frac{1}{u^2 \sin \vartheta} \frac{\partial}{\partial \vartheta} \left(\sin \vartheta \frac{\partial f}{\partial \vartheta} \right) \right] = 0 \tag{2.98}
\end{aligned}$$

Constanta A se determină din condițiile de frontieră.

Condiția: $(V_{H_1})_{\vartheta=a} = (V_{H_e})_{\vartheta=a}$ este automat satisfăcută:

$$(1 - A) f(a, \vartheta, \varphi) = f(a, \vartheta, \varphi) - A f(a, \vartheta, \varphi). \tag{2.99}$$

A doua condiție de frontieră:

$$\mu_1 \left(\frac{\partial V_{H_1}}{\partial \vartheta} \right)_{\vartheta=a} = \mu_2 \left(\frac{\partial V_{H_e}}{\partial \vartheta} \right)_{\vartheta=a} \tag{2.100}$$

conduce la:

$$\mu_1(1 - A) f'_3(a, \theta, \varphi) = \mu_2 [f'_3(a, \theta, \varphi) - A (-\frac{a}{a^2} f(a, \theta, \varphi) - f'_u(a, \theta, \varphi)] \quad (2.100)$$

Deoarece $f'_3(a, \theta, \varphi) = f'_u(a, \theta, \varphi)$, rezultă:

$$A = \frac{\mu_1 - \mu_2}{\mu_1 + \mu_2 [1 + \frac{f(a, \theta, \varphi)}{af'_3(a, \theta, \varphi)}]} \quad (2.101)$$

Pentru ca încercările de soluție (2.95) să reprezinte soluția problemei trebuie ca membrul drept al relației (2.101) să fie constant. Condiția este realizată pentru cele cîmpuri exterioare care satisfac egalitatea:

$$V_{II} = f(\varrho, \theta, \varphi) = \psi_1(\varrho) \psi_2(\theta, \varphi) \quad (2.102)$$

Această condiție este îndeplinită de o gamă largă de cîmpuri.

Se presupune, în continuare, că potențialul scalar al cîmpului magnetic din separator satisface egalitatea (2.102).

Atunci se poate scrie:

$$\vec{H}_e = -\nabla V_{H_e} = \vec{H} + A \text{grad} \left[\frac{a}{\varrho} V_{II} \left(\frac{a^2}{\varrho}, \theta, \varphi \right) \right] \quad (2.103)$$

și

$$\vec{H}_1 = (1 - A) \vec{H} \quad (2.104)$$

Se iau în considerare în cele ce urmează două ipoteze:

- a) se lucrează pe porțiunea liniară a lichidului magnetic;
- b) se lucrează pe porțiunea saturată a acestuia.

a) Dacă se lucrează pe porțiunea liniară a curbei de magnetizare $\vec{M} = \vec{M}(H)$ a lichidului magnetic, atunci $\vec{M}_e = \chi_m \vec{H}_e$, unde susceptivitatea magnetică χ_m este o mărime constantă și egalitatea (2.7B') se poate scrie în forma:

$$\begin{aligned} \bar{F}_m &= -\mu_0 \oint_{\Sigma} \left[\frac{x_m^2}{2} H_{en}^2 + \frac{x_m}{2} H_e^2 \right] d\bar{s} = \\ &= -\mu_0 \oint_{\Sigma} \left[\frac{x_m(1+x_m)}{2} H_{en}^2 + \frac{x_m}{2} H_{ep}^2 \right] d\bar{s} \end{aligned} \quad (2.105)$$

unde prin H_{ep} s-a notat componenta tangență a vectorului \vec{H}_e la suprafața Σ .

Tinând seama de teorema de continuitate a componentelor normale ale vectorului inducție magnetică \vec{B} , $\mu H_{en} = \mu_0 H_{in}$, rezultă: $H_{en} = \frac{1}{1+x_m} H_{in}$ și deci relația (2.105) devine:

$$\bar{F}_m = -\mu_0 \frac{x_m}{2(1+x_m)} \oint_{\Sigma} H_{in}^2 d\bar{s} - \mu_0 \frac{x_m}{2} \oint_{\Sigma} H_{ip}^2 d\bar{s}. \quad (2.106)$$

Dacă se consideră un câmp magnetic care în lipsa sferei satisface condiția (2.102), atunci cu (2.103), egalitatea (2.106) ia forma:

$$\begin{aligned} \bar{F}_m &= -\mu_0 \frac{x_m}{2(1+x_m)} (1-A)^2 \oint_{\Sigma} H_n^2 d\bar{s} - \mu_0 \frac{x_m}{2} (1-A)^2 \oint_{\Sigma} H_p^2 d\bar{s} = \\ &= -\mu_0 \frac{x_m}{1+x_m} (1-A)^2 \int_{V_{\Sigma}} H_n \operatorname{grad} H_n dv - \mu_0 \frac{x_m}{2} (1-A)^2 \int_{V_{\Sigma}} H_p \operatorname{grad} H_p dv, \end{aligned} \quad (2.107)$$

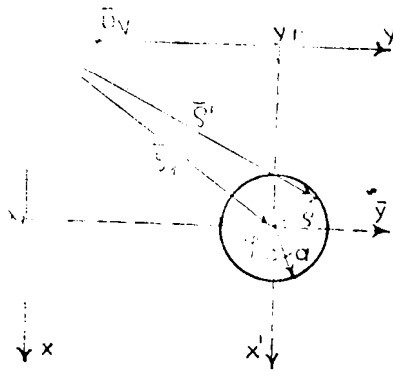
în care s-a folosit transformarea lui Gauss-Ostrogradski referitoare la gradient.

Cum $H^2 = H_n^2 + H_p^2$ și deci $H_p \operatorname{grad} H_p = H \operatorname{grad} H - H_n \operatorname{grad} H_n$, egalitatea anterioară se scrie și în forma:

$$\bar{F}_m = -\mu_0 x_m (1-A)^2 \int_{V_{\Sigma}} H \operatorname{grad} H + \frac{\mu_0 x_m^2 (1-A)^2}{1+x_m} \int_{V_{\Sigma}} H_n \operatorname{grad} H_n dv. \quad (2.108)$$

Cîmpul magnetic din separatoarele magnetice fiind plan-paralel, se consideră sfera cu centrul în planul xoy , fig. 2.4, de coordonate $(x_1, y_1, 0)$.

Versorul normalei la suprafața sferii, \vec{u}_3 , se calculează din:



$$\vec{u}_3 = \frac{\text{grad } f}{|\text{grad } f|}$$

în care:

$$f = (x-x_1)^2 + (y-y_1)^2 + z^2$$

adică

$$\vec{u}_3 = \frac{1}{a}[(x-x_1)\vec{u}_x + (y-y_1)\vec{u}_y + z\vec{u}_z]$$

Fig. 2.4.

Componenta normală a intensității cîmpului magnetic se scrie sub forma:

$$H_n = H_\xi = \vec{H} \cdot \vec{u}_3 = H_x \frac{x-x_1}{a} + H_y \frac{y-y_1}{a} \quad (2.109)$$

Fie un cîmp magnetic plan paralel dintre doi poli magnetici avînd configurația geometrică - în planul xoy din figura 2.5 - în forma a două hiperbole raportate la bisectoare. Potențialul scalar al cîmpului magnetic are ecuația:

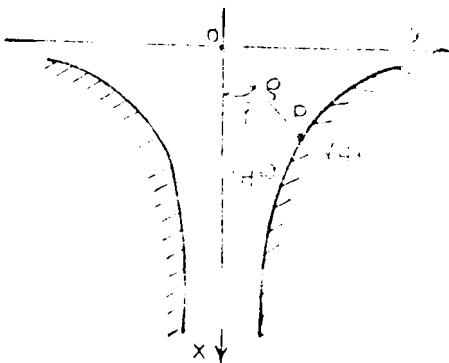


Fig. 2.5.

$$V_H = Kxy = K \xi^2 \cos\varphi \sin\varphi = f(\xi, \varphi, \varphi),$$

adică el satisface condiția (2.102)

avînd $\Psi_1 = K \xi^2$ și $\Psi_2 = \sin\varphi \cos\varphi$.

Pentru constanta A rezultă o valoare ce se deduce din relația ():

$$\frac{f(\xi, \varphi, \varphi)}{a_\xi^2(\xi, \varphi, \varphi)} = \frac{K a^2 \sin\varphi \cos\varphi}{2 a^2 K \sin\varphi \cos\varphi} = \frac{1}{2},$$

$$\text{deci } A = \frac{2(\mu_0 - \mu)}{2\mu_c + 3\mu} \text{ iar}$$

$$1 - A = \frac{5\mu}{3\mu + 2\mu_0} = \frac{5}{3} \frac{x_m}{x_n} + 5 \quad (2.110)$$

Vectorul intensitate a câmpului magnetic are forma:
 $\vec{H} = -\nabla H = -Ky\vec{u}_x - Kx\vec{u}_y$ și modulul $H = K(x^2 + y^2)^{1/2} = K\varrho'$
 iar gradientul său are valoarea $\nabla H = K \frac{\vec{\rho}'}{\varrho'} = K \vec{u}_{\rho}'$.

Integrala din primul termen al egalității (2.108) se calculează cum urmează:

$$\int_{V_1} H \text{grad } H \, dv = K^2 \int_{V_1} \vec{\rho}' \, dv = K^2 \int_{V_1} (\vec{\rho}'_1 + \vec{\rho}) \, dv = K^2 \rho'_1 v_S - K^2 \int_{V_1} \vec{\rho} \, dv =$$

$$= K^2 \vec{\rho}'_1 v_S + K^2 \int_{V_1} \nabla \cdot \frac{\vec{\rho}}{2} \, dv = K^2 (\rho'_1 v_S + \frac{1}{2} \oint_{\Sigma} d\vec{s}) = K^2 v_S \vec{\rho}'_1 \quad (2.111)$$

deoarece $\oint_{\Sigma} d\vec{s} = 0$. În relația (2.111) $\vec{\rho}'_1$ reprezintă vectorul de poziție al centrului sferei (fig. 2.4) iar v_S volumul său.

Integrala din cel de-al doilea termen al forței de natură magnetică, relație (2.108), se poate scrie în forma:

$$\int_{V_1} H_n \text{grad } H_n \, dv = \frac{1}{2} \int_{V_1} \text{grad } H_n^2 \, dv = \frac{1}{2} \oint_{\Sigma} H_n^2 \, d\vec{s} = \frac{1}{2} \oint_{\Sigma} H_n^2 \frac{d\vec{s}}{R} \quad (2.112)$$

Dacă se utilizează sistemul de coordonate $x' o' y'$, cu originea în centrul sferei și cu axele paralele cu cele ale sistemului xoy - fig.24 - se obțin pentru componentele vectorului intensitate a câmpului magnetic \vec{H} pe suprafața sferei expresiile:

$$H_x = -Ky = -K(y' + y_1) = -K(y_1 + a \sin \varphi)$$

$$H_y = -Kx = -K(x' + x_1) = -K(x_1 + a \cos \varphi) \quad (2.113)$$

iar versorul normalei la sferă devine:

$$\vec{u}_{\rho} = \sin \theta \sin \varphi \vec{u}_x + \sin \theta \cos \varphi \vec{u}_y + \cos \theta \vec{u}_z$$

În relația (2.109) se deduce:

$$H_y = -K(y_1 + a \sin \varphi) \cos \varphi - K(x_1 + a \cos \varphi) \sin \varphi$$

și deci

$$\begin{aligned}
 \vec{Y} = \oint_{\Sigma} H^2 \vec{u}_i ds = \int_0^{\bar{u}} \int_0^{2\pi} K^2 a^2 [(y_1 + a \sin\varphi) \cos\varphi + (x_1 + \\
 + a \cos\varphi) \sin\varphi]^2 \cdot (\cos\varphi \sin\theta \vec{u}_x + \sin\theta \sin\varphi \vec{u}_y + \cos\theta \vec{u}_z) \sin\theta d\varphi d\theta.
 \end{aligned}
 \tag{2.114}$$

Componentele vectorului \vec{Y} sînt:

$$I_z = K^2 a^2 \int_0^{2\pi} \int_0^{\bar{u}} r(\varphi) d\varphi \int_0^{\pi} \sin^2\theta \cos\theta d\theta = 0,
 \tag{2.115}$$

$$\begin{aligned}
 I_x = K^2 a^2 \int_0^{2\pi} [(y_1 + a \sin\varphi) \cos\varphi + (x_1 + \cancel{a \cos\varphi} \sin\varphi)^2] \\
 + a \cos\varphi \sin\varphi]^2 \cos\varphi d\varphi \int_0^{\pi} \sin^2\theta d\theta =
 \end{aligned}$$

$$\begin{aligned}
 &= K^2 a^2 \frac{\bar{u}}{2} \int_0^{2\pi} (y_1 \cos\varphi + x_1 \sin\varphi + a \sin 2\varphi)^2 \cos\varphi d\varphi = \\
 &= K^2 a^2 \frac{\bar{u}^2}{2} x_1,
 \end{aligned}
 \tag{2.116}$$

$$\begin{aligned}
 I_y = K^2 a^2 \int_0^{2\pi} [(y_1 + a \sin\varphi) \cos\varphi + (x_1 + \cancel{a \cos\varphi} \sin\varphi)^2 \sin\varphi \\
 + a \cos\varphi \sin\varphi]^2 \sin\varphi d\varphi \int_0^{\pi} \sin^2\theta d\theta = K^2 a^2 \frac{\bar{u}}{2} \int_0^{2\pi} (y_1 \cos\varphi + \\
 + x_1 \sin\varphi + a \sin 2\varphi)^2 \sin\varphi d\varphi = K^2 a^2 \frac{\bar{u}^2}{2} y_1
 \end{aligned}
 \tag{2.117}$$

Rezultă:

$$\vec{I} = K^2 a^3 \frac{\sqrt{\kappa}}{2} (x_1 \vec{u}_x + y_1 \vec{u}_y) = K^2 a^3 \frac{\sqrt{\kappa}}{2} \vec{Q}'_1 \quad (2.118)$$

Cu relațiile (2.111), (2.112) și (2.114) forța magnetică din expresia (2.108) ia forma:

$$\vec{F}_m = -\mu_0 x_m (1-A)^2 K^2 v_s \vec{Q}'_1 + \mu_0 \frac{x_m^2 (1-A)^2}{2(1+x_m)} \cdot \frac{3\sqrt{\kappa}}{8} K^2 v_s \vec{Q}'_1 \quad (2.119)$$

și folosind expresia (2.110) pentru factorul (1-A), se obține:

$$\vec{F}_m = -\mu_0 K^2 \frac{x_m [(16-3\sqrt{\kappa})x_m + 16]}{16(1+x_m)} \cdot \left(\frac{5x_m+5}{3x_m+5}\right)^2 v_s \vec{Q}'_1 \quad (2.120)$$

Asupra sferei nemagnetice imersate în lichidul magnetic se mai exercită forța gravitațională $\vec{F}_g = \rho_s v_s \vec{g}$; ρ_s , respectiv \vec{g} , fiind densitatea sferei, respectiv accelerația gravitațională - și forța lui Arhimede $\vec{F}_l = -\rho_l v_s \vec{g}$, în care ρ_l reprezintă densitatea lichidului magnetic.

Ca urmare, forța rezultantă ce acționează asupra sferei poate fi scrisă în forma:

$$\vec{F} = \vec{F}_g + \vec{F}_l + \vec{F}_m = v_s g \left\{ \rho_s - \rho_l - \frac{\mu_0 K^2 x_m [(16-3\sqrt{\kappa})x_m + 16]}{16(1+x_m)g} \cdot \left(\frac{5x_m+5}{3x_m+5}\right)^2 x_1 \right\} \vec{u}_x - \frac{\mu_0 K^2 x_m [(16-3\sqrt{\kappa})x_m + 16]}{16(1+x_m)g} \left(\frac{5x_m+5}{3x_m+5}\right)^2 v_s y_1 \vec{u}_y, \quad (2.121)$$

ceea ce demonstrează că densitatea aparentă a lichidului magnetic are expresia:

$$\rho_{at} = \rho_l + \frac{\mu_0 K^2 x_m [(16-3\sqrt{\kappa})x_m + 16]}{16(1+x_m)g} \left(\frac{5x_m+5}{3x_m+5}\right)^2 x_1 \quad (2.122)$$

b) Se presupune în continuare că se lucrează pe porțiunea saturată a curbei de magnetizare unde $\vec{M} = \vec{M}(H)$ este de forma:

$$\vec{M} = \vec{M}_0 \left(1 - \frac{C}{H}\right), \quad (2.123)$$

în care M_0 reprezintă magnetizația de saturație iar constanta $C = KT/\mu_0 m$ poate fi determinată pe cale experimentală trăsînd curba $M = f(1/H)$ (fig. 2.6). Din grafic se citește M_0 și $1/H$. Pentru punctul A, $C = H_B = K_B \xi^1$ ($K > K_B$).

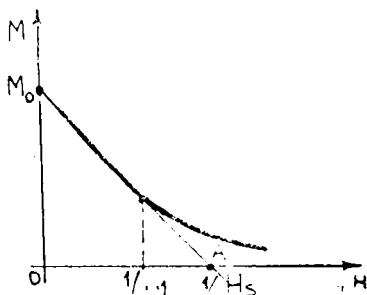


Fig. 2.6.

Funcția M fiind discontinuă, integrala $\int_0^H M dH$ se descompune după cum urmează:

$$\int_0^H M dH = \int_0^{H_B} M dH + \int_{H_B}^H M dH = \int_0^{H_B} M dH +$$

$$+ M_0(H - H_B) - M_0 C \ln \frac{H}{H_B} \quad (2.124)$$

Forța magnetică ce se exercită asupra sferei de rază a este:

$$\begin{aligned} \bar{F}_m = & -\frac{\mu_0}{2} \oint_S M_n^2 d\bar{s} - \mu_0 \oint_S \left[\int_0^H M dH \right] d\bar{s} = -\frac{\mu_0}{2} \oint_S M_n^2 d\bar{s} - \mu_0 M \oint_S H d\bar{s} + \\ & + \mu_0 M_0 C \oint_S \ln \frac{H}{H_B} d\bar{s} = \bar{F}_m'' + \bar{F}_{m_1} + \bar{F}_{m_2} \end{aligned} \quad (2.125)$$

în care componentele \bar{F}_m'' , \bar{F}_{m_1} și \bar{F}_{m_2} urmează a se calcula separat.

În acest scop se descompune funcția $H = H(x, y)$ în jurul centrului sferei de coordonate (x_1, y_1) . Deoarece raza sferei a este mică, se iau în considerare numai primii termeni ai seriei. Pe suprafața sferei (fig. 2.4) se poate scrie:

$$\begin{aligned} H = K \xi^1 & \approx K \left(\xi_1' + \frac{x - x_1}{R} \cdot \frac{x_1}{\xi_1'} + \frac{y - y_1}{R} \cdot \frac{y_1}{\xi_1'} \right) = \\ & = K \left(\xi_1' + \frac{x_1 a \cos \varphi}{\xi_1'} + \frac{y_1 a \sin \varphi}{\xi_1'} \right). \end{aligned} \quad (2.126)$$

Se calculează separat integrala \bar{F}_1 :

$$\vec{I}_1 = \oint_{\Sigma} H d\vec{s} = a^2 \int_0^{\pi} \int_0^{2\pi} \left(K \left[\rho'_1 + \frac{x_1 a \cos\varphi}{\rho'_1} + \frac{y_1 a \sin\varphi}{\rho'_1} \right] \vec{u}_\varphi \right) \sin\theta d\theta d\varphi. \quad (2.127)$$

Se ține cont că $\vec{u}_\varphi = \sin\theta \cos\varphi \vec{u}_x + \sin\theta \sin\varphi \vec{u}_y + \cos\theta \vec{u}_z$
și rezultă succesiv:

$$\begin{aligned} I_{1x} &= a^2 \frac{K x_1 a}{\rho'_1} \int_0^{\pi} \int_0^{2\pi} \sin^2\theta \cos^2\varphi d\theta d\varphi + \frac{a^2 K y_1 a}{\rho'_1} \int_0^{\pi} \int_0^{2\pi} \sin^2\theta \cos\varphi \sin\varphi d\theta d\varphi = \\ &= K \frac{\sqrt{a^3}}{2 \rho'_1} x_1. \end{aligned} \quad (2.128)$$

$$\text{Similar rezultă: } I_{1y} = K \frac{\sqrt{a^3}}{2 \rho'_1} y_1, \quad I_{1z} = 0. \quad (2.129)$$

Integrala \vec{I}_1 ia forma:

$$\vec{I}_1 = K \frac{\sqrt{a^3}}{2} (x_1 \vec{u}_x + y_1 \vec{u}_y) = \frac{\sqrt{a^3}}{2} \nabla H_1$$

și componenta \vec{F}_{m_1} a forței devine:

$$\vec{F}_{m_1} = -\mu_0 M_0 \vec{I}_1 = -\mu_0 M \frac{\sqrt{a^3}}{2} \nabla H_1 = -\frac{3}{8} \sqrt{a^3} \mu_0 M_0 \nabla H_1 \quad (2.130)$$

în care $v_s = 4\sqrt{a^3}/3$ reprezintă volumul sferei.

Se notează în continuare $\vec{I}_2 = \oint_{\Sigma} \ln \frac{H}{H_S} d\vec{s}$ și se dezvoltă funcția $\ln \frac{H}{H_S}$ în jurul centrului sferei:

$$\begin{aligned} \ln \frac{H}{H_S} &= \ln \frac{K \rho'_1}{H_S} = \ln \frac{K}{H_S} + \ln \rho'_1 \cong \ln \frac{K}{H_S} + \rho'_1 + \frac{x - x_1}{\rho'_1} \cdot \frac{x_1}{\rho'_1} + \\ &+ \frac{y - y_1}{\rho'_1} \cdot \frac{y_1}{\rho'_1}, \end{aligned}$$

$$\vec{I}_2 = \oint_{\Sigma} \ln \frac{K \rho'_1}{H_S} d\vec{s} + a^2 \int_0^{\pi} \int_0^{2\pi} \left(\frac{x_1 a \cos\varphi}{\rho'_1{}^2} + \frac{y_1 a \sin\varphi}{\rho'_1{}^2} \right) \sin\varphi \vec{u}_\varphi d\theta d\varphi =$$

◆

$$= \frac{x_1 a^3}{g_1^2} \sqrt{\frac{\mu}{2}} \bar{u}_x + \frac{y_1 a^3}{g_1^2} \sqrt{\frac{\mu}{2}} \bar{u}_y = \frac{\sqrt{\kappa^2 a^3}}{2 g_1^2} \nabla H_1. \quad (2.131)$$

Forța \bar{F}_{m_2} ia forma:

$$\bar{F}_{m_2} = \mu_0 M_0 C \bar{I}_2 = \frac{3\sqrt{\kappa} a}{8 H_1} \mu_0 M \nabla H_1 = \frac{3\sqrt{\kappa} v}{8} \mu_0 (M_0 - M_1) \nabla H_1 \quad (2.132)$$

unde s-a ținut cont de relația (2.123) și s-a scos în evidență volumul sferei.

Deci:

$$\bar{F}'_m = \bar{F}_{m_1} + \bar{F}_{m_2} = - \frac{3\sqrt{\kappa} v}{8} \mu_0 M_1 \nabla H_1. \quad (2.133)$$

Se calculează în continuare primul termen \bar{F}''_m ținându-se seama de relația (2.123):

$$\begin{aligned} \bar{F}''_m &= - \frac{\mu_0}{2} \oint_{\Sigma} M_n^2 d\bar{s} = - \frac{\mu_0}{2} \oint_{\Sigma} [(\bar{M}_0 \cdot \bar{u}_3)(1 - \frac{C}{H})]^2 d\bar{s} = \\ &= - \frac{\mu_0 M_0^2}{2} \oint_{\Sigma} [(\frac{H}{H} \cdot \bar{u}_3)(1 - \frac{C}{H})]^2 d\bar{s} = \\ &= - \frac{\mu_0 M_0^2}{2} \oint_{\Sigma} \left(\frac{y \sin\theta \cos\varphi + x \sin\theta \sin\varphi}{g'} \right)^2 \left(1 - \frac{C}{R g'} \right)^2 d\bar{s} = \\ &= - \frac{\mu_0 M_0^2}{2} \oint_{\Sigma} (y \sin\theta \cos\varphi + x \sin\theta \sin\varphi)^2 \left(\frac{1}{g'} - \frac{C}{R g'^2} \right)^2 d\bar{s}. \end{aligned} \quad (2.134)$$

Se dezvoltă în serie funcția $f(g')$ de sub integrală și se reține primii termeni:

$$\begin{aligned} f(g') &= \left(\frac{1}{g'} - \frac{C}{R g'^2} \right)^2 \approx f(g'_1) + \frac{x-x_1}{R} \frac{\partial f}{\partial g'_1} \frac{x_1}{g'_1} \Big|_{g'_1=g'_1} + \frac{y-y_1}{R} \frac{\partial f}{\partial g'_1} \frac{y_1}{g'_1} \Big|_{g'_1=g'_1} \\ f(g') &\approx f(g'_1) + (ax_1 \cos\varphi + ay_1 \sin\varphi) \cdot \frac{1}{g'_1} \frac{\partial f}{\partial g'_1} \Big|_{g'_1=g'_1} \end{aligned} \quad (2.135)$$

Se obține în final, cu $\left. \frac{\partial f}{\partial \varrho_1} \right|_{\varrho_1 = \varrho_1} = -\frac{2}{\varrho_1^{13}} \left(1 - \frac{c}{k\varrho_1}\right)^3$, expresia:

$$f(\varrho_1) = \frac{1}{\varrho_1^{12}} \left(1 - \frac{c}{k\varrho_1}\right)^2 - (x_1 \cos \varphi + y_1 \sin \varphi) \frac{2a}{\varrho_1^{14}} \left(1 - \frac{c}{k\varrho_1}\right)^3. \quad (2.136)$$

Si deci forța \vec{F}_m devine:

$$\begin{aligned} \vec{F}_m'' &= -\frac{\mu_0 M_0^2}{2} \cdot \frac{1}{\varrho_1^{12}} \left(1 - \frac{c}{k\varrho_1}\right)^2 \oint_{\Sigma} (y \sin \theta \cos \varphi + x \sin \theta \sin \varphi) \left[1 - \right. \\ &\quad \left. - (x_1 \cos \varphi + y_1 \sin \varphi) \frac{2a}{\varrho_1^{12}} \left(1 - \frac{c}{k\varrho_1}\right)\right] d\vec{s}. \end{aligned} \quad (2.137)$$

Integrata din relație (2.137) se descompune după cele trei axe și după calcule rezultă relația:

$$\vec{F}_m'' = \frac{2\mathcal{J}}{128} v_s \mu_0 \frac{M_1^3}{M_0} \frac{K^2}{H_1^2} \left(\vec{\varrho}_1^{-1} + \frac{2}{H_1^2} \nabla H_1^2\right) \quad (2.138)$$

unde M_1 este valoarea corespunzătoare lui $1/H_1$ din figura 2.6.

Forța rezultantă care acționează asupra sferei nemagnetice, imersate în lichidul magnetic, cînd se lucrează pe porțiunea saturată a curbei de magnetizare, este:

$$\begin{aligned} \vec{F} &= \vec{F}_a + \vec{F}_g + \vec{F}_m' + \vec{F}_m'' \\ &= -\varrho_L v_s g \vec{u}_x + \varrho_c v_s g \vec{u}_x - \frac{3}{8} \mathcal{J} v_s \mu_0 M_1 \nabla H_1 + \\ &\quad + \frac{2\mathcal{J}}{128} v_s \mu_0 \frac{M_1^3}{M_0} \frac{K^2}{H_1^2} \left(\vec{\varrho}_1^{-1} + \frac{2 \nabla H_1^2}{H_1^2}\right) \end{aligned} \quad (2.139)$$

Iacă se ține seama de componentele gradientului cîmpului magnetic și se face aproximația $(\nabla H_1^2 / H_1^2) = 0$, forța rezultantă

ia forma:

$$\begin{aligned} \vec{F} = v_s \left\{ g \left[(\rho_c - \rho_l) + \frac{3\mu_0 M_1 K x_1}{8g} \left(\frac{M_1^2 K}{M_0 H_1^2} - \frac{1}{S_1^2} \right) \right] \vec{u}_x + \right. \\ \left. + \frac{3\mu_0 M_1 K}{8} \left(\frac{M_1^2 K}{M_0 H_1^2} - \frac{1}{S_1^2} \right) \vec{u}_y \right\} \end{aligned} \quad (2.140)$$

De aici rezultă că densitatea aparentă a lichidului magnetic are expresia:

$$\rho_{al} = \rho_l + \frac{3\mu_0 M_1 K}{8g} \left(\frac{1}{S_1^2} - \frac{M_1^2 K}{M_0 H_1^2} \right) x_1 \quad (2.141)$$

Cap. 3. CIMPURI MAGNETICE FOLOSITE LA SEPARATOARE

Separarea particulelor nemagnetice, avînd densități diferite, cu ajutorul separatoarelor magnetofluidice a devenit în scurt timp, așa cum arată rezultatele cercetărilor întreprinse în ultimii ani în numeroase țări cu industrie avansată [47, 48, 49, 50], o metodă deosebit de promițătoare.

Separatoarele cu fluid magnetic se bazează pe posibilitatea de modificare în limite largi a forței de levitație magnetofluidică de ordinul I (2.79), atât prin magnetizația de saturație a lichidului, cît și prin intensitatea și gradientul cîmpului magnetic dintre piesele polare. Pornind de la acest principiu, începînd din anul 1969, au fost propuse și realizate mai multe tipuri constructive de separatoare de acest fel, care pot fi grupate după modelul de funcționare (de flux continuu sau secvențial), forma pieselor polare, respectiv a celei de separare, numărul de perechi de piese polare, respectiv de straturi magnetofluidice, numărul de fracțiuni separate la o singură trecere a amestecului, starea de mișcare a fluidului magnetic etc. Astfel de exemplu există separatorul tip Kaiser cu levitare diferențială sau cu levitare secvențială,

modelul Rosensweig cu antrenare mecanică a amestecului pe orizontală, separatorul în flux continuu tip Rosensweig cu întrefier tip pană divergentă și cu stratul magnetofluidic înclinat față de orizontală, separatorul cu mai multe straturi magnetofluidice cu sortare pe verticală, separatorul tip Heimers - Khalafalla cu deviere laterală și funcționare în flux continuu.

În cazul acestor modele, descrise detaliat în [51, 52], în timpul cât se realizează separarea granulelor amestecului după densități, fluidul magnetic este menținut în celula de separare de câmp magnetic creat de un electromagnet sau un magnet permanent.

Există și o serie de modele în care amestecul este transportat de lichidul de lucru, într-un canal de separare. Deoarece durata acțiunii forței de levitație condiționează eficiența separării, lungimea canalului devine un parametru geometric important. O mărire a lungimii canalului permite trecerea lichidului cu o viteză mai ridicată prin separator, idee care a fost valorificată în cadrul unui model realizat la C.F.T. Iași [51, 52, 53], prevăzut cu canal de lucru introdus în întrefierul toroidal al unui electromagnet în coroană.

Separarea poate fi îmbunătățită prin acțiunea simultană a forței de levitație magnetofluidică cu forța centrifugă în instalații centrifugale [54].

Dacă se urmărește o separare eficientă a unui amestec cu două componente cu densități apropiate, geometria polilor, respectiv distribuția câmpului din zona activă a întrefierului trebuie să asigure o densitate aparentă cât mai uniformă a stratului magnetofluidic. Această condiție se poate realiza în separatoarele cu piese polare cu profil hiperbolic [48, 49, 50, 19].

Separatoarele magnetofluidice cu piese polare cu profil exponențial prezintă avantajul că în regiunea activă gradientul intensității câmpului magnetic este unidirecțional.

În prezentul capitol autorul a studiat câmpul magnetic în cazul separatoarelor (ideale) cu poli infiniti și (reale) cu poli finiți, profilul polilor fiind hiperbolic și exponențial. Se demonstrează că un câmp magnetic al cărui gradient să fie constant și să aibă o orientare unidirecțională nu există. S-a stabilit o configurație de poli la care gradientul intensității câmpului magnetic este unidirecțional dar variază exponențial în modul.

Pentru studiul câmpului în cazul poliilor cu profil finit au fost realizate două modele pe hîrtie electroconductoare.

S-au conceput programe pentru calculul potențialului magnetic, al modulului intensității câmpului magnetic și al modulului gradientului intensității câmpului magnetic, în orice punct al spațiului dintre poli separator, utilizînd metoda diferențelor fișite.

S-au calculat traiectoriile particulelor prîntre poli separatoroarelor, rezolvarea ecuațiilor diferențiale neliniare efectuîndu-se numeric, prin metoda Runge - Kutta Gill, cu ajutorul mini-calculatorului COBAL 4021.

3.1. Câmpul magnetic la separatoarele cu piese polare cu profil hiperbolic

Pentru a se obține la un separator magnetofluidic un gradient al intensității câmpului magnetic constant, se utilizează de obicei poli avînd, în secțiune, forma unor hiperbole echilaterale raportate la bisectoare [19, 47] (figura 3.1).

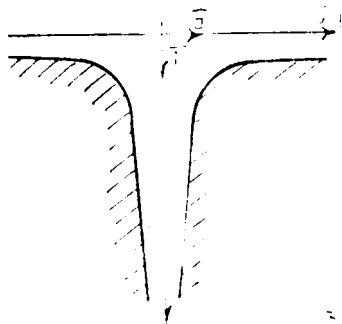


Fig. 3.1.

Potențialul magnetic V_H al unui câmp magnetic plan paralel trebuie să satisfacă în acest caz o ecuație de forma:

$$V_H = K xy \quad (3.1)$$

unde planul $y = 0$ este planul de simetrie al separatorului, x este axa de simetrie a separatorului în planul $z = 0$ iar K este o constantă.

Intensitatea câmpului magnetic în acest caz este:

$$\vec{H} = -\left(\frac{\partial V_H}{\partial x} \vec{i} + \frac{\partial V_H}{\partial y} \vec{j} + \frac{\partial V_H}{\partial z} \vec{k}\right) = -K(y\vec{i} + x\vec{j}), \quad (3.2)$$

iar modulul intensității câmpului magnetic este:

$$H = |\vec{H}| = K(x^2 + y^2)^{1/2} = K r, \quad (3.3)$$

$\vec{r} = r \vec{u}_r$ fiind vectorul de poziție.

Rezultă imediat și gradientul câmpului magnetic:

$$\text{grad } H = K \bar{u}_r, \quad (3.4)$$

adică gradientul câmpului are modulul constant, $|\text{grad } H| = K$, însă orientarea sa este variabilă, coincidind cu aceea a vectorului de poziție (figură 3.2).

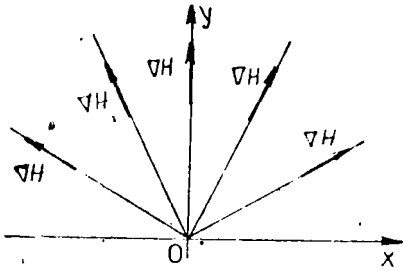


Fig. 3.2.

În spațiul de coordonate $x \gg y$ se admite [19] că:

$$\begin{aligned} (\text{grad } H)_x &= \frac{\partial H}{\partial x} = \frac{Kx}{\sqrt{x^2 + y^2}} = \\ &= \frac{K}{\sqrt{1 + \left(\frac{y}{x}\right)^2}} \approx K \text{ și} \end{aligned} \quad (3.5)$$

$$(\text{grad } H)_y = \frac{\partial H}{\partial y} = \frac{-Ky}{\sqrt{x^2 + y^2}} \approx K \frac{y}{x}, \text{ deci}$$

$$|\text{grad } H| = |(\text{grad } H)_x \bar{i} + (\text{grad } H)_y \bar{j}| \approx K. \quad (3.6)$$

În acest caz câmpul magnetic poate fi produs de poli cu profil hiperbolic infinit lung (figura 3.3) a căror ecuații rezultă din relația (3.1). Dacă se consideră că un pol are potențialul magnetic V_H atunci ecuația sa este:

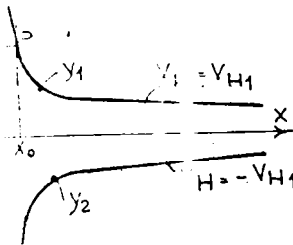


Fig. 3.3.

$$xy = V_H / K; \quad (3.7)$$

Ecuația potențialului magnetic al celui de al doilea este $-V_{H1}$, ecuația sa are forma:

$$xy = -V_H / K. \quad (3.7')$$

Constanta K rezultă impunând condiția ca punctul de coordonate x_0, y_0 să aparțină polului. Ecuațiile care descriu profilul polilor hiperbolici sînt:

$$xy = x_0 y_0, \text{ respectiv} \quad (3.8)$$

$$xy = -x_0 y_0. \quad (3.9)$$

Cîmpul magnetic din întrefierul pieselor polare cu profil hiperbolic infinit poate fi calculat analitic în fiecare punct cu ajutorul relației (3.2) și, de asemenea, modulul său cu relația (3.3). În ipoteza simplificatoare considerată ($x \gg y$) modulul gradientului intensității cîmpului magnetic rezultă constant $|\text{grad } H| = K = V_H / x_0 y_0$.

S-au realizat programe pentru calculul în orice punct al spațiului dintre poli a potențialului magnetic, modulului intensității cîmpului magnetic și a modulului gradientului intensității cîmpului magnetic.

3.7. Cîmpul magnetic la separatoarele magnetofluidice cu piese polare cu profil exponențial infinit

În continuare se pune problema determinării potențialului magnetic scalar V_H al intensității cîmpului magnetic \vec{H} pentru care:

$$\text{grad } H = \varphi_1(x,y)\vec{I} + \varphi_2(x,y)\vec{J}, \quad (3.10)$$

unde φ_1 și φ_2 sînt funcții de x și y date care satisfac relația:

$$\frac{\partial \varphi_1}{\partial y} = \frac{\partial \varphi_2}{\partial x}. \quad (3.11)$$

Se notează cu \vec{u} versorul lui \vec{H} , din legea fluxului magnetic $\text{div}(\mu_0 \vec{H}) = 0$, rezultă $\text{div } \vec{H} = 0$ și se poate scrie:

$$\text{div } \vec{H} = \text{grad } H \cdot \vec{u} + H \text{ div } \vec{u} = 0, \quad (3.12)$$

în care versorul \vec{u} are forma $\vec{u} = \cos \alpha \vec{I} + \sin \alpha \vec{J}$, $\alpha(x,y)$ fiind unghiul pe care îl fac versorii \vec{u} și \vec{I} (figura 3.4). Ținînd seama de (3.10) relația (3.12) se poate scrie în forma:

$$\varphi_1 \cos \alpha + \varphi_2 \sin \alpha + H \left(-\sin \alpha \frac{\partial \alpha}{\partial x} + \cos \alpha \frac{\partial \alpha}{\partial y} \right) = 0 \quad (3.13)$$

sau:

$$\sin \alpha \frac{\partial \alpha}{\partial x} - \cos \alpha \frac{\partial \alpha}{\partial y} = \frac{\varphi_1 \cos \alpha + \varphi_2 \sin \alpha}{H}.$$

$$(3.14)$$

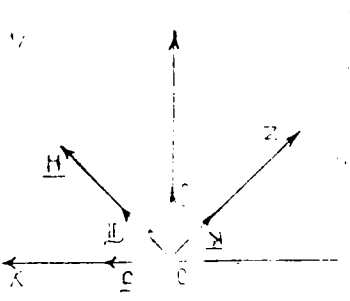


Fig. 3.4.

Teorema lui Ampère, rot $\vec{H} = 0$, conduce la egalitatea:

$$-\vec{u} \times \text{grad } H + H \text{ rot } \vec{u} = 0,$$

sau:

$$-(\varphi_2 \cos \alpha - \varphi_1 \sin \alpha) \vec{k} + H(\cos \alpha \frac{\partial \alpha}{\partial x} + \sin \alpha \frac{\partial \alpha}{\partial y}) \vec{k} = 0, \quad (3.15)$$

de unde rezultă:

$$\cos \alpha \frac{\partial \alpha}{\partial x} + \sin \alpha \frac{\partial \alpha}{\partial y} = \frac{\varphi_2 \cos \alpha - \varphi_1 \sin \alpha}{H}. \quad (3.16)$$

Din ecuațiile (3.14) și (3.16) rezultă mărimile $\frac{\partial \alpha}{\partial x}$ și $\frac{\partial \alpha}{\partial y}$:

$$\frac{\partial \alpha}{\partial x} = \frac{\varphi_2(x,y)}{H}, \quad \frac{\partial \alpha}{\partial y} = -\frac{\varphi_1(x,y)}{H}. \quad (3.17)$$

și

$$\frac{\partial^2 \alpha}{\partial y \partial x} = \frac{\partial}{\partial y} \left(\frac{\varphi_2}{H} \right) = \frac{\frac{\partial \varphi_2}{\partial y} H - \varphi_2 \frac{\partial H}{\partial y}}{H^2}, \quad (3.18)$$

$$\frac{\partial^2 \alpha}{\partial x \partial y} = \frac{\partial}{\partial x} \left(-\frac{\varphi_1}{H} \right) = -\frac{H \frac{\partial \varphi_1}{\partial x} - \varphi_1 \frac{\partial H}{\partial x}}{H^2}.$$

Egalitățile (3.18) evidențiază faptul că funcțiile φ_1 și φ_2 mai trebuie să îndeplinească, pe lângă relația (3.11) și condiția:

$$\frac{\partial \varphi_1}{\partial x} + \frac{\partial \varphi_2}{\partial y} = \frac{\varphi_1^2 + \varphi_2^2}{H} \quad (3.19)$$

unde s-a ținut seama că $\frac{\partial H}{\partial x} = \varphi_1$ și $\frac{\partial H}{\partial y} = \varphi_2$. Dacă aceste ultime două egalități se înlocuiesc în relația (3.19) se obține ecuația pe care o satisface modulul vectorului intensitate a câmpului magnetic H , câmpul fiind laplacian și plan paralel:

$$\frac{\partial^2 H}{\partial x^2} + \frac{\partial^2 H}{\partial y^2} = \frac{1}{H} \cdot \left[\left(\frac{\partial H}{\partial x} \right)^2 + \left(\frac{\partial H}{\partial y} \right)^2 \right]. \quad (2.20)$$

Dacă se ține seama de relațiile (3.17) se poate scrie:

$$d\alpha = \frac{\varphi_2}{H} dx - \frac{\varphi_1}{H} dy \quad (3.21)$$

de unde rezultă unghiul $\alpha(x, y)$:

$$\alpha = \int_{x_0, y_0}^{x, y_0} \frac{\varphi_2}{H} dx - \int_{x_0, y_0}^{x, y} \frac{\varphi_1}{H} dy =$$

$$= \int_{x_0, y_0}^{x, y_0} \frac{\partial}{\partial y}(\ln H) dx - \int_{x_0, y_0}^{x, y} \frac{\partial}{\partial x}(\ln H) dy, \quad (3.22)$$

Modelul intensității câmpului magnetic H poate fi calculat cu relația:

$$H = \int_{x_0, y_0}^{x, y_0} \varphi_1(x, y) dx + \int_{x_0, y_0}^{x, y} \varphi_2(x, y) dy. \quad (3.23)$$

Dacă se cunoaște α și H rezultă potențialul magnetic scalar V_H , urmînd calculele:

$$-\frac{\partial V_H}{\partial x} = H \cos\alpha \quad \text{și} \quad -\frac{\partial V_H}{\partial y} = H \sin\alpha, \quad (3.24)$$

deci:

$$-dV_H = H \cos\alpha dx + H \sin\alpha dy;$$

de unde:

$$-V_H = \int_{x_0, y_0}^{x, y_0} H \cos\alpha dx + \int_{x_0, y_0}^{x, y} H \sin\alpha dy. \quad (3.25)$$

Concluziile care se pot trage din cele prezentate sînt următoarele:

a) Pentru un câmp magnetic laplacion și plan paralel funcțiile

$\Psi_1(x,y)$ și $\Psi_2(x,y)$ nu pot fi luate arbitrar, ci ele trebuie să satisfacă cele două condiții menționate, (3.11) și (3.19). Ultima se verifică prin calculul prealabil al lui H cu relația (3.23). Formulele (3.22) și (3.25) permit apoi determinarea potențialului magnetic scalar și deci configurația polilor.

Este de menționat faptul că un câmp magnetic care să satisfacă proprietatea, de dprit la un separator magnetic, grad $H = c\vec{I}$, c fiind o constantă, nu poate fi realizat. În acest caz $\Psi_1 = 0$ și $\Psi_2 = c$ și egalitatea (3.19) nu mai poate fi îndeplinită.

b) Dacă nu se impune forma câmpului vectorial grad H , atunci se caută soluții ale ecuației (3.20) determinându-se cu relația (3.22) funcția $\alpha = \alpha(x,y)$ și cu relația (3.25) potențialul magnetic scalar V_H și deci configurația geometrică a polilor.

În continuare se prezintă o metodă, care are la bază separarea variabilelor, pentru determinarea unor soluții particulare ale ecuației (3.20) și se studiază un caz care prezintă importanță pentru separatoarele magnetofluidice.

Pentru a integra ecuația (3.20) se încearcă soluția în care modulul intensitate a câmpului magnetic H se poate scrie ca un produs de două funcții, fiecare funcție depinzând de o singură variabilă:

$$H(x,y) = f_1(x) \cdot f_2(y) \quad (3.26)$$

Introducând încercarea de soluție în ecuație se obține:

$$\frac{f_1'' f_1 - f_1'^2}{f_1^2} = - \frac{f_2'' f_2 - f_2'^2}{f_2^2} \quad (3.27)$$

Deoarece membrul stâng al egalității este funcție numai de x iar cel drept depinde doar de y , rezultă că ei sînt egali cu o aceeași constantă K :

$$\frac{f_1'' f_1 - f_1'^2}{f_1^2} = K, \quad \frac{f_2'' f_2 - f_2'^2}{f_2^2} = -K. \quad (3.28)$$

Dacă se efectuează schimbarea de variabilă $f_1'/f_1 = g(x)$, prima ecuație devine $g'(x) = 0$, adică $g(x) = Kx + C_1$ și deci:

$$\frac{f_1'(x)}{f_1(x)} = Kx + C_1 \quad (3.29)$$

Integrînd din nou ultima egalitate se obține:

$$\ln f_1(x) = K \frac{x^2}{2} + C_1 x + \ln C_2, \quad (C_2 > 0) \quad (3.30)$$

sau

$$f_1(x) = C_2 e^{K \frac{x^2}{2} + C_1 x} \quad (3.31)$$

Analog, ecuația a doua are soluția:

$$f_2(y) = C_3 e^{-K \frac{y^2}{2} + C_4 y}, \quad (C_3 > 0) \quad (3.32)$$

Soluția particulară căutată a ecuației (3.20) este deci:

$$H = C e^{\frac{K}{2}(x^2 - y^2) + C_1 x + C_4 y}, \quad (3.33)$$

unde cu C s-a notat constanta $C = C_2 C_3 > 0$.

Pentru acest caz, componentele vectorului grad H au expresiile:

$$\frac{\partial H}{\partial x} = \varphi_1(x, y) = C(Kx + C_1) e^{\frac{K}{2}(x^2 - y^2) + C_1 x + C_4 y}, \quad (3.34)$$

și deci:

$$\frac{\partial H}{\partial y} = \varphi_2(x, y) = C(-Ky + C_4) e^{\frac{K}{2}(x^2 - y^2) + C_1 x + C_4 y} \quad (3.35)$$

și deci:

$$\text{grad } H = C(Kx + C_1)\vec{i} + (-Ky + C_4)\vec{j} e^{\frac{K}{2}(x^2 - y^2) + C_1 x + C_4 y} \quad (3.36)$$

Unghiul $\alpha = \alpha(x, y)$ pe care îl formează vectorul \vec{H} cu axa ox se calculează cu relația (3.22):

$$\alpha(x, y) = \int_{x_0, y_0}^{x, y} (-Ky + C_4) dx - \int_{x_0, y_0}^{x, y} (Kx + C_1) dy \quad (3.37)$$

$$\alpha(x, y) = -Kxy + C_4 x - C_1 y + (Kx_0 y_0 - C_4 x_0 + C_1 y_0), \quad (3.38)$$

termenul din paranteză fiind o constantă, notată în continuare cu C_5 .

Din relația (3.37) rezultă că un câmp grad H unidirecțional, paralel cu axa ox se obține dacă $K = C_4 = 0$, de unde:

$$\text{grad } H = C_6 e^{C_1 x} \vec{i}, \quad (3.39)$$

adică,

$$H = C e^{C_1 x} \quad \text{și} \quad \alpha = -C_1 y + C_5, \quad (3.40)$$

în care C_6 este o constantă ($C_6 = C \cdot C_1$).

În acest caz expresia lui H reprezintă soluția generală a ecuației (3.20), când H este funcție numai de x , adică a ecuației:

$$H \frac{\partial^2 H}{\partial x^2} = \left(\frac{\partial H}{\partial x} \right)^2. \quad (3.20')$$

Dacă $Y = 0$ reprezintă o linie echipotențială magnetic, atunci din relația (3.40) rezultă:

$$C_5 = \frac{\pi}{2} \quad \text{și deci} \quad \alpha = -C_1 y + \frac{\pi}{2}.$$

Potențialul magnetic scalar se determină cu relația (3.25):

$$\begin{aligned} -V_H &= \int_{x_0, y_0}^{x, y_0} C e^{C_1 x} \cos \alpha dx + \int_{x, y_0}^{x, y} C e^{C_1 x} \sin \alpha dy = \\ &= \int_{x_0, y_0}^{x, y_0} C e^{C_1 x} \sin C_1 y dx + \int_{x, y_0}^{x, y} C e^{C_1 x} \cos C_1 y dy = \\ &= \frac{C}{C_1} e^{C_1 x} \sin C_1 y - \frac{C}{C_1} e^{C_1 x_0} \sin C_1 y_0. \end{aligned} \quad (3.41)$$

Constanta $C_6 = \frac{C}{C_1} e^{C_1 x_0} \sin C_1 y_0$ se poate găsi impunând condiția ca la $y = 0$ potențialul magnetic să fie nul; rezultă $C_6 = 0$.

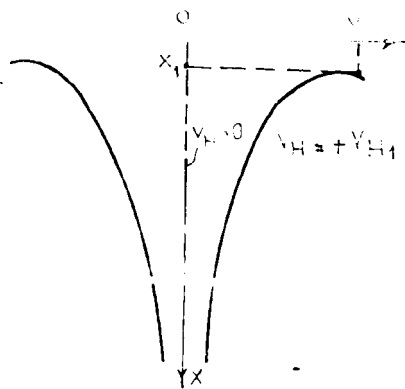
Dacă se face relația $C_7 = -C/C_1$ atunci potențialul magnetic devine:

$$V_H = C_7 e^{C_1 x} \sin C_1 y \quad (3.42)$$

Ecuația unei linii echipotențiale de potențial V_{H_1} este:

$$e^{C_1 x} \sin C_1 y = V_{H_1}/C_7. \quad (3.43)$$

Valoarea extremă a acestei funcții $y = y(x)$ se obține prin anularea derivatei,



$$C_1 e^{C_1 x} \frac{dx}{dy} \sin C_1 y +$$

$$+ e^{C_1 x} C_1 \cos C_1 y = 0, \text{ și este}$$

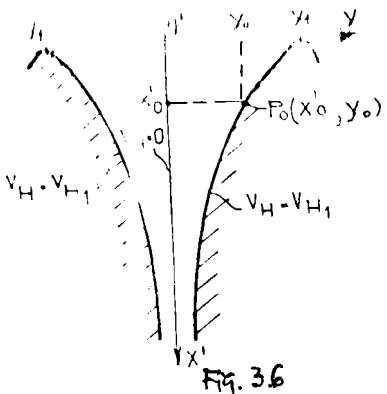
$$y_1 = \pi/2C_1, \text{ careia îi corespunde}$$

$$x_1 = \frac{1}{C_1} \ln \frac{C_7}{V_{H1}} \text{ (fig. 3.5).}$$

Fig. 3.5. In acest caz potențialul magnetic scalar ia forma:

$$V_H = V_{H1} e^{C_1(x - x_1)} \sin C_1 y. \quad (3.44)$$

Iste mai avantajos să se opereze o translație a axei ox astfel încât o 'x' să fie tangentă punctului de extrem (fig. 3.6).



Ecuațiile liniilor echipotențiale oarecare, de potențial magnetic V_H , în noul sistem de coordonate, are expresia:

$$V_H = V_{H1} e^{C_1 x'} \sin C_1 y. \quad (3.44')$$

In figura 3.6 sînt prezentate trei linii echipotențiale: $V_H = V_{H1}$,

$$V_H = 0 \text{ și } V_H = -V_{H1}.$$

Ecuațiile liniilor echipotențiale $V_H = \pm V_{H1}$, care reprezintă de fapt ecuațiile polilor separatorului, sînt:

$$y_{1,2}(x) = \pm \frac{1}{C_1} \arcsin (e^{-C_1 x}). \quad (3.45)$$

Intensitatea cîmpului magnetic în acest sistem are forma:

$$\vec{H} = -\frac{\partial V_{H1}}{\partial x} \vec{i} - \frac{\partial V_{H1}}{\partial y} \vec{j} = -V_{H1} C_1 e^{C_1 x'} (\sin C_1 \vec{i} + \cos C_1 \vec{j}). \quad (3.46)$$

iar modulul său:

$$|\vec{H}| = H = v_{H_1} C_1 e^{C_1 x'} \quad (3.47)$$

Gradientul lui H devine:

$$\text{grad } H = v_{H_1} C_1^2 e^{C_1 x'} \vec{I} \quad (3.48)$$

În concluzie, configurația polilor reprezentată în figura 3.6 generează în întrefier un câmp magnetic avînd grad H unidirecțional și paralel cu axa ox' .

Constanta de integrare C_1 se obține impunînd condiția ca punctul $P_0(x'_0, y'_0)$ să aparțină polului, a cărui potențial magnetic scalar este v_{H_1} (fig. 3.6). Se obține ecuația:

$$e^{C_1 x'_0} \sin C_1 y'_0 = 1. \quad (3.49)$$

Ecuația transcendentă în C_1 se poate rezolva considerînd funcțiile $f_1(C) = \sin C y'_0$ și $f_2(C) = e^{-C x'_0}$ (fig. 3.7).

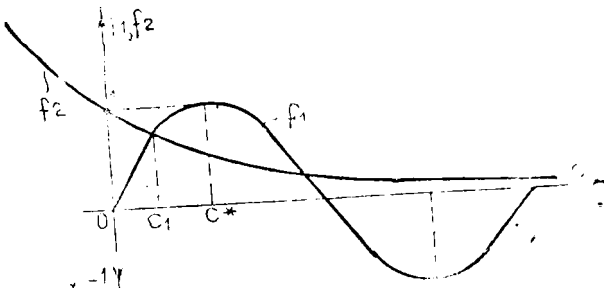


Fig. 3.7.

Valoarea constantei C_1 se găsește la intersecția celor două funcții în intervalul $C_1 \in (0, C^*)$, unde $C^* = \frac{\pi}{2y'_0}$ este extremitul funcției f_1 .

Rezolvarea se face numeric impunînd condiția ca $|f_1 - f_2| \leq \varepsilon$,

ε fiind ales în funcție de precizia dorită.

Au fost realizate programe pentru calculul potențialului magnetic, a modulului intensității câmpului magnetic și a modului gradientului intensității câmpului magnetic, în orice punct al spațiului dintre poli cu profil hiperbolic.

3.3. Trajectoriile particulelor între poli de extensiune infinită

3.3.1. Trajectoriile particulelor între poli unui separator cu piese polare cu profil hiperbolic infinit

Se consideră o particulă nemagnetică, de formă sferică,

introdusă în lichidul magnetic dintre polii unui separator. Raza particulei se notează cu R_0 , densitatea lichidului cu ρ_L , cea a substanței particulei cu ρ_α , vîscozitatea lichidului cu η și cu M_0 magnetizația sa de saturație. Presupunînd că pretutindeni lichidul este saturat, mișcarea particulei în lichid este descrisă de ecuația:

$$\frac{4\pi R_0^3}{3} \rho_\alpha \frac{d^2 \vec{r}}{dt^2} = \frac{4\pi R_0^3}{3} (\rho_\alpha - \rho_L) \vec{g} - \mu_0 M_0 \frac{4\pi R_0^3}{3} \text{grad H} - 6\pi R_0 \eta \frac{d\vec{r}}{dt} - \frac{2}{3} \pi R_0^3 \rho_L \frac{d^2 \vec{r}}{dt^2}, \quad (3.50)$$

în care \vec{r} reprezintă vectorul de poziție al particulei.

Frimul termen din membrul drept al ecuației reprezintă rezultanta dintre forța gravitațională și cea a lui Arhimede, care se exercită asupra particulei sferice, al doilea termen este forța de natură magnetică iar ultimii doi termeni sînt forțe de tip Stokes.

Împărțind cu $4\pi R_0^3/3$ și regrupînd termenii se obține:

$$\frac{d^2 \vec{r}}{dt^2} + \frac{9\eta}{2 R_0^2 (\rho_\alpha + 0,5 \rho_L)} \cdot \frac{d\vec{r}}{dt} + \left(\frac{\mu_0 M_0}{\rho_\alpha + 0,5 \rho_L} \right) \text{grad H} + \frac{\rho_L - \rho_\alpha}{\rho_\alpha + 0,5 \rho_L} \vec{g} = 0. \quad (3.51)$$

Ecuația vectorială (3.51) se poate scrie pe componente:

$$\frac{d^2 x}{dt^2} + K_1 \frac{dx}{dt} + K_2 [\text{grad H}] + K_3 = 0; \quad (3.52)$$

$$\frac{d^2 z}{dt^2} + K_1 \frac{dz}{dt} = 0, \quad (3.53)$$

unde s-au notat în felul următor constantele:

$$K_1 = \frac{9\eta}{2 R_0^2 (\rho_\alpha + 0,5 \rho_L)}, \quad K_2 = \frac{\mu_0 M_0}{\rho_\alpha + 0,5 \rho_L}, \quad K_3 = \frac{\rho_L - \rho_\alpha}{\rho_\alpha + 0,5 \rho_L} g, \quad (3.54)$$

sistemul de coordonate fiind reprezentat în fig. 3.8.

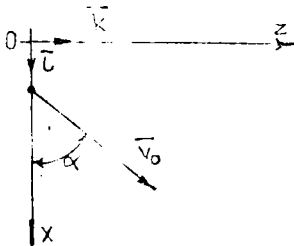
Condițiile inițiale pentru rezolvarea sistemului de ecuații diferențiale (3.52) și (3.53) sînt:

la $t = 0$, $x(0) = x_0$

$$\left(\frac{dx}{dt}\right)_{(0)} = v_x(0) = v_0 \cos \alpha \quad (3.55)$$

$$\left(\frac{dz}{dt}\right)_{(0)} = v_z(0) = v_0 \sin \alpha,$$

în care \vec{v}_0 reprezintă viteza de intrare a particulei în lichidul magnetic iar unghiul α este format de vectorii \vec{I} și \vec{v}_0 .



În cazul polilor cu profil hiperbolic $|grad H|$ este o constantă și cu notația $K_2 grad H + K_3 = K_4$ ecuația (3.52) devine:

$$\frac{d^2x}{dt^2} + K_1 \frac{dx}{dt} + K_4 = 0. \quad (3.56)$$

Fig. 3.8. Ecuațiile (3.56) și (3.53) se pot integra ținând cont de condițiile inițiale (3.55) și se obțin soluțiile:

$$x(t) = \left(\frac{K_4}{K_1^2} + \frac{v_0 \cos \alpha}{K_1} \right) (1 - e^{-K_1 t}) + \left(-\frac{K_4}{K_1} \right) t; \quad (3.57)$$

$$z(t) = \frac{v_0 \sin \alpha}{K_1} (1 - e^{-K_1 t}). \quad (3.58)$$

Dacă se calculează, cu pasul în timp dorit, în același moment t_K , perechi de valori x_K și z_K , se poate obține traiectoria $x = x(z)$ a particulei între polii unui separator cu piese polare cu profil hiperbolic infinit.

În acest scop s-a realizat un program, denumit IHH, care permite calculul traiectoriei și trasarea ei calitativă.

Datele de intrare sînt afișate pe un videoformat ce conține: densitatea particulei (ROA), densitatea lichidului magnetic (ROL), raza particulei (RP), vîscozitatea lichidului magnetic, magnetizația sa de saturație (m_0), viteza inițială (v_0), unghiul de pătrundere (ALFA) și direcției particulei și trei valori ale potențialului magnetic (v_H) al polului.

Tabelele și graficele conțin deci trei curbe pentru aceleași

condiții dar pentru valori diferite ale potențialului magnetic (fig. 3.9).

S-au obținut familii de curbe pentru diverse valori ale parametrilor (ρ_0), (KP), (M_0), (V_0) și (α).

În figura 3.9 se observă că o particulă din cupru ($\rho_0 = 8\ 900\ \text{kg/m}^3$) cu diametrul de 1 mm, care are o viteză inițială $V_0 = 1\ \text{m/s}$ și pătrunde în lichid sub un unghi $\alpha = 45^\circ$ cade la o distanță $z_1 = 90\ \text{mm}$ respectiv $z_2 = 106\ \text{mm}$ în funcție de valoarea lui V_{H_1} (5 000 și respectiv 10 000 (A)). Dacă potențialul magnetic V_{H_1} ia valoarea de 20 000 (A) particula de cupru este reîntoarsă spre suprafața lichidului magnetic, traiectoria sa avînd alura unei parabole.

3.3.2. Traiectoriile particulelor între polii unui separator cu profil exponențial infinit

În acest caz modulul gradientului intensității cîmpului magnetic este funcție de x (3.47) și ecuația (3.52) devine:

$$\frac{d^2x}{dt^2} + K_1 \frac{dx}{dt} + K_2' e^{C_1 x} + K_3 = 0, \quad (3.59)$$

în care $K_2' = K_2 \cdot V_{H_1} \cdot C_1^2$.

Această ecuație este o ecuație diferențială neliniară de ordinul doi. Rezolvarea ei s-a realizat prin transformarea într-un sistem de ecuații diferențiale neliniare de ordinul întâi. Astfel cu notația $x_1 = \frac{dx}{dt}$ se obține sistemul:

$$\frac{dx_1}{dt} = -K_1 x_1 - K_2' e^{C_1 x} - K_3, \quad (3.60)$$

$$x_1 = \frac{dx}{dt}$$

Sistemul s-a rezolvat cu ajutorul metodei Runge-Kutta de ordinul patru modificată de Gill. S-a utilizat subprogramul LKGS din biblioteca matematică a sistemului de operare MIX V20 a minicalculatorului COBAL 4021.

Sistemul (3.60) se poate scrie în forma:

$$\frac{dx_1}{dt} = f(t, x_1, x), \quad (3.61)$$

$$\frac{dx}{dt} = f(t, x_1).$$

 * DATE DE INTRIRE

DENSITATEA PARTICULEI	: POA	= 11000	
DENSITATEA LICHIDULUI	: POL	1100.00	
PATA PARTICULEI	: PE	= 0.001000	(%)
VELOCITATEA	: VS	0.001000	(M)
MAGNETICITATE DE SATURATIE	: MS	= 0.000	(GAUSS)
VITEZA INITIALA	: VO	1.40	(M/S)
UNGHIIUL DE PATRUNDERE	: ALFA	50.000	(%)

AK1: 0.413001 0.00 0.00000670 0.00 0.110001

POLI HIP.: VAR. ANALITICA (11)

VH (5.10.20) EK61, VC 1.1 Em.3 ALFA-50 GR.

NR	VITIM	PHI	A MID	PHI	Z ANALIT.
1	10.0000	0.000000	0.000000	0.000000	0.000000
2	10.0010	0.000000	0.000000	0.000000	0.000000
3	10.0020	0.000000	0.000000	0.000000	0.000000
4	10.0120	0.072210	0.072210	0.072210	0.072210
5	10.0140	0.075264	0.075264	0.075264	0.075264
6	10.0160	0.078318	0.078318	0.078318	0.078318
7	10.0180	0.081372	0.081372	0.081372	0.081372
8	10.0200	0.084426	0.084426	0.084426	0.084426
9	10.0220	0.087480	0.087480	0.087480	0.087480
10	10.0240	0.090534	0.090534	0.090534	0.090534
11	10.0260	0.093588	0.093588	0.093588	0.093588
12	10.0280	0.096642	0.096642	0.096642	0.096642
13	10.0300	0.099696	0.099696	0.099696	0.099696
14	10.0320	0.102750	0.102750	0.102750	0.102750
15	10.0340	0.105804	0.105804	0.105804	0.105804
16	10.0360	0.108858	0.108858	0.108858	0.108858
17	10.0380	0.111912	0.111912	0.111912	0.111912
18	10.0400	0.114966	0.114966	0.114966	0.114966
19	10.0420	0.118020	0.118020	0.118020	0.118020
20	10.0440	0.121074	0.121074	0.121074	0.121074
21	10.0460	0.124128	0.124128	0.124128	0.124128
22	10.0480	0.127182	0.127182	0.127182	0.127182
23	10.0500	0.130236	0.130236	0.130236	0.130236
24	10.0520	0.133290	0.133290	0.133290	0.133290
25	10.0540	0.136344	0.136344	0.136344	0.136344
26	10.0560	0.139398	0.139398	0.139398	0.139398
27	10.0580	0.142452	0.142452	0.142452	0.142452
28	10.0600	0.145506	0.145506	0.145506	0.145506
29	10.0620	0.148560	0.148560	0.148560	0.148560
30	10.0640	0.151614	0.151614	0.151614	0.151614
31	10.0660	0.154668	0.154668	0.154668	0.154668
32	10.0680	0.157722	0.157722	0.157722	0.157722
33	10.0700	0.160776	0.160776	0.160776	0.160776
34	10.0720	0.163830	0.163830	0.163830	0.163830
35	10.0740	0.166884	0.166884	0.166884	0.166884
36	10.0760	0.169938	0.169938	0.169938	0.169938
37	10.0780	0.172992	0.172992	0.172992	0.172992
38	10.0800	0.176046	0.176046	0.176046	0.176046
39	10.0820	0.179100	0.179100	0.179100	0.179100
40	10.0840	0.182154	0.182154	0.182154	0.182154
41	10.0860	0.185208	0.185208	0.185208	0.185208
42	10.0880	0.188262	0.188262	0.188262	0.188262
43	10.0900	0.191316	0.191316	0.191316	0.191316
44	10.0920	0.194370	0.194370	0.194370	0.194370
45	10.0940	0.197424	0.197424	0.197424	0.197424
46	10.0960	0.200478	0.200478	0.200478	0.200478
47	10.0980	0.203532	0.203532	0.203532	0.203532
48	10.1000	0.206586	0.206586	0.206586	0.206586
49	10.1020	0.209640	0.209640	0.209640	0.209640
50	10.1040	0.212694	0.212694	0.212694	0.212694
51	10.1060	0.215748	0.215748	0.215748	0.215748
52	10.1080	0.218802	0.218802	0.218802	0.218802
53	10.1100	0.221856	0.221856	0.221856	0.221856
54	10.1120	0.224910	0.224910	0.224910	0.224910
55	10.1140	0.227964	0.227964	0.227964	0.227964
56	10.1160	0.231018	0.231018	0.231018	0.231018
57	10.1180	0.234072	0.234072	0.234072	0.234072
58	10.1200	0.237126	0.237126	0.237126	0.237126
59	10.1220	0.240180	0.240180	0.240180	0.240180
60	10.1240	0.243234	0.243234	0.243234	0.243234
61	10.1260	0.246288	0.246288	0.246288	0.246288
62	10.1280	0.249342	0.249342	0.249342	0.249342
63	10.1300	0.252396	0.252396	0.252396	0.252396
64	10.1320	0.255450	0.255450	0.255450	0.255450
65	10.1340	0.258504	0.258504	0.258504	0.258504
66	10.1360	0.261558	0.261558	0.261558	0.261558
67	10.1380	0.264612	0.264612	0.264612	0.264612
68	10.1400	0.267666	0.267666	0.267666	0.267666
69	10.1420	0.270720	0.270720	0.270720	0.270720
70	10.1440	0.273774	0.273774	0.273774	0.273774
71	10.1460	0.276828	0.276828	0.276828	0.276828
72	10.1480	0.279882	0.279882	0.279882	0.279882
73	10.1500	0.282936	0.282936	0.282936	0.282936
74	10.1520	0.285990	0.285990	0.285990	0.285990
75	10.1540	0.289044	0.289044	0.289044	0.289044
76	10.1560	0.292098	0.292098	0.292098	0.292098
77	10.1580	0.295152	0.295152	0.295152	0.295152
78	10.1600	0.298206	0.298206	0.298206	0.298206
79	10.1620	0.301260	0.301260	0.301260	0.301260
80	10.1640	0.304314	0.304314	0.304314	0.304314
81	10.1660	0.307368	0.307368	0.307368	0.307368
82	10.1680	0.310422	0.310422	0.310422	0.310422
83	10.1700	0.313476	0.313476	0.313476	0.313476
84	10.1720	0.316530	0.316530	0.316530	0.316530
85	10.1740	0.319584	0.319584	0.319584	0.319584
86	10.1760	0.322638	0.322638	0.322638	0.322638
87	10.1780	0.325692	0.325692	0.325692	0.325692
88	10.1800	0.328746	0.328746	0.328746	0.328746
89	10.1820	0.331800	0.331800	0.331800	0.331800
90	10.1840	0.334854	0.334854	0.334854	0.334854
91	10.1860	0.337908	0.337908	0.337908	0.337908
92	10.1880	0.340962	0.340962	0.340962	0.340962
93	10.1900	0.344016	0.344016	0.344016	0.344016
94	10.1920	0.347070	0.347070	0.347070	0.347070
95	10.1940	0.350124	0.350124	0.350124	0.350124
96	10.1960	0.353178	0.353178	0.353178	0.353178
97	10.1980	0.356232	0.356232	0.356232	0.356232
98	10.2000	0.359286	0.359286	0.359286	0.359286
99	10.2020	0.362340	0.362340	0.362340	0.362340
100	10.2040	0.365394	0.365394	0.365394	0.365394

Fie x_{1_1} și x_1 valorile funcțiilor la momentul t_1 . Valorile funcțiilor la momentul $t_1 + \Delta t = t_{1+1}$ se vor calcula după cum urmează [58]:

$$x_{1_{1+1}} = x_{1_1} + \frac{1}{6}(a_1 + 2a_2 + 2a_3 + a_4) \quad (3.62)$$

în care:

$$a_1 = \Delta t \cdot f(t_1, x_{1_1})$$

$$a_2 = \Delta t \cdot f\left(t_1 + \frac{\Delta t}{2}, x_{1_1} + \frac{a_1}{2}\right)$$

$$a_3 = \Delta t \cdot f\left(t_1 + \frac{\Delta t}{2}, x_{1_1} + \frac{a_2}{2}\right)$$

(3.63)

$$a_4 = \Delta t \cdot f(t_1 + \Delta t, x_{1_1} + a_3).$$

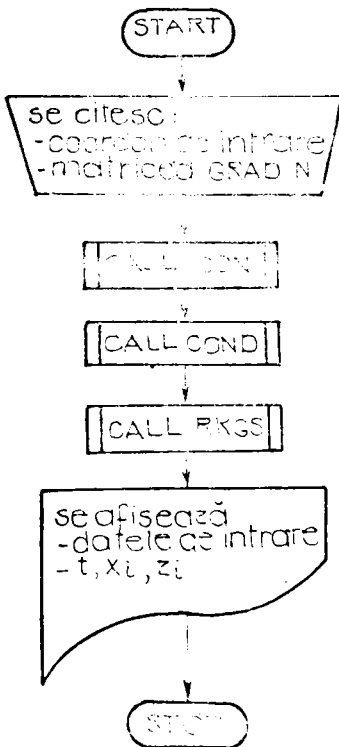


Fig. 3.10.

În figura 3.10 se prezintă schema logică a programului TREK pentru calculul traiectoriei particulelor. Se citesc coordonatele de intrare ale particulelor, numele fișierului de date ce conține matricea GRAD H (valorile gradientului intensității câmpului magnetic). În continuare se apelează două subprograme CON și COND care conțin videoformate pentru parametri de intrare: potențialul magnetic (V_H), densitatea lichidului magnetic (FOL), raza particulei (RP), vâscozitatea lichidului magnetic (VS), magnetizația de saturație (M_0), viteza inițială (V_0), unghiul de pătrundere (ALFA) și, respectiv, timpul inițial (T_0), timpul final (de oprire a calculului) (TF), pasul pe axa timpului (LT), densitatea particulei (FOA).

Pentru a avea informații privitoare la traiectoriile, în aceleași

condiții, a trei particule din materiale diferite s-a realizat tabelarea și trasarea (calitativă) simultană a acestora (fig. 3.11 și 3.12).

În figura 3.11 se observă că la același potențial magnetic particula de plumb are o traiectorie mai abruptă, particula de cupru o traiectorie mai lungă, iar cea de zinc cea mai lungă.

În figura 3.12 se observă că în aceleași condiții cu cele anterioare, dacă se folosește un lichid magnetic cu o magnetizație de saturație $M_0 = 63700$ A/m (superioară celei anterioare $M_0 = 3980$ A/m), numai particulele de Pb vor cădea, cele de Cu și Zn orientându-se pe traiectorii diferite, spre suprafață.

Este de menționat că programul TRK a fost testat comparativ cu programul analitic de calcul al traiectoriei, amintit în subcapitolul anterior și s-a observat o diferență de maximum 0,1%.

3.4. Cîmpul magnetic la separatoarele cu piese polare cu profil finit

3.4.1. Ecuatiile cîmpului magnetic staționar

Ecuatiile satisfăcute de către cîmpul magnetic staționar sînt:

$$\operatorname{div} \vec{B} = 0, \quad (3.64)$$

$$\operatorname{rot} \vec{H} = \vec{J}, \quad (3.65)$$

$$\vec{B} = \mu_0 (\vec{H} + \vec{M}). \quad (3.66)$$

În întreg spațiul dintre polii unui separator, atît în aer cît și în lichidul magnetic (considerat cu $\mu_r = 1$), nu există curenți electrici și deci $\vec{J} = 0$. În aceste condiții $\operatorname{rot} \vec{H} = 0$ și \vec{H} fiind instacionar derivă din potențialul magnetic V_H :

$$\vec{H} = - \operatorname{grad} V_H. \quad (3.67)$$

În cazul cînd intensitatea cîmpului magnetic este suficient de mare în spațiul ocupat de lichidul magnetic, pentru a-l aduce la saturație, $\vec{M} = \vec{M}_0$, (caz întîlnit în practică) atunci se poate scrie:

$$\operatorname{div} \vec{B} = \operatorname{div} \mu_0 \vec{H} + \operatorname{div} \mu_0 \vec{M}_0 = \mu_0 \operatorname{div} \vec{H} = 0. \quad (3.68)$$

Dacă în această ultimă ecuație se introduce \vec{H} din relația (3.67) se obține:

 * BAZE DE INTRARE

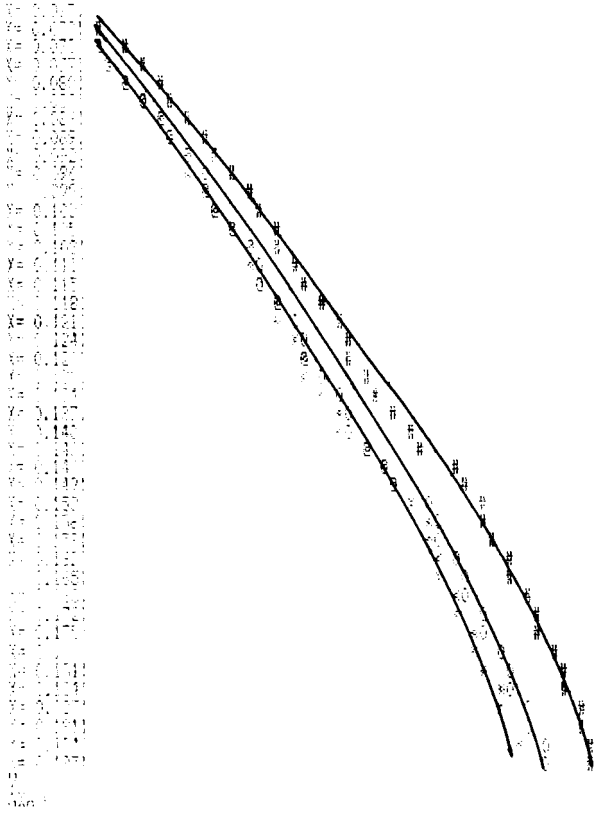
POTENTIALUL MAGNETIC	=	10000.0	
DENSITATEA LICHIDULUI	: ROL	= 1130.00	(kg/mc)
RAZA PARTICULEI	: RP	= 0.0010000	(m)
VISCOSITATEA	: VS	= 0.0010000	(N/mcp)
MAGNETIZATIA DE SATURATIE	: MO	= 29800	(A/m)
VITEZA INITIALA	: VO	= -1.40	(m/s)
UNghiUL DE PATRUNDERE	: ALFA	= 60.000	(grade)
T INITIAL	: TO	= 0.0000	
T FINAL	: TF	= 1.0000	
PAUL DE AXA TIME	: DT	= 0.00150	(s)
DENSITATEA PARTICULEI 1	: ROA1	= 7110.00	(kg/mc)
DENSITATEA PARTICULEI 2	: ROA2	= 8900.00	(kg/mc)
DENSITATEA PARTICULEI 3	: ROA3	= 11000.00	

POLI EXPONENTIALI: VARIANTA AMPLIFICATA

NR	TIME	X ROA1	Z ROA1	X ROA2	Z ROA2	X ROA3	Z ROA3
1	0.0000	0.067500	0.000000	0.067500	0.000000	0.067500	0.000000
2	0.0045	0.069088	0.005448	0.077702	0.005450	0.070711	0.005451
3	0.0090	0.070697	0.010897	0.087929	0.010901	0.074330	0.010902
4	0.0135	0.072302	0.016358	0.097956	0.016311	0.077954	0.016352
5	0.0180	0.073921	0.021858	0.099955	0.021822	0.081573	0.021843
6	0.0225	0.075721	0.027365	0.084333	0.027121	0.085192	0.027323
7	0.0270	0.081589	0.032854	0.087845	0.032559	0.088811	0.032824
8	0.0315	0.083973	0.037811	0.091624	0.037898	0.092430	0.037811
9	0.0360	0.087452	0.043151	0.095711	0.043242	0.096049	0.043151
10	0.0405	0.092041	0.048478	0.099211	0.048592	0.100178	0.048478
11	0.0450	0.094517	0.053370	0.102112	0.053292	0.104307	0.053370
12	0.0495	0.0976120	0.059080	0.107092	0.059252	0.108436	0.059080
13	0.0540	0.101726	0.064759	0.111118	0.064504	0.112565	0.064726
14	0.0585	0.105810	0.070323	0.115218	0.070023	0.116694	0.070323
15	0.0630	0.110180	0.074872	0.119392	0.075183	0.120823	0.075183
16	0.0675	0.114743	0.079410	0.123857	0.080342	0.124952	0.080342
17	0.0720	0.119509	0.083935	0.127995	0.085501	0.129081	0.085501
18	0.0765	0.124427	0.089510	0.132824	0.090660	0.133210	0.090660
19	0.0810	0.129313	0.095092	0.136847	0.095819	0.137339	0.095819
20	0.0855	0.134213	0.100920	0.141093	0.101000	0.141468	0.101000
21	0.0900	0.139221	0.106832	0.145547	0.106214	0.145593	0.106214
22	0.0945	0.144312	0.111197	0.147818	0.111161	0.149718	0.111197
23	0.0990	0.149402	0.115121	0.149122	0.115904	0.153843	0.115121
24	0.1035	0.154513	0.118412	0.150475	0.120391	0.157968	0.120391
25	0.1080	0.159643	0.121216	0.151881	0.124631	0.162093	0.124631
26	0.1125	0.164797	0.123569	0.153343	0.128577	0.166218	0.128577
27	0.1170	0.169987	0.125517	0.154860	0.132230	0.170343	0.132520
28	0.1215	0.175215	0.127111	0.156430	0.135593	0.174468	0.135593
29	0.1260	0.180484	0.128391	0.158058	0.138667	0.178593	0.138667
30	0.1305	0.185797	0.129401	0.159740	0.141452	0.182718	0.141452
31	0.1350	0.191157	0.130161	0.161471	0.143947	0.186843	0.143947
32	0.1395	0.196567	0.130704	0.163257	0.146152	0.190968	0.146152
33	0.1440	0.202029	0.131061	0.165094	0.148067	0.195093	0.148067
34	0.1485	0.207545	0.131251	0.166980	0.149692	0.199218	0.149692
35	0.1530	0.213117	0.131294	0.168911	0.151027	0.203343	0.151027
36	0.1575	0.218747	0.131201	0.170884	0.152072	0.207468	0.152072
37	0.1620	0.224437	0.130981	0.172906	0.152827	0.211593	0.152827
38	0.1665	0.230189	0.130644	0.174984	0.153292	0.215718	0.153292
39	0.1710	0.235997	0.130191	0.177114	0.153467	0.219843	0.153467
40	0.1755	0.241865	0.129634	0.179292	0.153352	0.223968	0.153352

01	1485	101119	0.171793	0.000000	0.173293	0.000000	0.171691
02	1482	0.180717	0.170755	0.000000	0.173339	0.000000	0.172750
03	1478	0.182118	0.151398	0.000000	0.183373	0.000000	0.181075
04	1471000	0.187719	0.180828	0.000000	0.183393	0.000000	0.182982

MODIFICAR: FOM 0.00 ROAD 0.00 ROAD 0.00 SUPADAPINCE 0.00
 DISTANCE 0.000000 ZSTOP 0.109919 0.00



XSTART= 0.075000 XSTOP = 0.197700 PAB= 0.0031601

Fig. 3.11.

* DATE DE INTRARE *

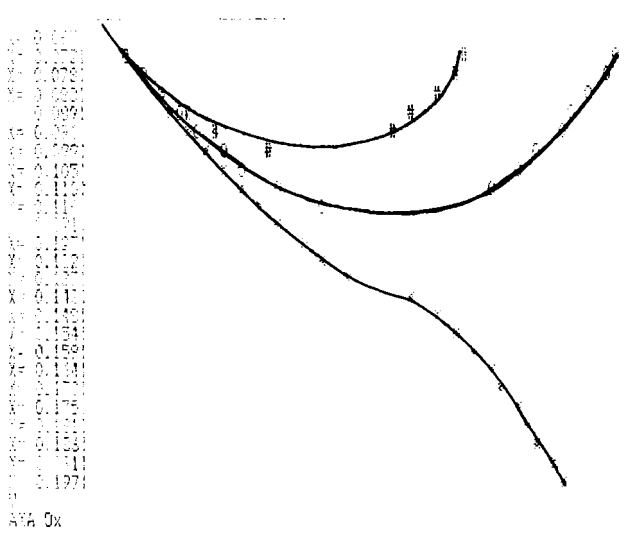
FOR MAGNETIC	: M = 0.000000	(kg/m ³)
DENSITATEA LICHIDULUI	: ROL = 1120.00	(kg/m ³)
TARA PARTICULEI	: RP = 0.002500	(m)
VISCOSITATEA	: VE = 0.001000	(Pa·s)
MAGNETIZATIA DE SATURARE	: MS = 0.0000	(A/m)
VITEZA INIMIA	: V0 = 1.40	(m/s)
UNGHIA DE PATRUNIRE	: ALFA = 60.000	(grade)
T INIMIA	: TC = 0.0000	
T FINAL	: TF = 1.00	
FASUL PE ACA TIMP	: DT = 0.0000	
DENSITATEA PARTICULEI 1	: ROA1 = 0	(kg/m ³)
DENSITATEA PARTICULEI 2	: ROA2 = 0	
DENSITATEA PARTICULEI 3	: ROA3 = 11200.00	

FE 1151

NR	TIMP	X ROA1	Z ROA1	X ROA2	Z ROA2	X ROA3	Z ROA3
1	10.0000	0.000000	0.000000	0.000000	0.000000	0.000000	0.000000
2	10.0045	0.000000	0.000000	0.000000	0.000000	0.000000	0.000000
3	10.0090	0.000000	0.000000	0.000000	0.000000	0.000000	0.000000
4	10.0135	0.000000	0.000000	0.000000	0.000000	0.000000	0.000000
5	10.0180	0.000000	0.000000	0.000000	0.000000	0.000000	0.000000
6	10.0225	0.000000	0.000000	0.000000	0.000000	0.000000	0.000000
7	10.0270	0.000000	0.000000	0.000000	0.000000	0.000000	0.000000
8	10.0315	0.000000	0.000000	0.000000	0.000000	0.000000	0.000000
9	10.0360	0.000000	0.000000	0.000000	0.000000	0.000000	0.000000
10	10.0405	0.000000	0.000000	0.000000	0.000000	0.000000	0.000000
11	10.0450	0.000000	0.000000	0.000000	0.000000	0.000000	0.000000
12	10.0495	0.000000	0.000000	0.000000	0.000000	0.000000	0.000000
13	10.0540	0.000000	0.000000	0.000000	0.000000	0.000000	0.000000
14	10.0585	0.000000	0.000000	0.000000	0.000000	0.000000	0.000000
15	10.0630	0.000000	0.000000	0.000000	0.000000	0.000000	0.000000
16	10.0675	0.000000	0.000000	0.000000	0.000000	0.000000	0.000000
17	10.0720	0.000000	0.000000	0.000000	0.000000	0.000000	0.000000
18	10.0765	0.000000	0.000000	0.000000	0.000000	0.000000	0.000000
19	10.0810	0.000000	0.000000	0.000000	0.000000	0.000000	0.000000
20	10.0855	0.000000	0.000000	0.000000	0.000000	0.000000	0.000000
21	10.0900	0.000000	0.000000	0.000000	0.000000	0.000000	0.000000
22	10.0945	0.000000	0.000000	0.000000	0.000000	0.000000	0.000000
23	10.0990	0.000000	0.000000	0.000000	0.000000	0.000000	0.000000
24	10.1035	0.000000	0.000000	0.000000	0.000000	0.000000	0.000000
25	10.1080	0.000000	0.000000	0.000000	0.000000	0.000000	0.000000
26	10.1125	0.000000	0.000000	0.000000	0.000000	0.000000	0.000000
27	10.1170	0.000000	0.000000	0.000000	0.000000	0.000000	0.000000
28	10.1215	0.000000	0.000000	0.000000	0.000000	0.000000	0.000000
29	10.1260	0.000000	0.000000	0.000000	0.000000	0.000000	0.000000
30	10.1305	0.000000	0.000000	0.000000	0.000000	0.000000	0.000000

37	10.1455	0.00000	0.175392	0.118151	0.170043	0.140006	0.170043
38	10.1500	0.00000	0.169941	0.118071	0.164301	0.137014	0.164301
39	10.1545	0.00000	0.164490	0.117991	0.158717	0.134017	0.158717
40	10.1590	0.00000	0.159039	0.117911	0.153131	0.131017	0.153131
41	10.1635	0.00000	0.153588	0.117831	0.147544	0.128017	0.147544
42	10.1680	0.00000	0.148137	0.117751	0.141954	0.125017	0.141954
43	10.1725	0.00000	0.142686	0.117671	0.136364	0.122017	0.136364
44	10.1770	0.00000	0.137235	0.117591	0.130774	0.119017	0.130774
45	10.1815	0.00000	0.131784	0.117511	0.125184	0.116017	0.125184
46	10.1860	0.00000	0.126333	0.117431	0.119594	0.113017	0.119594
47	10.1905	0.00000	0.120882	0.117351	0.114004	0.110017	0.114004
48	10.1950	0.00000	0.115431	0.117271	0.108414	0.107017	0.108414
49	10.1995	0.00000	0.109980	0.117191	0.102824	0.104017	0.102824
50	10.2040	0.00000	0.104529	0.117111	0.097234	0.101017	0.097234
51	10.2085	0.00000	0.099078	0.117031	0.091644	0.098017	0.091644
52	10.2130	0.00000	0.093627	0.116951	0.086054	0.095017	0.086054
53	10.2175	0.00000	0.088176	0.116871	0.080464	0.092017	0.080464
54	10.2220	0.00000	0.082725	0.116791	0.074874	0.089017	0.074874
55	10.2265	0.00000	0.077274	0.116711	0.069284	0.086017	0.069284
56	10.2310	0.00000	0.071823	0.116631	0.063694	0.083017	0.063694
57	10.2355	0.00000	0.066372	0.116551	0.058104	0.080017	0.058104
58	10.2400	0.00000	0.060921	0.116471	0.052514	0.077017	0.052514
59	10.2445	0.00000	0.055470	0.116391	0.046924	0.074017	0.046924
60	10.2490	0.00000	0.050019	0.116311	0.041334	0.071017	0.041334
61	10.2535	0.00000	0.044568	0.116231	0.035744	0.068017	0.035744
62	10.2580	0.00000	0.039117	0.116151	0.030154	0.065017	0.030154
63	10.2625	0.00000	0.033666	0.116071	0.024564	0.062017	0.024564
64	10.2670	0.00000	0.028215	0.115991	0.018974	0.059017	0.018974
65	10.2715	0.00000	0.022764	0.115911	0.013384	0.056017	0.013384
66	10.2760	0.00000	0.017313	0.115831	0.007794	0.053017	0.007794
67	10.2805	0.00000	0.011862	0.115751	0.002204	0.050017	0.002204
68	10.2850	0.00000	0.006411	0.115671	0.000000	0.047017	0.000000
69	10.2895	0.00000	0.000960	0.115591	0.000000	0.044017	0.000000
70	10.2940	0.00000	0.000000	0.115511	0.000000	0.041017	0.000000

COLLIGNEE : 001-00# ROAD-0-0# ROAD-0-0# CURVATURE 0-0#
 START : 0.00000 ZSTOP = 0.001515 AYA 0x



AYA 0x
 ZSTART 0.00000 ZSTOP = 0.001515 PAS= 0.001079

Fig. 3.12.

$$\operatorname{div}(\operatorname{grad} V_H) = \nabla^2 V_H = \Delta V_H = 0, \quad (3.69)$$

ceea ce arată că în domeniul ocupat de lichidul magnetic potențialul magnetic scalar satisface o ecuație de tip Laplace, la fel ca și în restul spațiului dintre polii separatorului.

Deoarece nu există curenți superficiali (pînză de curent) la suprafața de separație dintre aer și lichidul magnetic, componentele tangențiale ale lui \vec{H} se conservă, funcția potențial magnetic scalar fiind continuă:

$$V_{H_{\text{aer}}} = V_{H_{\text{lichid magnetic}}} \quad (3.70)$$

Dacă se consideră domeniul dintre polii unui separator, ce conține atât lichid magnetic cît și aer, potențialul magnetic scalar satisface ecuațiile lui Laplace în întreg domeniul. Această ecuație se poate integra numeric, în cazul cînd se cunosc valorile potențialului în punctele de frontieră (condiții de tip Dirichlet) sau derivata acestuia după direcția normală (condiții de tip Neumann).

Frontierele notate în figura 3.13 notate cu F_1 și F_2 au potențialul cunoscut și constant (ele reprezentînd polii separatorului) însă pe frontierele F_3 și F_4 potențialul nu se cunoaște.

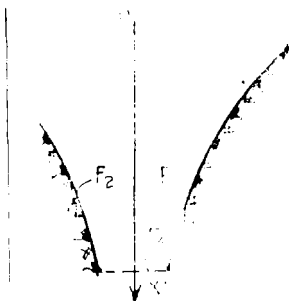


Fig. 3.13.

electric satisfac ecuațiile:

$$\operatorname{div} \vec{E} = 0, \quad (3.71)$$

$$\vec{E} = -\operatorname{grad} V, \quad (3.72)$$

$$\operatorname{rot} \vec{E} = 0. \quad (3.73)$$

Ultima relație arată că intensitatea cîmpului \vec{E} derivă dintr-un potențial V :

$$\vec{E} = -\operatorname{grad} V. \quad (3.74)$$

Pînă în prezent s-a procedat la modelarea electrocinetică.

3.4.2. Ecuațiile cîmpului electrocinetic staționar

Densitatea cîmpului electric de conducție \vec{J} și intensitatea cîmpului

Rezultă:

$$\begin{aligned} \operatorname{div} \vec{J} &= \operatorname{div} \nabla \vec{I} = - \operatorname{div} (\nabla \operatorname{grad} V) = \\ &= - (\operatorname{grad} \nabla) \cdot (\operatorname{grad} V) - \nabla \operatorname{div} (\operatorname{grad} V) = 0. \end{aligned} \quad (3.75)$$

Dacă domeniul are conductibilitatea constantă pe porțiuni atunci ecuația (3.75) devine:

$$\nabla^2 V = \Delta V = 0, \quad (3.76)$$

adică potențialul electric V satisface o ecuație de tip Laplace, la fel ca și potențialul magnetic.

Rezultă posibilitatea modelării, într-un domeniu oarecare, a unui câmp V_H printr-un câmp V , câmpul V_H fiind numeric identic cu câmpul V , în ipoteza condițiilor de frontieră numeric identice.

3.4.3. Modelul electrocinetic

Se pune problema determinării condițiilor de frontieră pe frontierele F_3 și F_4 (fig. 3.13). Pe baza corespondenței stabilite anterior se poate modela câmpul magnetic plan paralel dintre poli unui separator cu ajutorul unui câmp electrocinetic plan. Modelarea rezolvă problema determinării potențialului pe frontierele F_3 și F_4 (condiții de frontieră de tip Dirichlet) deoarece (spre deosebire de potențialul magnetic) potențialul electric este măsurabil.

Modelul a fost executat din hîrtie rezistivă pe care au fost presați electrozi de cupru (în formă de bandă), ce descriu pe hîrtie exact forma secțiunii transversale a polilor. În figura 3.14 se prezintă schema la scara 1:1 a polilor cu profil hiperbolic, și iar în figura 3.15 schema la aceeași scară a polilor cu profil exponențial. Hîrtia electrorezistivă a fost caroiată cu un pas de 5 mm și cu ajutorul unui voltmetru numeric (de impedanță foarte mare) a fost măsurat potențialul în puncte de pe frontierele F_3 și F_4 . Au fost efectuate mai multe măsurători (pentru 4-5 diferențe de potențial diferite) s-a făcut raportarea valorilor la potențialul maxim (pentru fiecare set de valori în parte) și pe urmă media în fiecare punct a valorilor potențialului.

Le remarcăm că hîrtia electrorezistivă a avut o extensiune mult mai mare decât profilul polilor (de 3 ori) pentru a diminua efectele de margine.

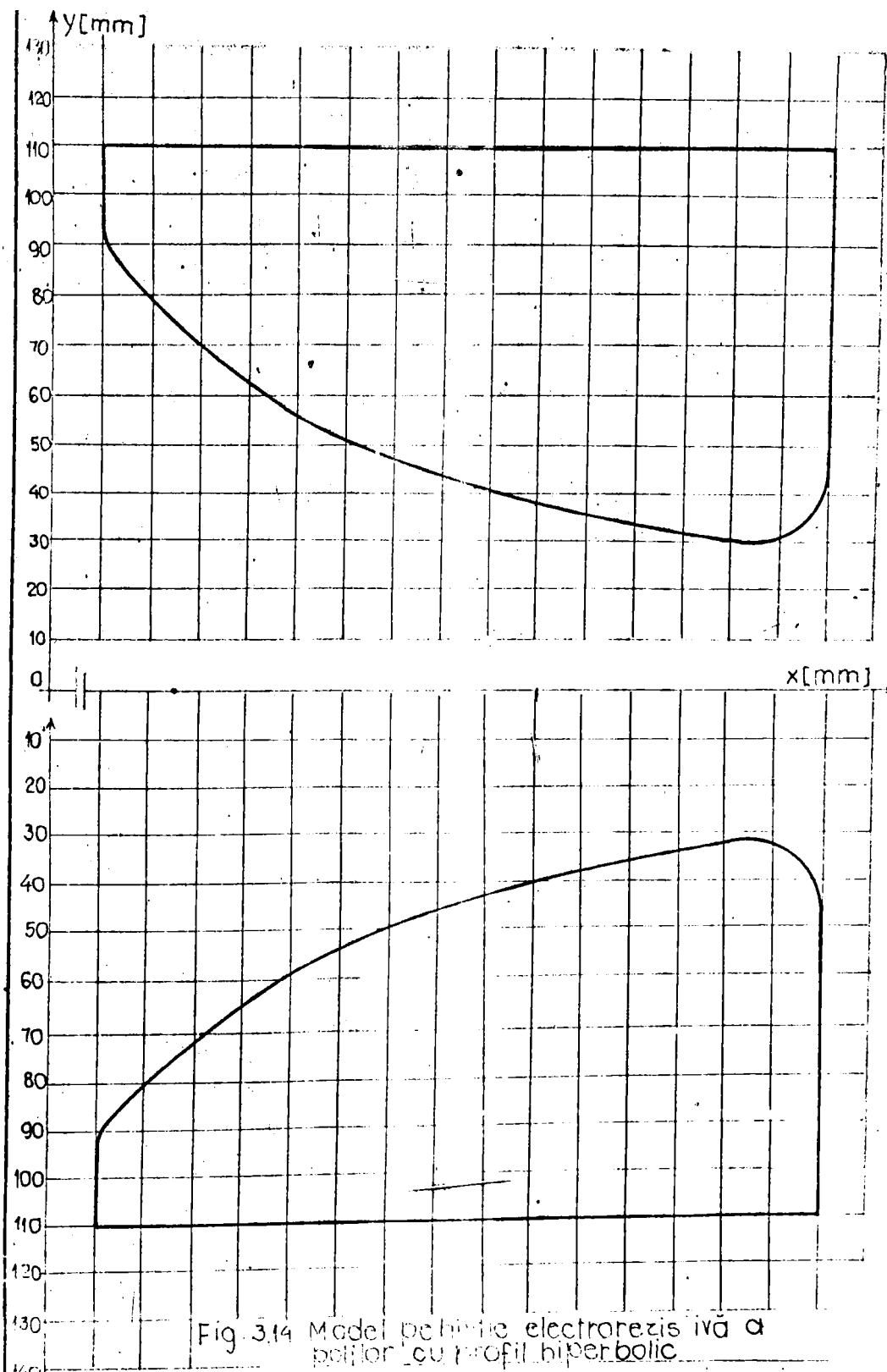


Fig. 3.14 Model polimeric electrolizis ivă a
 bolilor cu profil hiperbolic.

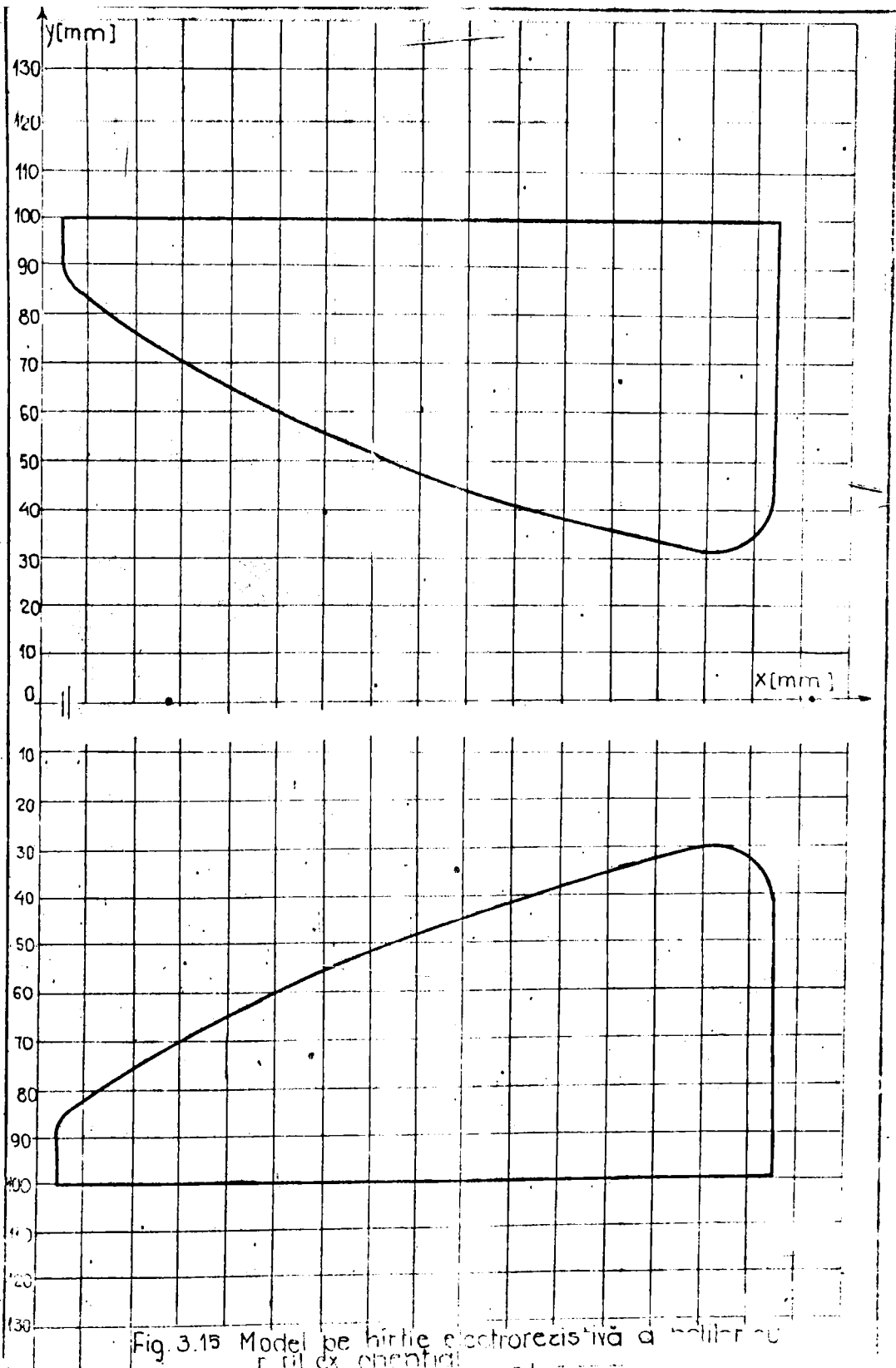


Fig. 3.15 Model pe hirtie electrorezistivă a bobinării cu răsucire exponențială

3.4.4. Modelul matematic în diferențe finite

În cazul unui câmp plan paralel, ecuație de tip Laplace ce trebuie integrată se scrie, în coordonate rectangulare:

$$\Delta V_H(x,y) = \frac{\partial^2 V_H}{\partial x^2} + \frac{\partial^2 V_H}{\partial y^2} = 0. \quad (3.77)$$

Condițiile de frontieră sînt de tip Dirichlet, potențialul fiind presupus cunoscut în punctele de pe frontieră.

Pentru rezolvarea ecuației s-a folosit metoda diferențelor finite. Astfel, se dezvoltă în serie Taylor funcția $V_H(x,y)$ în jurul punctului de coordonate x_0, y_0 :

$$V_H(x,y) = V_{H_0} + \sum_{K=1}^{\infty} \frac{1}{K!} \left[(x-x_0) \left. \frac{\partial V_H}{\partial x} \right|_{x=x_0} + (y-y_0) \left. \frac{\partial V_H}{\partial y} \right|_{y=y_0} \right]^K, \quad (3.78)$$

unde puterea K are semnificația de derivată de ordinul K .

Relația 3.78 se aplică pentru calculul valorii funcției V_H în punctele 1, 2, 3, 4 în raport cu valoarea sa în punctul 0 (fig. 3.16):

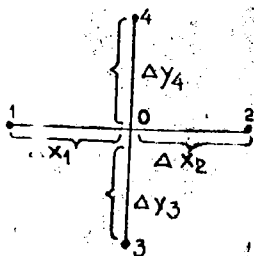


Fig. 3.16.

$$\begin{aligned} V_{H_1} &= V_{H_0} - \left(\frac{\partial V_H}{\partial x} \right)_0 \Delta x_1 + \frac{1}{2} \left(\frac{\partial^2 V_H}{\partial x^2} \right)_0 (\Delta x_1)^2 + \dots \\ V_{H_2} &= V_{H_0} + \left(\frac{\partial V_H}{\partial x} \right)_0 \Delta x_2 + \frac{1}{2} \left(\frac{\partial^2 V_H}{\partial x^2} \right)_0 (\Delta x_2)^2 + \dots \\ V_{H_3} &= V_{H_0} - \left(\frac{\partial V_H}{\partial y} \right)_0 \Delta y_3 + \frac{1}{2} \left(\frac{\partial^2 V_H}{\partial y^2} \right)_0 (\Delta y_3)^2 + \dots \\ V_{H_4} &= V_{H_0} + \left(\frac{\partial V_H}{\partial y} \right)_0 \Delta y_4 + \frac{1}{2} \left(\frac{\partial^2 V_H}{\partial y^2} \right)_0 (\Delta y_4)^2 + \dots \end{aligned} \quad (3.79)$$

Dacă se admite aproximarea valorilor funcției pînă la derivatele de ordinul doi inclusiv, atunci din sistemul (3.79) rezultă $\frac{\partial^2 V_H}{\partial x^2}$ și $\frac{\partial^2 V_H}{\partial y^2}$ în punctul zero și deci valoarea funcției potențial în acel punct în raport cu valorile sale în celelalte patru puncte [57]:

$$V_{H_0} = \frac{1}{C} (C_1 V_{H_1} + C_2 V_{H_2} + C_3 V_{H_3} + C_4 V_{H_4}), \quad (3.80)$$

în care:

$$C_1 = \frac{2}{\Delta y_3 (\Delta y_3 + \Delta x_2)}, \quad C_2 = \frac{2}{\Delta x_2 (\Delta x_1 + \Delta x_2)}, \quad (3.81)$$

$$C_3 = \frac{2}{\Delta y_3 (\Delta y_3 + \Delta y_4)}, \quad C_4 = \frac{2}{\Delta y_4 (\Delta y_3 + \Delta y_4)},$$

$$C = C_1 + C_2 + C_3 + C_4.$$

Valorile funcției V_H sînt cunoscute pe frontiera Γ .

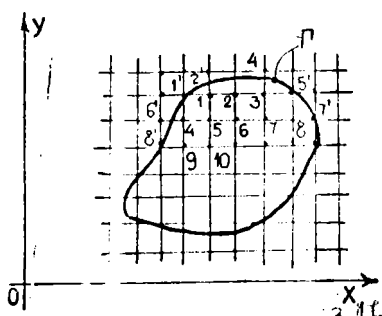


Fig. 3.17.

Domeniul mărginit de curba închisă Γ se împarte într-o rețea de pătrate (în cazul când $\Delta x_1 = \Delta x_2 = \Delta y_3 = \Delta y_4$) sau de dreptunghiuri (când $\Delta x_1 = \Delta x_2$ și $\Delta y_3 = \Delta y_4$) conform figurii 3.17.

Se calculează valoarea funcției V_H în pu o.e. a. v.e. o.e. f. ont. a. v.e. de exemplu în punctul 4 în funcție de valoarea cunoscută în punctele

6' și 1', care aparțin lui Γ , iar pentru punctele 5 și 9 se ia valoarea zero.

Se procedează astfel din aproape în aproape, utilizîndu-se tot timpul valorile funcției anterior calculate, pînă cînd se determină valoarea funcției în toate punctele interioare. Acest prim set de valori ale funcției pentru punctele interioare este serios afectat de erori, deoarece s-au admis valori nule ale funcției pentru puncte în care nu se cunoștea valoarea acestora.

Calculul se repetă cu noul set de valori obținut pînă cînd valorile funcției în punctele interioare lui Γ diferă de la o iterație la cea anterioară printr-o valoare maximă impusă.

... Din relațiile (3.79) se pot calcula și derivatele de ordinul întâi ale potențialului și deci intensitatea cîmpului:

$$H = \left[\left(\frac{\partial V_H}{\partial x} \right)^2 + \left(\frac{\partial V_H}{\partial y} \right)^2 \right]^{1/2}, \quad (3.82)$$

și de asemenea, cu relații similare, modulul gradientului cîmpului:

$$|\text{grad } H| = \sqrt{\left(\frac{\partial H}{\partial x}\right)^2 + \left(\frac{\partial H}{\partial y}\right)^2}. \quad (3.83)$$

Calcululele numerice au fost efectuate cu ajutorul unui calculator de tip CORAL 4021. Într-o primă fază s-a elaborat un singur program, dar datorită faptului că la acest tip de calculator nu se pot adresa direct mai mult de 64 K₀; odată cu mărirea numărului de puncte al matricii de la 1 000 la 5 000, s-a impus necesitatea elaborării unui pachet de programe.

Astfel rezultatele intermediare sînt înscrise în fișiere așa încît orice task poate fi rulat separat pînă la obținerea rezultatului dorit.

Se prezintă în continuare schemele logice ale taskurilor utilizate.

3.4.5. Pachetul de programe utilizat pentru calculul numeric al cîmpului pentru poli de extensiune finită

În figura 3.18 este reprezentată schema logică a programului FLV. Programul permite introducerea valorilor potențialului frontierelor F₃ și F₄ (fig. 3.13). Odată introduse acestea rămîn înscrise într-un fișier pe disc și la o reapelare a programului sînt afișate în videoformat, putînd fi menținute sau schimbate în funcție de dorința utilizatorului.

Figura 3.19 prezintă schema logică a programului notat cu INT. Acest program citește datele de intrare, limitele matricii (x_{START} și x_{STOP}) și pașii pe cele două axe, P_x și P_y.

În cazul cînd se dorește o rețea mai fină decît cea inițială corespunzătoare punctelor de potențial dat de pe frontiere, de exemplu se înjumătățește pasul, atunci între două puncte de potențial cunoscut se interpolează valoarea acestuia. Acest lucru este realizat de subrutinele FRONT și CIT.

În final se scrie fișierul POT.LAT care conține "coaja" matricii potențial, adică cuprinde toate valorile potențialului pe întreaga frontieră, valori necesare iterațiilor cu pașii P_x și P_y stabiliți.

Programul CV, a cărui schemă logică este prezentată în figura 3.20, calculează potențialul în fiecare punct al domeniului

considerat, rescrie fișierul POT. DAT (care acum conține valorile potențialului în toate punctele rețelei, numărul de iterații și timpul de calcul în secunde unitate centrală).

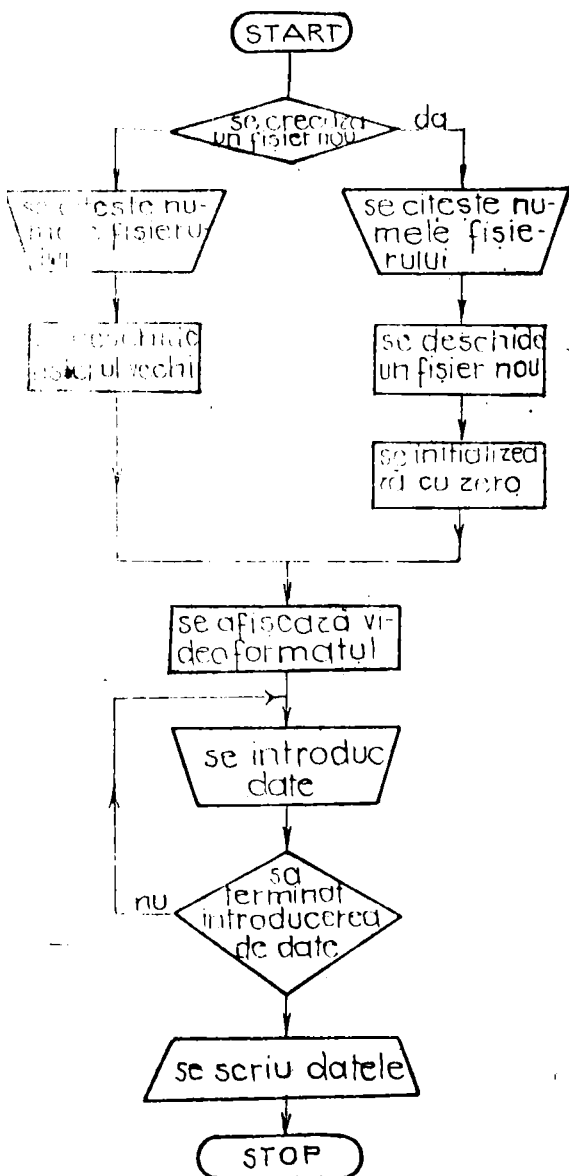


Fig. 3.18.

Schema bloc a programului ILV

Programul a fost testat prin introducerea de valori ale potențialului de pe frontierele F_3 și F_4 calculate analitic, considerând polii L_1 și L_2 ca unități. Lucrând în dublă precizie eroarea raportată în procente a matricii potențiale ca o a Δ cu metoda diferențelor finite, față de cea calculată analitic a fost de sub 0,1 la sută.

Programul H din figura 3.21 calculează modulul intensității câmpului în fiecare punct al matricii utilizând valorile potențialului calculate cu programul CV și înscrie pe disc fișierul H.DAT.

Subrutina GRAD (figura 3.22) calculează modulul gradientului câmpului în fiecare punct al matricii utilizând în acest scop valorile din matricea rezultantă a programului H și înscrie pe disc fișierul GH. DAT.

Lucrând în dublă precizie, eroarea raportată în procente a matricii modulului gradientului câmpului H, calculată cu metoda

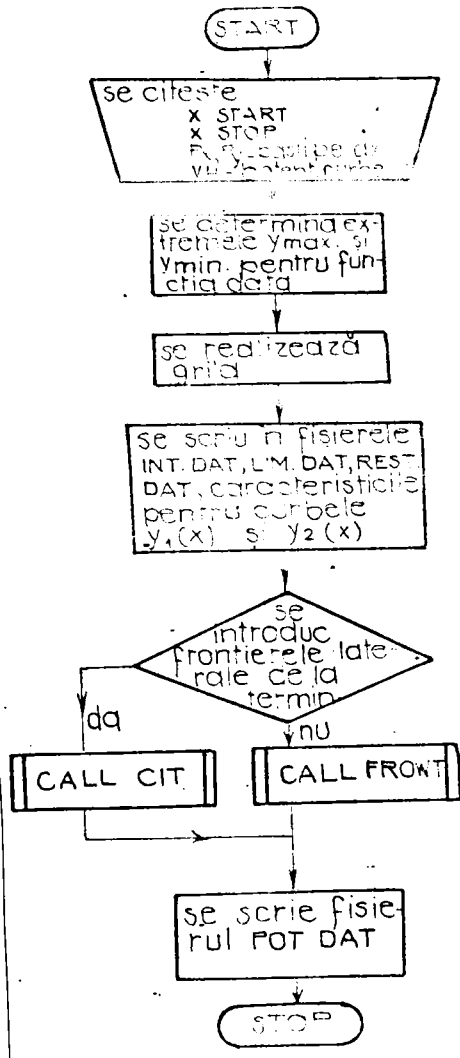


Fig. 3.19.

Schema bloc a programului INT

F_1 și F_2 este constant și cunoscut; de asemenea se cunosc ecuațiile curbilor acestor frontiere $y_1 = y_1(x)$ și $y_2 = y_2(x)$.

Se stabilește valoarea V_{H_1} pentru potențialul frontierei F_1 și $-V_{H_1}$ pentru cel al frontierei F_2 .

Se stabilesc limitele zonei cercetate (x_{start} și x_{stop}) și pași pe cele două axe (P_x și P_y), valori introduse în programul

diferențelor finite, față de cea calculată analitic a fost de sub 0,4 la sută.

Programul mai conține subrutina FUNCTION în care se introduc funcțiile $y_1(x)$ și $y_2(x)$, ce reprezintă ecuațiile polilor, respectiv frontierele F_1 și F_2 (fig. 3.7). Aceste curbe sînt oarecare, ele putînd fi oricînd redefinite. Programul a fost rulat cu curbele de ecuații (3.8) și (3.9), respectiv (3.45).

3.5. Trajectoriile particulelor între polii cu profil finit al unui separator magnetofluidic

Pentru a calcula traiectoria particulelor între polii unui separator cu profil finit trebuie cunoscută matricea modului gradientului în spațiul dintre polii.

În acest scop de pe modelele electrocinetice realizate s-au citit valorile potențialului pe frontierele F_3 și F_4 (figura 3.23), date ce au fost introduse în programul FIV (figura 3.18).

Potențialul pe frontierele

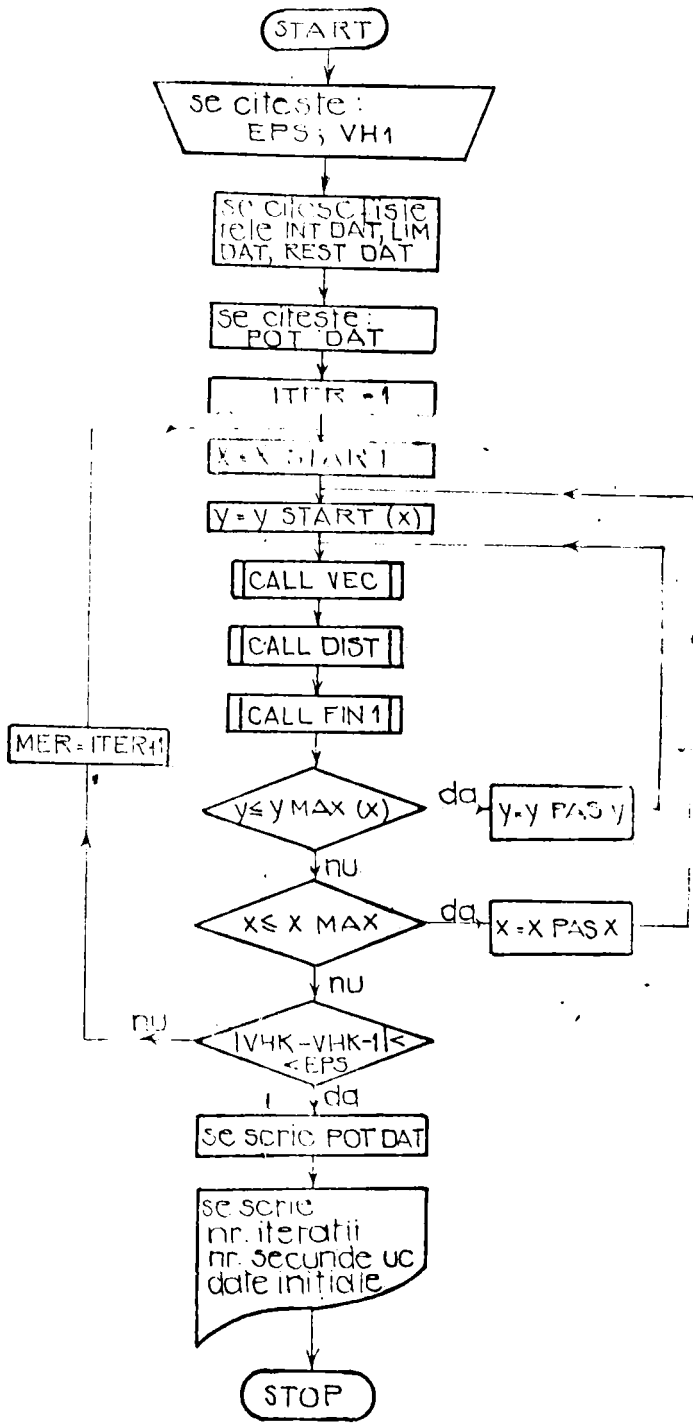


Fig. 3.20.
Schema bloc a programului CV

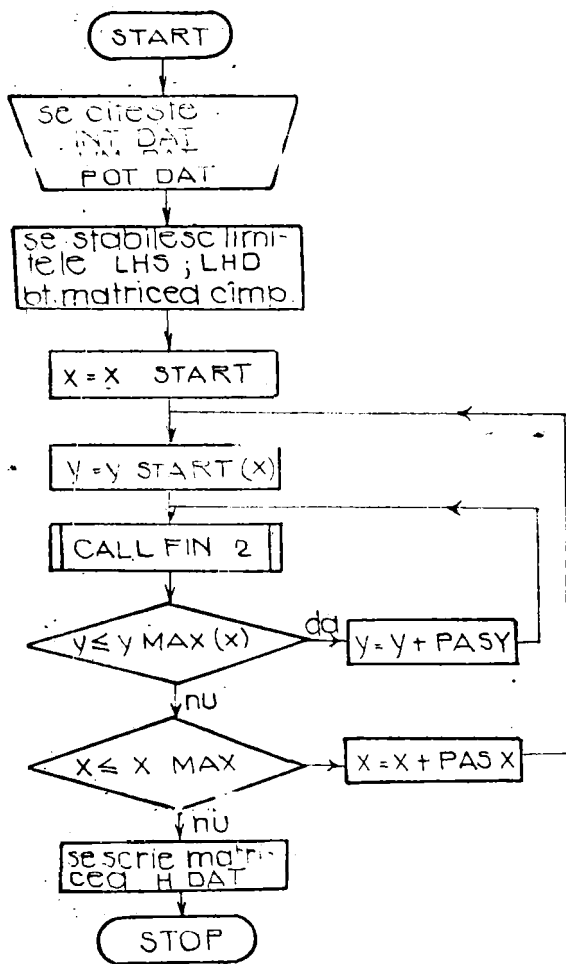


Fig. 3.21.
Schema bloc a programului II

pe frontierele F_3 și F_4 valorile potențialului sînt interpolate liniar iar pentru determinarea coordonatelor punctelor de tipul 1 și 2 sînt apelate subrutinele front și cît.

În continuare se calculează valorile potențialului magnetic în toate punctele matricii, prin metoda diferențelor finite descrisă anterior, cu eroarea impusă, cu ajutorul programului CV (fig. 3.20).

Urmează apelarea programelor H și GRAD (fig. 3.21) și 3.22) care calculează valorile cîmpului H și a modulului gradientului

INT (fig. 3.19), împreună cu V_{H1} . Se calculează distanța $\Delta y = y_1(x) - y_2(x)$ și se împarte la pasul pe oy (P_y). În cazul că această împărțire dă rest, valoarea restului se reține pentru a cunoaște coordonata punctului notat cu 1 în figura 3.23. Pentru a cunoaște coordonata x_2 a punctului 2 se înjumătățește intervalul $(x_\lambda, x_{\lambda+1})$ pînă cînd punctul 2 se suprapune pe frontieră, coordonată care se reține. Aceste operații sînt realizate de subrutinele FRONT și CIT.

În final programul INT scrie fișierul POT. DAT care conține coordonatele tuturor punctelor de pe frontieră și potențialul acestora. Dacă se dorește schimbarea pasului, atunci

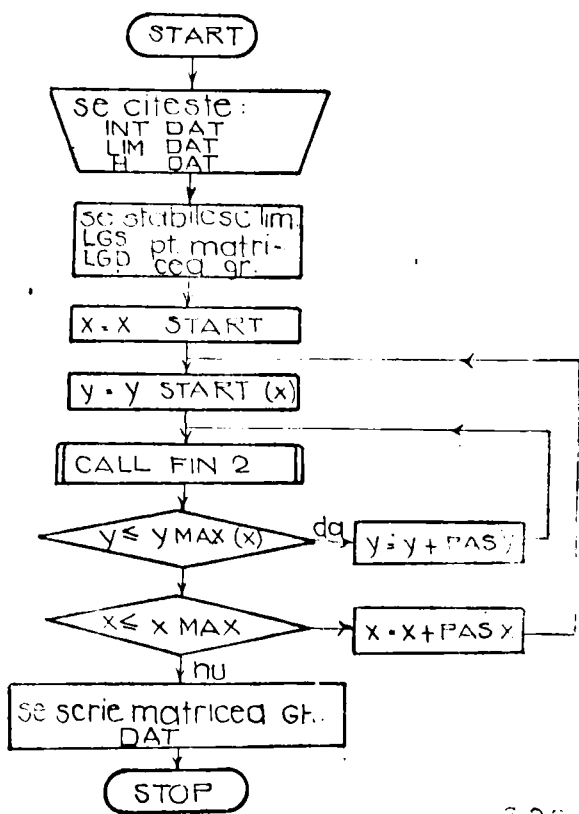


Fig. 3.22.
Schema bloc a programului GRAD

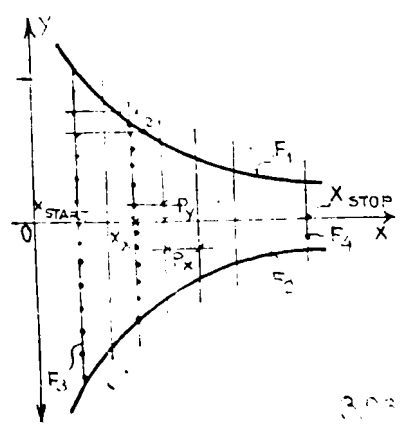


Fig. 3.23.

în toate punctele rețelei, mărimi care sînt scrise în fișierele HLDAT și GH DAT.

Se apelează programul TREK (fig. 3.10) căruia i se introduc valorile coordonatelor de intrare ale particulei și matricei GRADH.

Prin metoda Runge-Kutta Gill (descrisă în paragraful 3.3.2) se calculează traiectoriile particulelor.

În final se tipăresc la imprimantă (sau se afișează la terminal) datele de intrare, rînduri cu comentarii, tabelele ce conțin t_1 , $x_1(t_1)$, $z_1(t_1)$ ($1 = 1, n$), graficele cu traiectoriile x_{START} și x_{STOP} (fig. 3.24).

 * DATE DE INTRARE *

POTENTIALUL MAGNETIC	: VH = 16800.00	(A)
DENSITATEA LICHIDULUI	: ROL = 925.00	(kg/mc)
RAZA PARTICULEI	: RP = 0.0025000	(m)
VISCOZITATEA	: VS = 0.0010000	(Ns/mp)
MAGNETIZATIA DE SATURATIE	: M0 = 7960	(A/m)
VITEZA INITIALA	: V0 = 1.72	(m/s)
UNGHIIUL DE PATRUNDERE	: ALFA = 45.000	(grade)
T INITIAL	: T0 = 0.0000	(s)
T FINAL	: TF = 0.1950	(s)
PASUL PE AXA TIMP	: DT = 0.00050	(s)
DENSITATEA PARTICULEI 1	: ROA1 = 11500.00	(kg/mc)
DENSITATEA PARTICULEI 2	: ROA2 = 6400.00	(kg/mc)
DENSITATEA PARTICULEI 3	: ROA3 = 2600.00	(kg/mc)

145 154 201 8.7775245E-02
 Viteza 1= 1.656562 Viteza 2= 1.470894 Viteza 3= 0.690222 pe axa OX.
 Viteza 1= 1.321970 Viteza 2= 1.226887 Viteza 3= 1.247719 pe axa OZ.
 Zlichid 1= 0.087775 Zlichid 2= 0.093449 Zlichid 3= 0.123194

FIG. 3.24

=====

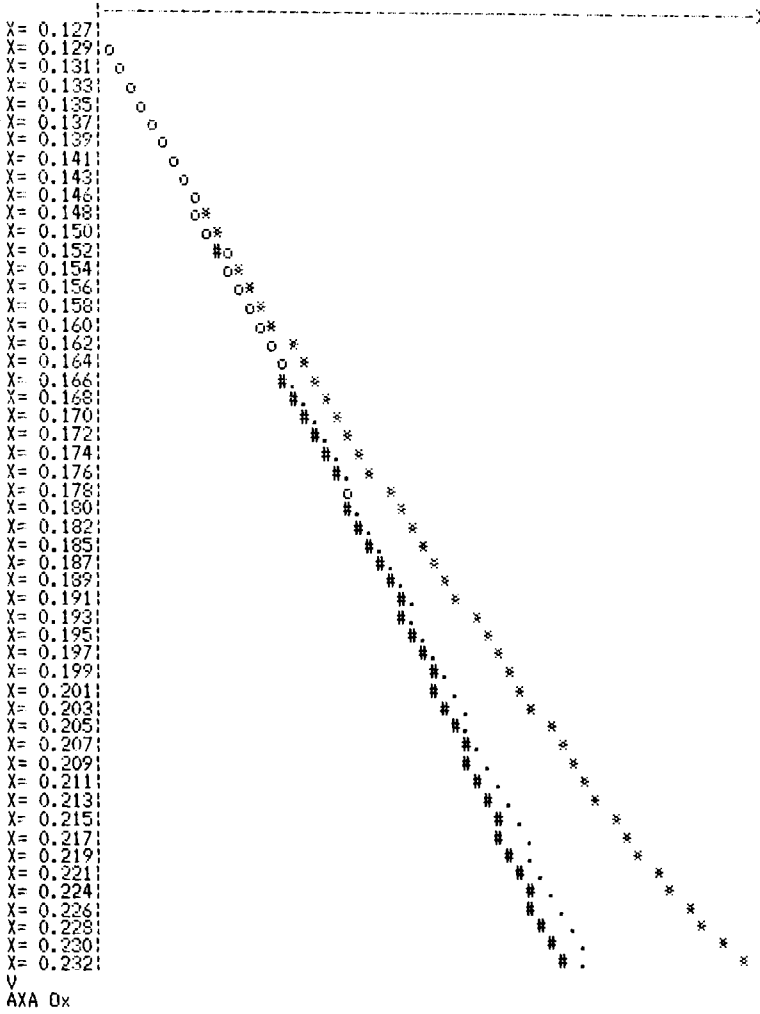
POLI CU PROFIL EXPONENTIAL DE DIMENSIUNI FINITE

=====

Ztotal 1= 0.087775 Ztotal 2= 0.093449 Ztotal 3= 0.123194

Tlichid1= 0.072500 Tlichid2= 0.077000 Tlichid3= 0.100500
COGIFICARE : ROA1->"#" ROA2->"." ROA3->"*" SUPRAPUNERE->"o"
ZSTART= 0.000000 ZSTOP= 0.123194

AXA Gz



XSTART= 0.127500 XSTOP = 0.23266 PAS= 0.0020532

Cap. 4. REALIZAREA POLILOR CU PROFIL EXPONENTIAL.
DATE EXPERIMENTALE

În acest capitol se studiază traiectoria particulelor pînă la atingerea de către acestea a suprafeței orizontale.

Se calculează punct cu punct profilul polilor exponențiali și se descrie realizarea practică a acestora.

În continuare se prezintă datele experimentale obținute la celula de separare cu poli cu profil exponențial executată și se compară aceste date experimentale cu studiul teoretic.

4.1. Calculul polilor cu profil exponențial al unei celule de separare

Dimensionarea pieselor polare s-a făcut pornind de la ecuația:

$$y = \frac{1}{c} \arcsin (e^{-cx}) \quad (4.1)$$

Valoarea constantei C s-a obținut cu ajutorul metodei descrise în paragraful 3.2. Programul de calcul al constantei C este prezentat în figura 4.1. S-a impus condiția ca întrefierul minim să fie de 60 mm, de unde a rezultat că profilul polului trece prin punctul P_0 de coordonate (0,2025; 0,03). Eroarea admisă s-a considerat $\epsilon = 10^{-6}$. În urma rulării programului s-a obținut $C=7,44419 \text{ m}^{-1}$ limita superioară fiind $b = c^{\#} = \frac{1}{2} / (2 y_0)$. Programul este scris în limbaj BASIC și a fost rulat pe un calculator de tipul TIMS.

În continuare s-a rulat programul din figura 4.2 care permite calculul perechilor de puncte (x, y) care alcătuiesc polul cu profil exponențial. Rezultatele sînt trecute în tabelul 4.1, după care s-a desenat profilul din figura 4.3.

În figura 4.3 este prezentat polul de ecuație:

$$y_1 = \frac{1}{c} \arcsin (e^{-cx}).$$

Polul al doilea este simetric cu acesta și are ecuația:

$$y_2 = - \frac{1}{c} \arcsin (e^{-cx}).$$

```

50 PRINT "*****"
55 PRINT ""
60 PRINT " f(c)=SIN (y0*c)"
62 PRINT ""
65 PRINT "-----"
70 PRINT ""
80 PRINT " g(c)=EXP ((-x0)*c)"
85 PRINT ""
90 PRINT "*****"
95 PRINT ""
100 PRINT " EROAREA ADMISA e=?"
120 INPUT e
140 PRINT " e=";e
150 PRINT "-----"
155 PRINT ""
160 PRINT " COORDONATELE PUNCTU
LUI (x0,y0)"
180 INPUT x0,y0
200 PRINT " x0=";x0,"y0=";y0
210 PRINT "-----"
215 PRINT ""
220 PRINT " LIMITA INFERIOARA a
=";a
240 INPUT a
260 PRINT " a=";a
270 PRINT "-----"
280 LET b=PI/(2*y0)
290 PRINT ""
300 PRINT " LIMITA SUPERIOARA b
=";b
310 PRINT "-----"
315 PRINT ""
320 PRINT " PASUL s=?"
340 INPUT s
360 PRINT " s=";s
380 DEF FN f(c)=SIN (y0*c)
400 DEF FN g(c)=EXP ((-x0)*c)
420 FOR c=a TO b STEP s
440 IF ABS (FN f(c)-FN g(c))<=e
THEN GO TO 480
460 NEXT c
465 PRINT "*****"
*****"
470 PRINT ""
480 PRINT " c=";c,"e=";e
485 PRINT ""
490 PRINT "-----"
*****"
495 PRINT ""
500 PRINT " x0=";x0,"y0=";y0
510 PRINT ""
520 PRINT "*****"
*****"

```

Fig. 4.1.

Program pentru determinarea
Constantei C.

```

2 PRINT "211288PE"
5 BORDER 5: INK 2: PAPER 6
10 PRINT "*****"
*****"
15 PRINT ""
20 PRINT " PROFILUL POPULUI"
40 PRINT " EPIPONENTIAL"
65 PRINT ""
70 PRINT "*****"
*****"
75 PRINT ""
80 PRINT " CONSTANTA c=?"
100 INPUT c
120 PRINT " c=";c
130 PRINT "-----"
140 PRINT " INTERNDALUL (xmin,
xmax)?"
160 INPUT x1,x2
180 PRINT " xmin=";x1,"xmax=";x
2
185 PRINT "-----"
200 PRINT " PASUL s=?"
220 INPUT s
240 PRINT " s=";s
244 PRINT ""
245 PRINT "=====
=====
246 PRINT ""
250 FOR x=x1 TO x2 STEP s
260 DEF FN y(x)=(1/c)*ASN (EXP
((-x)*c))
270 PRINT " x=";x,"y=";FN y(x)
275 PRINT "-----"
280 NEXT x
290 PRINT ""
295 PRINT "*****"
*****"
296 PRINT ""
300 PRINT " xmin=";x1,"xmax=";x
2
310 PRINT "-----"
320 PRINT " s=";s,"=";c
322 PRINT ""
325 PRINT "*****"
*****"
395 PRINT "
OK!"

```

Fig. 4.2.

Program pentru calculul
profilului exponențial
al popului.

4.2. Trajectorii complete ale particulelor în celula de separare

Mișcarea particulelor nemagnetice în lichidul dintre polii separatorului este descrisă de ecuația vectorială (3.51). Această ecuație a fost scrisă pe componente, (3.52) și (3.53) și integrată conform particulei prin lichidul magnetic și distanța pe orizontală la ieșirea din lichid (Z_0).


```
#####
Tabekul 4.1
#####
x=.0525      y=.099809602
-----
x=.0575      y=.09536763
-----
x=.0625      y=.091204213
-----
x=.0675      y=.08728938
-----
x=.0725      y=.083597859
-----
x=.0775      y=.080108332
-----
x=.0825      y=.076804541
-----
x=.0875      y=.073669741
-----
x=.0925      y=.070691208
-----
x=.0975      y=.067857367
-----
x=0.1025     y=.065158009
-----
x=0.1075     y=.062584063
-----
x=0.1125     y=.060127414
-----
x=0.1175     y=.057780767
-----
x=0.1225     y=.055537522
-----
x=0.1275     y=.053391683
-----
x=0.1325     y=.051337777
-----
x=0.1375     y=.04937073
-----
x=0.1425     y=.047486103
-----
x=0.1475     y=.045679474
-----
x=0.1525     y=.043946947
-----
x=0.1575     y=.042284866
-----
x=0.1625     y=.040689825
-----
x=0.1675     y=.039158643
-----
x=0.1725     y=.037688345
-----
x=0.1775     y=.036276143
-----
x=0.1825     y=.034919415
-----
x=0.1875     y=.033615698
-----
x=0.1925     y=.032362668
-----
x=0.1975     y=.031158131
-----
x=0.2025     y=.030000014
-----
x=0.2075     y=.028886352
-----
#####
xmin=.0525   xmax=0.2125
-----
s=.005       c=7.4441941
#####
```

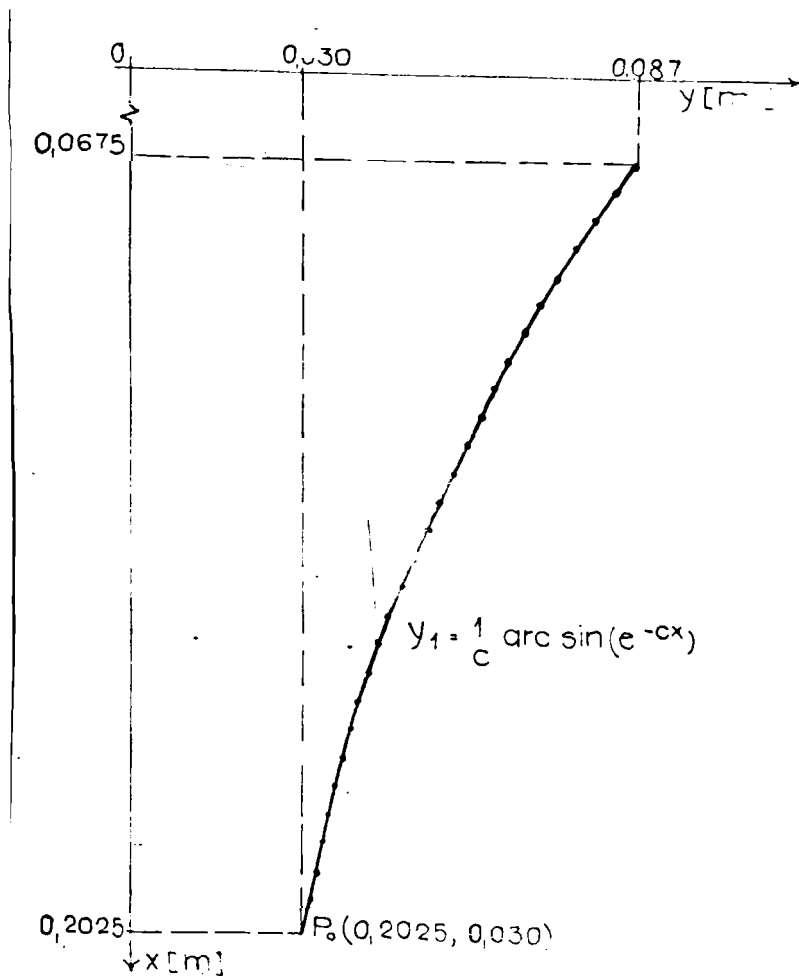


Fig. 4.3.

După parcurgerea stratului de lichid magnetic (2) de grosime Δ particula își continuă mișcarea pînă pe suprafața orizontală (3) de colectare (fig. 4.4) (cu 1 s-a notat polul magnetic).

La ieșirea din lichidul magnetic particula va avea o viteză inițială \vec{V}_0 , de componente V'_{0x} și V'_{0z} . Legile de mișcare ale particulei în aer sînt:

$$x(t) = V'_{0x}t + g \frac{t^2}{2} \quad \text{și} \quad (4.2)$$

$$z(t) = V'_{0z}t, \quad (4.3)$$

g fiind modulul accelerației gravitaționale.

Din aceste două ecuații se obține traiectoria particulei de aer prin eliminarea parametrului timp:

$$x(z) = \frac{v'_{0x}}{v'_{0z}} z + \frac{g}{2 v'_{0z}{}^2} \cdot z^2 \quad (4.4)$$

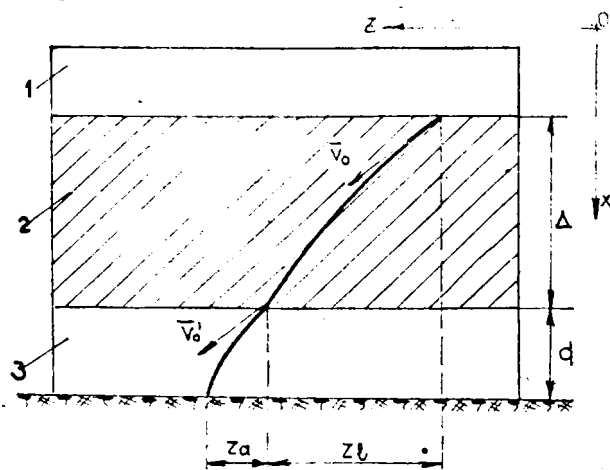


Fig. 4.4.

În practică interesează la ce distanță (pe orizontală) de la locul de intrare va cădea particula. În acest scop se determină distanța pe orizontală parcursă de particulă prin aer Z_a (fig. 4.4):

$$Z_a = \frac{v'_{0z}}{g} (\sqrt{v'_{0z}{}^2 + 2gd} - v'_{0z}) \quad (4.5)$$

În final se obține distanța parcursă de particulă pe orizontală:

$$Z_t = Z_a + Z_l \quad (4.6)$$

În scopul determinării acestei distanțe s-a completat pachetul de programe prezentat în capitolul 3 cu submatricea ELS (fig. 4.5) care calculează v'_{0x} și v'_{0z} , Z_a și distanța totală Z_t .

Programul este scris pentru calculul simultan a trei traiectorii de particule de densități diferite (fig. 4.4').

Programul de ansamblu a fost rulat de mai multe ori, pentru cazul polilor cu profil exponențial, avînd ca parametri, pe rînd: potențialul magnetic scalar V_H , magnetizația de saturație a lichidului magnetic M_0 (ceea ce atrage după sine și modificarea densității lichidului ROL), raza particulei hP , viteza inițială V_0 , unghiul α de pătrundere a particulei în lichidul magnetic și densitatea particulei hOA .

Data curenta :21-JAN-89

 * DATE DE INTRARE *

POTENTIALUL MAGNETIC	: VH = 16800.00	(A)
DENSITATEA LICHIDULUI	: ROI = 1050.00	(kg/mc)
RAZA PARTICULEI	: RP = 0.0025000	(m)
VISCOZITATEA	: VS = 0.0010000	(Ns/mp)
MAGNETIZATIA DE SATURATIE	: MO = 19900	(A/m)
VITEZA INITIALA	: VO = 1.72	(m/s)
UNGIUL DE PATRUNDERE	: ALFA = 45.000	(grade)
T INITIAL	: TO = 0.0000	(s)
T FINAL	: TF = 0.1950	(s)
PASUL PE AXA TIMP	: DT = 0.00050	(s)
DENSITATEA PARTICULEI 1	: ROA1 = 11500.00	(kg/mc)
DENSITATEA PARTICULEI 2	: ROA2 = 6400.00	(kg/mc)
DENSITATEA PARTICULEI 3	: ROA3 = 2600.00	(kg/mc)

82 90 197 4.9322356E-02
 Viteza 1= 1.266032 Viteza 2= 0.977606 Viteza 3= -1.228541 pe axa OX.
 Viteza 1= 1.219429 Viteza 2= 1.222335 Viteza 3= 1.246452 pe axa OZ.
 Distanța D= 0.024000
 Zlichid 1= 0.049322 Zlichid 2= 0.054259 Zlichid 3= 0.120669

 TRAIECTORIA COMPLETA A PARTICULELOR
 POLI CU PROFIL EXPONENTIAL DE DIMENSIUNI FINITE

NR	TIMP	X ROA1	Z ROA1	X ROA2	Z ROA2	X ROA3	Z ROA3
1	0.0000	0.180000	0.000000	0.180000	0.000000	0.180000	0.000000
2	0.0005	0.180608	0.000608	0.180608	0.000608	0.180607	0.000608
3	0.0010	0.181218	0.001216	0.181216	0.001216	0.181210	0.001216
4	0.0015	0.181828	0.001824	0.181824	0.001824	0.181811	0.001825
5	0.0020	0.182440	0.002433	0.182432	0.002433	0.182409	0.002433
6	0.0025	0.183052	0.003041	0.183041	0.003041	0.183004	0.003042
7	0.0030	0.183666	0.003649	0.183649	0.003649	0.183576	0.003650
8	0.0035	0.184281	0.004257	0.184257	0.004258	0.184186	0.004259
9	0.0040	0.184897	0.004866	0.184865	0.004866	0.184772	0.004867
10	0.0045	0.185513	0.005474	0.185473	0.005474	0.185355	0.005475

g fiind modulul accelerației gravitaționale.

Din aceste două ecuații se obține traiectoria particulei de aer prin eliminarea parametrului timp:

$$x(z) = \frac{v'_{ox}}{v'_{oz}} z + \frac{g}{2 v'^2_{oz}} \cdot z^2 \quad (4.4)$$

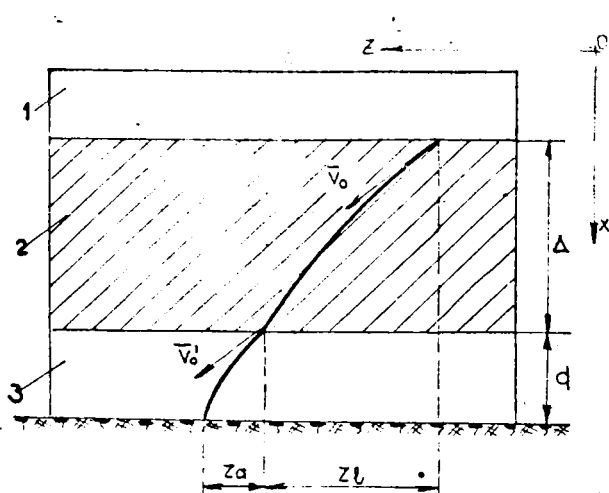


Fig. 4.4.

În final se obține distanța parcursă de particulă pe orizontală:

$$z_t = z_a + z_l \quad (4.6)$$

În scopul determinării acestei distanțe s-a completat pachetul de programe prezentat în capitolul 3 cu submatricea ELS (fig. 4.5) care calculează v'_{ox} și v'_{oz} , z_a și distanța totală z_t .

Programul este scris pentru calculul simultan a trei traiectorii de particule de densități diferite (fig. 4.4').

Programul de ansamblu a fost rulat de mai multe ori, pentru cazul polilor cu profil exponențial, avînd ca parametri, pe rînd: potențialul magnetic scalar V_H , magnetizația de saturație a lichidului magnetic M_0 (ceea ce atrage după sine și modificarea densității lichidului KOL), raza particulei hP , viteza inițială v_0 , unghiul α de pătrundere a particulei în lichidul magnetic și densitatea particulei hOA .

În ractică interesează la ce distanță (pe orizontală) de la locul de intrare va cădea particula. În acest scop se determină distanța pe orizontală parcursă de particulă prin aer z_a (fig. 4.4):

$$z_a = \frac{v'_{oz}}{g} (\sqrt{v'^2_{oz} + 2gd} - v'_{oz}) \quad (4.5)$$

Data curenta :21-JAN-89

 * DATE DE INTRARE *

POTENTIALUL MAGNETIC	: VH = 16800.00	(A)
DENSITATEA LICHIDULUI	: RO1 = 1050.00	(kg/mc)
RAZA PARTICULEI	: RP = 0.0025000	(m)
VISCOZITATEA	: VS = 0.0010000	(Ns/mp)
MAGNETIZATIA DE SATURATIE	: M0 = 19900	(A/m)
VITEZA INITIALA	: V0 = 1.72	(m/s)
UNGHIIUL DE PATRUNDERE	: ALFA = 45.000	(grade)
T INITIAL	: T0 = 0.0000	(s)
T FINAL	: TF = 0.1950	(s)
PASUL PE AXA TIMP	: DT = 0.00050	(s)
DENSITATEA PARTICULEI 1	: ROA1 = 11500.00	(kg/mc)
DENSITATEA PARTICULEI 2	: ROA2 = 6400.00	(kg/mc)
DENSITATEA PARTICULEI 3	: ROA3 = 2600.00	(kg/mc)

82 90 197 4.9322356E-02
 Viteza 1= 1.266032 Viteza 2= 0.977606 Viteza 3= -1.228541 pe axa OX.
 Viteza 1= 1.219429 Viteza 2= 1.222335 Viteza 3= 1.246452 pe axa OZ.
 Distanța D= 0.024000
 Zlichid 1= 0.049322 Zlichid 2= 0.054259 Zlichid 3= 0.120669

TRAIECTORIA COMPLETA A PARTICULELOR

POLI CU PROFIL EXPONENTIAL DE DIMENSIUNI FINITE

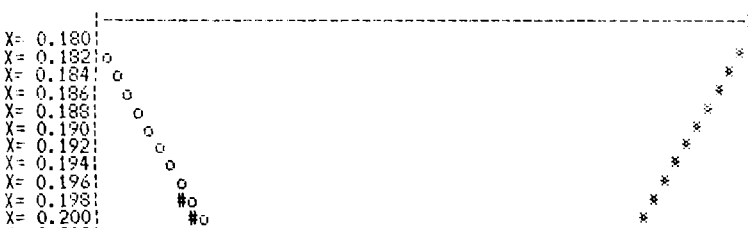
NR	TIMP	X ROA1	Z ROA1	X ROA2	Z ROA2	X ROA3	Z ROA3
1	0.0000	0.180000	0.000000	0.180000	0.000000	0.180000	0.000000
2	0.0005	0.180608	0.000608	0.180608	0.000608	0.180607	0.000608
3	0.0010	0.181218	0.001216	0.181216	0.001216	0.181210	0.001216
4	0.0015	0.181828	0.001824	0.181824	0.001824	0.181811	0.001825
5	0.0020	0.182440	0.002433	0.182432	0.002433	0.182409	0.002433
6	0.0025	0.183052	0.003041	0.183041	0.003041	0.183004	0.003042
7	0.0030	0.183666	0.003649	0.183649	0.003649	0.183596	0.003650
8	0.0035	0.184281	0.004257	0.184257	0.004258	0.184186	0.004259
9	0.0040	0.184897	0.004866	0.184865	0.004866	0.184772	0.004867
10	0.0045	0.185513	0.005474	0.185473	0.005474	0.185355	0.005476
11	0.0050	0.186131	0.006082	0.186082	0.006083	0.185936	0.006085
12	0.0055	0.186750	0.006690	0.186690	0.006691	0.186514	0.006694
13	0.0060	0.187371	0.007299	0.187300	0.007300	0.187091	0.007303
14	0.0065	0.187993	0.007907	0.187909	0.007908	0.187666	0.007912
15	0.0070	0.188616	0.008516	0.188520	0.008517	0.188239	0.008521
16	0.0075	0.189241	0.009124	0.189131	0.009126	0.188811	0.009130
17	0.0080	0.189867	0.009732	0.189743	0.009734	0.189382	0.009740
18	0.0085	0.190495	0.010341	0.190356	0.010343	0.189951	0.010349
19	0.0090	0.191124	0.010949	0.190969	0.010952	0.190519	0.010958
20	0.0095	0.191755	0.011558	0.191583	0.011560	0.191085	0.011568
21	0.0100	0.192387	0.012166	0.192197	0.012169	0.191653	0.012178
22	0.0105	0.193022	0.012775	0.192817	0.012178	0.192221	0.012787
23	0.0110	0.193659	0.013383	0.193436	0.013387	0.192790	0.013397
24	0.0115	0.194297	0.013992	0.194057	0.013996	0.193359	0.014007
25	0.0120	0.194938	0.014600	0.194679	0.014605	0.193929	0.014617
26	0.0125	0.195580	0.015209	0.195303	0.015214	0.194499	0.015227
27	0.0130	0.196225	0.015818	0.195929	0.015823	0.195071	0.015837
28	0.0135	0.196871	0.016426	0.196556	0.016432	0.195642	0.016447
29	0.0140	0.197519	0.017035	0.197183	0.017041	0.196212	0.017057

30	0.0145	0.198168	0.017644	0.197812	0.017650	0.196781	0.017667
31	0.0150	0.198819	0.018252	0.198441	0.018259	0.197349	0.018278
32	0.0155	0.199471	0.018861	0.199072	0.018868	0.197915	0.018888
33	0.0160	0.200125	0.019470	0.199703	0.019477	0.198431	0.019499
34	0.0165	0.200780	0.020079	0.200335	0.020086	0.199045	0.020109
35	0.0170	0.201436	0.020687	0.200967	0.020696	0.199608	0.020720
36	0.0175	0.202092	0.021296	0.201600	0.021305	0.200170	0.021331
37	0.0180	0.202750	0.021905	0.202233	0.021914	0.200731	0.021942
38	0.0185	0.203407	0.022514	0.202864	0.022524	0.201289	0.022552
39	0.0190	0.204066	0.023123	0.203495	0.023133	0.201843	0.023163
40	0.0195	0.204725	0.023731	0.204126	0.023743	0.202393	0.023775
41	0.0200	0.205385	0.024340	0.204756	0.024352	0.202938	0.024386
42	0.0205	0.206045	0.024949	0.205385	0.024962	0.203479	0.024997
43	0.0210	0.206705	0.025558	0.206013	0.025571	0.204015	0.025608
44	0.0215	0.207365	0.026167	0.206640	0.026181	0.204547	0.026220
45	0.0220	0.208024	0.026776	0.207266	0.026790	0.205075	0.026831
46	0.0225	0.208684	0.027385	0.207889	0.027400	0.205597	0.027442
47	0.0230	0.209344	0.027994	0.208510	0.028010	0.206111	0.028054
48	0.0235	0.210003	0.028603	0.209130	0.028619	0.206619	0.028666
49	0.0240	0.210662	0.029212	0.209747	0.029229	0.207119	0.029278
50	0.0245	0.211321	0.029821	0.210362	0.029839	0.207611	0.029889
51	0.0250	0.211980	0.030430	0.210976	0.030449	0.208096	0.030501
52	0.0255	0.212639	0.031040	0.211587	0.031059	0.208574	0.031113
53	0.0260	0.213295	0.031649	0.212195	0.031668	0.209044	0.031725
54	0.0265	0.213951	0.032258	0.212800	0.032278	0.209507	0.032337
55	0.0270	0.214607	0.032867	0.213402	0.032888	0.209962	0.032950
56	0.0275	0.215262	0.033476	0.214001	0.033498	0.210410	0.033562
57	0.0280	0.215916	0.034085	0.214597	0.034108	0.210851	0.034174
58	0.0285	0.216569	0.034695	0.215190	0.034718	0.211284	0.034787
59	0.0290	0.217222	0.035304	0.215780	0.035328	0.211707	0.035399
60	0.0295	0.217874	0.035913	0.216367	0.035939	0.212120	0.036012
61	0.0300	0.218525	0.036523	0.216951	0.036549	0.212524	0.036625
62	0.0305	0.219174	0.037132	0.217531	0.037159	0.212918	0.037237
63	0.0310	0.219823	0.037741	0.218108	0.037769	0.213303	0.037850
64	0.0315	0.220471	0.038351	0.218681	0.038379	0.213679	0.038463
65	0.0320	0.221118	0.038960	0.219251	0.038990	0.214044	0.039076
66	0.0325	0.221764	0.039569	0.219818	0.039600	0.214401	0.039689
67	0.0330	0.222409	0.040179	0.220381	0.040211	0.214748	0.040302
68	0.0335	0.223054	0.040788	0.220941	0.040821	0.215085	0.040915
69	0.0340	0.223697	0.041398	0.221497	0.041431	0.215413	0.041529
70	0.0345	0.224339	0.042007	0.222049	0.042042	0.215730	0.042142
71	0.0350	0.224980	0.042617	0.222599	0.042652	0.216038	0.042755
72	0.0355	0.225621	0.043226	0.223144	0.043263	0.216335	0.043369
73	0.0360	0.226260	0.043836	0.223687	0.043873	0.216621	0.043983
74	0.0365	0.226899	0.044445	0.224226	0.044484	0.216896	0.044596
75	0.0370	0.227536	0.045055	0.224761	0.045095	0.217161	0.045210
76	0.0375	0.228173	0.045664	0.225293	0.045705	0.217415	0.045824
77	0.0380	0.228810	0.046274	0.225822	0.046316	0.217660	0.046438
78	0.0385	0.229445	0.046884	0.226347	0.046927	0.217893	0.047052
79	0.0390	0.230080	0.047493	0.226869	0.047538	0.218116	0.047666
80	0.0395	0.230714	0.048103	0.227388	0.048148	0.218329	0.048280
81	0.0400	0.231347	0.048713	0.227904	0.048759	0.218530	0.048894
82	0.0405	0.231980	0.049322	0.228417	0.049370	0.218722	0.049508
83	0.0410	0.232615	0.049932	0.228926	0.049981	0.218902	0.050123
84	0.0415	0.233251	0.050542	0.229433	0.050592	0.219072	0.050737
85	0.0420	0.233891	0.051152	0.229936	0.051203	0.219237	0.051352
86	0.0425	0.234532	0.051761	0.230436	0.051814	0.219381	0.051966
87	0.0430	0.235176	0.052371	0.230933	0.052425	0.219520	0.052581
88	0.0435	0.235823	0.052981	0.231428	0.053036	0.219648	0.053196
89	0.0440	0.236472	0.053590	0.231919	0.053647	0.219765	0.053811
90	0.0445	0.237123	0.054200	0.232408	0.054259	0.219872	0.054426
91	0.0450	0.237777	0.054810	0.232898	0.054870	0.219968	0.055040
92	0.0455	0.238433	0.055420	0.233390	0.055481	0.220054	0.055656
93	0.0460	0.239092	0.056029	0.233885	0.056092	0.220129	0.056271
94	0.0465	0.239753	0.056639	0.234383	0.056703	0.220194	0.056886
95	0.0470	0.240417	0.057249	0.234883	0.057314	0.220248	0.057501
96	0.0475	0.241083	0.057858	0.235385	0.057926	0.220292	0.058117
97	0.0480	0.241752	0.058468	0.235890	0.058537	0.220325	0.058732
98	0.0485	0.242423	0.059078	0.236397	0.059148	0.220348	0.059348
99	0.0490	0.243096	0.059688	0.236906	0.059759	0.220360	0.059963
100	0.0495	0.243772	0.060297	0.237419	0.060370	0.220361	0.060579
101	0.0500	0.244451	0.060907	0.237933	0.060981	0.220352	0.061195
102	0.0505	0.245131	0.061517	0.238450	0.061593	0.220332	0.061810
103	0.0510	0.245815	0.062126	0.238970	0.062204	0.220302	0.062426
104	0.0515	0.246500	0.062736	0.239491	0.062815	0.220261	0.063042
105	0.0520	0.247189	0.063346	0.240013	0.063426	0.220209	0.063658
106	0.0525	0.247879	0.063956	0.240543	0.064037	0.220148	0.064275
107	0.0530	0.248572	0.064565	0.241072	0.064648	0.220075	0.064891
108	0.0535	0.249268	0.065175	0.241604	0.065260	0.219992	0.065507
109	0.0540	0.249966	0.065785	0.242138	0.065871	0.219898	0.066123
110	0.0545	0.250666	0.066394	0.242674	0.066482	0.219794	0.066740
111	0.0550	0.251369	0.067004	0.243214	0.067093	0.219680	0.067356
112	0.0555	0.252075	0.067614	0.243755	0.067704	0.219554	0.067973
113	0.0560	0.252782	0.068224	0.244299	0.068315	0.219419	0.068590
114	0.0565	0.253493	0.068833	0.244845	0.068927	0.219273	0.069207
115	0.0570	0.254205	0.069443	0.245394	0.069538	0.219116	0.069823
116	0.0575	0.254921	0.070053	0.245946	0.070149	0.218949	0.070440
117	0.0580	0.255638	0.070662	0.246499	0.070760	0.218771	0.071057
118	0.0585	0.256358	0.071272	0.247056	0.071371	0.218583	0.071674
119	0.0590	0.257081	0.071880	0.247614	0.071982	0.218384	0.072292
120	0.0595	0.000000	0.000000	0.248176	0.072594	0.218175	0.072909
121	0.0600	0.000000	0.000000	0.248739	0.073205	0.217955	0.073526
122	0.0605	0.000000	0.000000	0.249305	0.073816	0.217725	0.074143
123	0.0610	0.000000	0.000000	0.249874	0.074427	0.217485	0.074761
124	0.0615	0.000000	0.000000	0.250445	0.075038	0.217234	0.075378
125	0.0620	0.000000	0.000000	0.251018	0.075649	0.216972	0.075996

126	0.0625	0.000000	0.000000	0.251594	0.076261	0.216700	0.076614
127	0.0630	0.000000	0.000000	0.252172	0.076872	0.216417	0.077232
128	0.0635	0.000000	0.000000	0.252753	0.077483	0.216124	0.077849
129	0.0640	0.000000	0.000000	0.253336	0.078094	0.215820	0.078467
130	0.0645	0.000000	0.000000	0.253922	0.078705	0.215506	0.079085
131	0.0650	0.000000	0.000000	0.254510	0.079317	0.215182	0.079703
132	0.0655	0.000000	0.000000	0.255101	0.079928	0.214847	0.080322
133	0.0660	0.000000	0.000000	0.255694	0.080539	0.214501	0.080940
134	0.0665	0.000000	0.000000	0.256289	0.081150	0.214146	0.081558
135	0.0670	0.000000	0.000000	0.256887	0.081760	0.213781	0.082177
136	0.0675	0.000000	0.000000	0.000000	0.000000	0.213406	0.082795
137	0.0680	0.000000	0.000000	0.000000	0.000000	0.213022	0.083414
138	0.0685	0.000000	0.000000	0.000000	0.000000	0.212629	0.084032
139	0.0690	0.000000	0.000000	0.000000	0.000000	0.212226	0.084651
140	0.0695	0.000000	0.000000	0.000000	0.000000	0.211814	0.085270
141	0.0700	0.000000	0.000000	0.000000	0.000000	0.211392	0.085889
142	0.0705	0.000000	0.000000	0.000000	0.000000	0.210961	0.086507
143	0.0710	0.000000	0.000000	0.000000	0.000000	0.210521	0.087126
144	0.0715	0.000000	0.000000	0.000000	0.000000	0.210071	0.087744
145	0.0720	0.000000	0.000000	0.000000	0.000000	0.209612	0.088363
146	0.0725	0.000000	0.000000	0.000000	0.000000	0.209143	0.088984
147	0.0730	0.000000	0.000000	0.000000	0.000000	0.208668	0.089603
148	0.0735	0.000000	0.000000	0.000000	0.000000	0.208186	0.090223
149	0.0740	0.000000	0.000000	0.000000	0.000000	0.207696	0.090842
150	0.0745	0.000000	0.000000	0.000000	0.000000	0.207199	0.091462
151	0.0750	0.000000	0.000000	0.000000	0.000000	0.206694	0.092081
152	0.0755	0.000000	0.000000	0.000000	0.000000	0.206182	0.092701
153	0.0760	0.000000	0.000000	0.000000	0.000000	0.205663	0.093321
154	0.0765	0.000000	0.000000	0.000000	0.000000	0.205137	0.093941
155	0.0770	0.000000	0.000000	0.000000	0.000000	0.204603	0.094561
156	0.0775	0.000000	0.000000	0.000000	0.000000	0.204064	0.095181
157	0.0780	0.000000	0.000000	0.000000	0.000000	0.203519	0.095801
158	0.0785	0.000000	0.000000	0.000000	0.000000	0.202971	0.096421
159	0.0790	0.000000	0.000000	0.000000	0.000000	0.202418	0.097041
160	0.0795	0.000000	0.000000	0.000000	0.000000	0.201861	0.097662
161	0.0800	0.000000	0.000000	0.000000	0.000000	0.201300	0.098282
162	0.0805	0.000000	0.000000	0.000000	0.000000	0.200734	0.098903
163	0.0810	0.000000	0.000000	0.000000	0.000000	0.200165	0.099523
164	0.0815	0.000000	0.000000	0.000000	0.000000	0.199591	0.100144
165	0.0820	0.000000	0.000000	0.000000	0.000000	0.199012	0.100765
166	0.0825	0.000000	0.000000	0.000000	0.000000	0.198431	0.101385
167	0.0830	0.000000	0.000000	0.000000	0.000000	0.197848	0.102005
168	0.0835	0.000000	0.000000	0.000000	0.000000	0.197264	0.102627
169	0.0840	0.000000	0.000000	0.000000	0.000000	0.196680	0.103248
170	0.0845	0.000000	0.000000	0.000000	0.000000	0.196094	0.103869
171	0.0850	0.000000	0.000000	0.000000	0.000000	0.195507	0.104491
172	0.0855	0.000000	0.000000	0.000000	0.000000	0.194920	0.105112
173	0.0860	0.000000	0.000000	0.000000	0.000000	0.194331	0.105733
174	0.0865	0.000000	0.000000	0.000000	0.000000	0.193742	0.106355
175	0.0870	0.000000	0.000000	0.000000	0.000000	0.193153	0.106976
176	0.0875	0.000000	0.000000	0.000000	0.000000	0.192566	0.107598
177	0.0880	0.000000	0.000000	0.000000	0.000000	0.191979	0.108219
178	0.0885	0.000000	0.000000	0.000000	0.000000	0.191393	0.108841
179	0.0890	0.000000	0.000000	0.000000	0.000000	0.190807	0.109463
180	0.0895	0.000000	0.000000	0.000000	0.000000	0.190223	0.110085
181	0.0900	0.000000	0.000000	0.000000	0.000000	0.189639	0.110707
182	0.0905	0.000000	0.000000	0.000000	0.000000	0.189055	0.111329
183	0.0910	0.000000	0.000000	0.000000	0.000000	0.188470	0.111951
184	0.0915	0.000000	0.000000	0.000000	0.000000	0.187884	0.112573
185	0.0920	0.000000	0.000000	0.000000	0.000000	0.187296	0.113196
186	0.0925	0.000000	0.000000	0.000000	0.000000	0.186707	0.113818
187	0.0930	0.000000	0.000000	0.000000	0.000000	0.186117	0.114440
188	0.0935	0.000000	0.000000	0.000000	0.000000	0.185525	0.115063
189	0.0940	0.000000	0.000000	0.000000	0.000000	0.184932	0.115685
190	0.0945	0.000000	0.000000	0.000000	0.000000	0.184337	0.116308
191	0.0950	0.000000	0.000000	0.000000	0.000000	0.183739	0.116931
192	0.0955	0.000000	0.000000	0.000000	0.000000	0.183139	0.117554
193	0.0960	0.000000	0.000000	0.000000	0.000000	0.182535	0.118177
194	0.0965	0.000000	0.000000	0.000000	0.000000	0.181929	0.118800
195	0.0970	0.000000	0.000000	0.000000	0.000000	0.181321	0.119423
196	0.0975	0.000000	0.000000	0.000000	0.000000	0.180709	0.120046
197	0.0980	0.000000	0.000000	0.000000	0.000000	0.180095	0.120669
198	0.0985	0.000000	0.000000	0.000000	0.000000	0.179482	0.000000

Ztotal 1= 0.070952 Ztotal 2= 0.081271 Ztotal 3= 0.455564

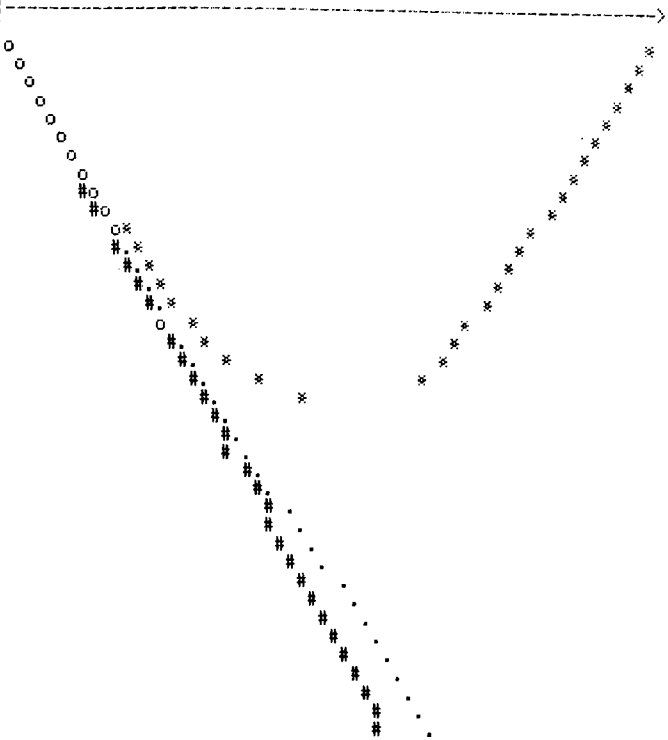
Tlichid1= 0.041000 Tlichid2= 0.045000 Tlichid3= 0.098500
 CODIFICARE : ROA1->"#" ROA2->". ROA3->"*" SUPRAPUNERE->"o"
 ZSTART= 0.000000 ZSTOP= 0.1206691 AXA Oz



CODIFICARE : ROA1->"#" ROA2->"." ROA3->"*" SUPRAPUNERE->"o"
ZSTART= 0.0000000 ZSTOP= 0.1206691

AXA Oz

X= 0.180
X= 0.182
X= 0.184
X= 0.186
X= 0.188
X= 0.190
X= 0.192
X= 0.194
X= 0.196
X= 0.198
X= 0.200
X= 0.202
X= 0.204
X= 0.206
X= 0.208
X= 0.210
X= 0.212
X= 0.214
X= 0.216
X= 0.218
X= 0.220
X= 0.222
X= 0.224
X= 0.226
X= 0.228
X= 0.230
X= 0.232
X= 0.234
X= 0.236
X= 0.238
X= 0.240
X= 0.242
X= 0.244
X= 0.246
X= 0.248
X= 0.250
X= 0.252
X= 0.254
X= 0.256
V



AXA Oz

XSTART= 0.180000 XSTOP = 0.17948 PAS= 0.0020112

Fig. 4.4'

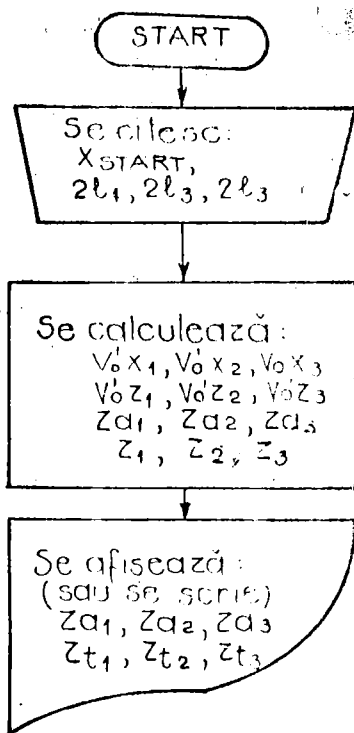


Fig. 4.5
al astfel obținute au fost montate în circuitul magnetic al separatorului magnetofluidic (fig. 4.7).

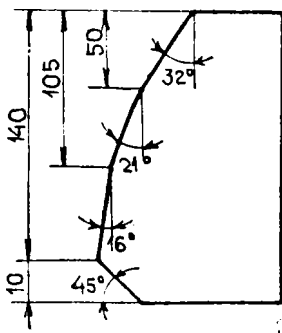


Fig. 4.6.

4.3. Realizarea pieselor polare

Din STAS 500/2-80 s-a ales o tablă de oțel nealiat laminat OL 37, care a fost tăiată la dimensiunile 330x110x160 (mm) (2 bucăți).

După debitare, pentru obținerea piesei s-au efectuat următoarele operații: frezare, găurire, filetare, frezare prin copiere.

Intr-o primă etapă s-a urmărit obținerea unui profil brut, care să aproximeze profilul exponențial prin trei suprafețe plane (fig. 4.5).

A doua etapă a constat în prelucrarea piesei cu ajutorul unei mașini de frezat prin copiere. Pentru aceasta a fost executat în prealabil un șablon de copiere.

În final piesele polare au fost finisate prin șlefuirea suprafețelor.

Piesele polare cu profil exponențial

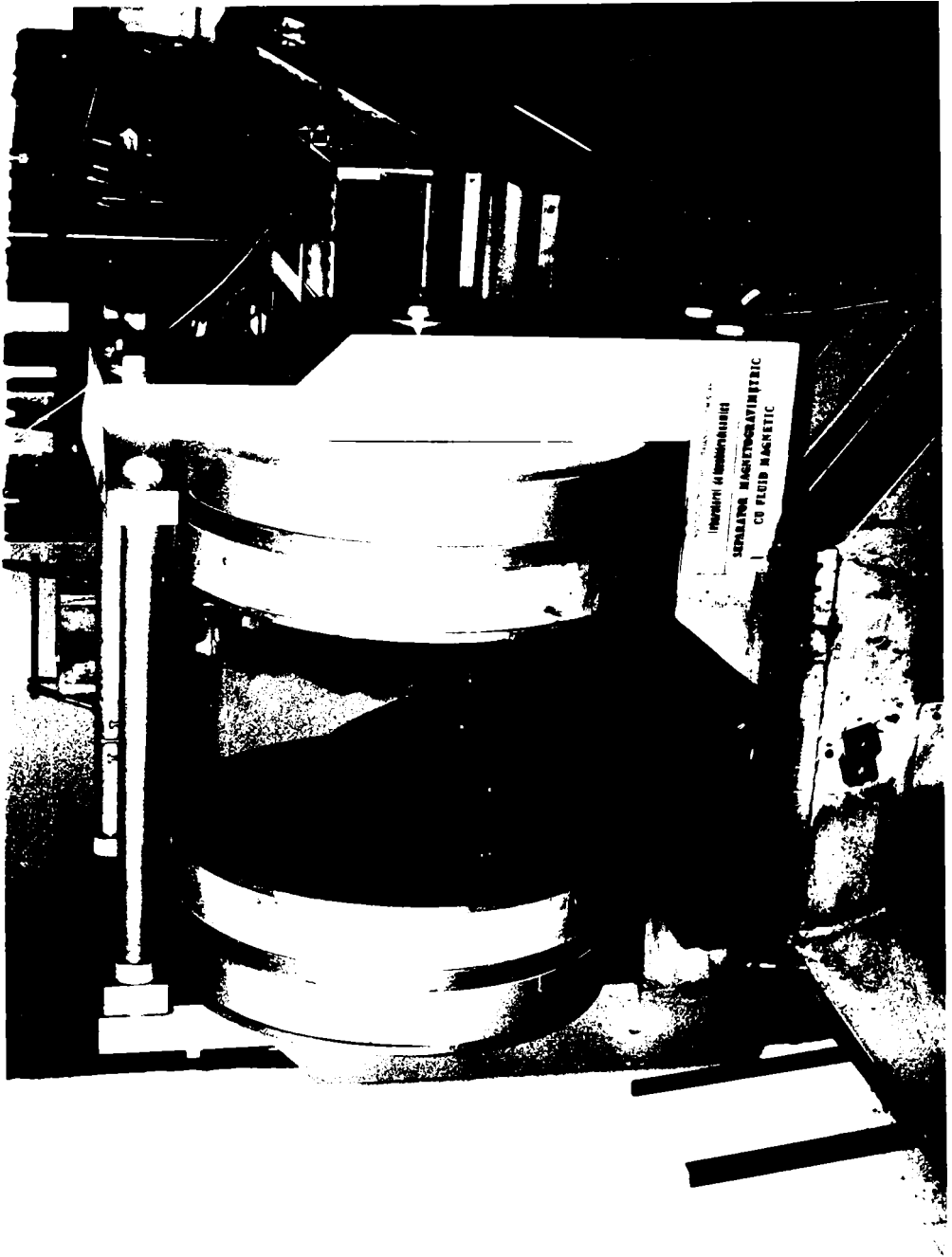
4.4. Date experimentale. Concluzii

Lichidele magnetice de lucru au fost pe bază de petrol de magnetizația de saturație $M_0 = 250 \text{ G}$ (19 900 A/m) și $M_0 = 100 \text{ G}$ (7 960 A/m), de densități 1 050 kg/m³ și 925 kg/m³.

Pe un plan înclinat (fig. 4.8) de lungime "l" (1) s-au pus sfere din diverse materiale și de diverse diametre. Cu ajutorul dispozitivului (2) se pot da planului diferite înclinații, unghiul α citindu-se direct.

Pentru a calcula viteza de pătrundere a sferelor în lichid s-a determinat accelerația acestora [60].

Astfel, dacă vectorul de poziție al centrului de masă la momentul t este \vec{r} , mișcarea este descrisă de ecuația (fig. 4.9):



$$M \ddot{\vec{r}} = M \vec{g} + \vec{R} + \vec{f}, \quad (4.7)$$

unde \vec{R} este reacțiunea planului, \vec{f} forța de frecare, M masa sferei, \vec{r} derivata a doua a vectorului de poziție în funcție de timp, \vec{g} accelerația gravitațională.

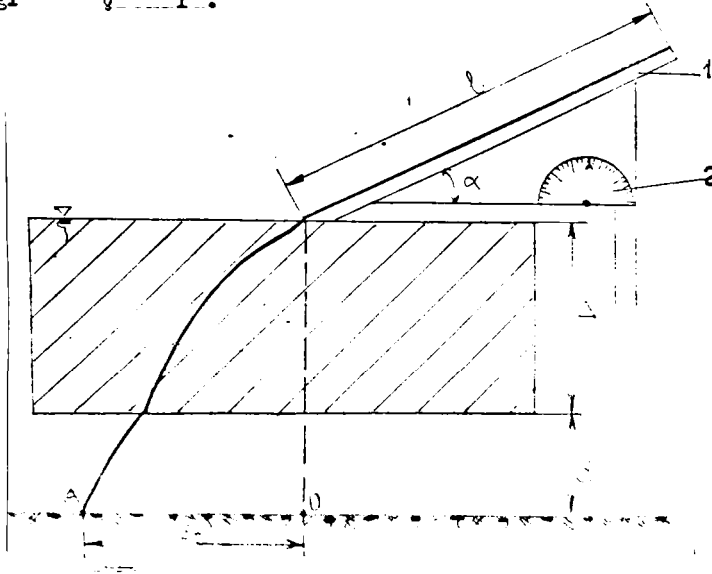


Fig. 4.8.

Proiecțiile ecuației (4.7) pe un sistem de axe rectangulare sînt:

$$M \ddot{x}(t) = M g \sin \alpha - f, \quad (4.8)$$

$$M \ddot{y}(t) = R - M g \cos \alpha. \quad (4.9)$$

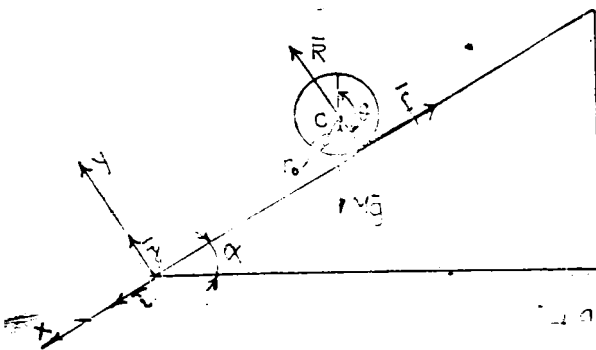


Fig. 4.9.

Momentul forțelor exterioare față de axa ce trece prin centrul de masă este:

$$\vec{M} = -r_0 f \vec{k}, \quad (4.10)$$

unde r_0 este raza sferei.

Momentul cinetic față de axa orizontală ce trece prin C are expresia:

$$\vec{L} = I_S \vec{\omega} = -I_S \dot{\theta} \vec{k}, \quad (4.11)$$

unde I_S este momentul de inerție al sferei iar θ este unghiul din

figura 4.9. Legea conservării momentului cinetic se scrie:

$$\overline{M} = \frac{d\overline{L}}{dt} \quad (4.12)$$

Deoarece sfera rămîne pe planul înclinat $y = 0$, iar $X = a\theta$ (nu există alunecare) și cum $I_s = \frac{2}{5} \cdot m \cdot r_0^2$, rezultă accelerația sferei:

$$a = \frac{5}{7} g \sin \alpha . \quad (4.13)$$

Dacă lungimea planului înclinat este l , rezultă viteza de pătrundere a particulei sferice în lichidul magnetic:

$$v_0 = \sqrt{\frac{10}{7} g l \sin \alpha} \quad (4.14)$$

La o lungime a planului înclinat de $l = 30$ cm și la un unghi $\alpha = 45^\circ$ se obține $v = 1,72$ m/s.

S-au folosit sfere cu razele cuprinse între 1,8 și 2,5 mm, din materiale cu densitățile cuprinse între 2 600 și 11 500 kg/m³.

S-a lucrat la trei valori ale intensității curentului electric prin bobine: $I = 6$ A, 10 A și 12 A, ceea ce a corespuns la un potențial magnetic $V_H = 8 400$ A, 14 000 A și respectiv 16 800 A.

Au fost efectuate cîte trei seturi de măsurători pentru fiecare situație, făcîndu-se media aritmetică a rezultatului.

Sferele au fost lăsate pe rînd libere la partea superioară a planului înclinat, pe care au rulat porțiunea " l ", obținînd la intrarea în lichidul magnetic viteza v_0 (4.14). În continuare ele au străbătut stratul de lichid magnetic Δ dintre polii separatorului și și-au continuat traiectoria în aer pînă la suprafața orizontală de colectare. Pe suprafața de colectare a fost așezată hîrtie, pe care în prealabil era marcat punctul O (piciorul perpendicularei dusă din punctul de pătrundere al sferei pe suprafața orizontală), astfel încît punctul A de aterizare a sferei a putut fi recunoscut ușor după urma imprimată pe hîrtie de lichidul magnetic antrenat de sferă.

În tabelul 4.1 sînt prezentate rezultatele experimentale pentru trei sfere nemagnetice (notate cu S_1 , S_2 și S_3) de aceeași rază $R_P = 2,5$ mm și de densități $\rho_1 = 11 500$ kg/m³, $\rho_2 = 6 400$ kg/m³ și $\rho_3 = 2 600$ kg/m³.

Se observă că lungimea traiectoriei (și deci Z_{total}) crește odată cu creșterea intensității curentului (implicit al potențialului magnetic scalar V_H) la aceeași particulă și de asemenea, la

același V_H lungimea traiectoriei crește cu descreșterea densităților sferelor. Magnetizația de saturație a lichidului magnetic utilizat în acest caz este $M_0 = 100 \text{ G}$.

Tabelul 4.2 conține datele experimentale în cazul utilizării unui lichid magnetic cu magnetizația de saturație $M_0 = 250 \text{ G}$. Si în acest caz Z_t crește cu descreșterea densității și este de remarcat faptul că la valoarea de 14 000 A și 16 800 A a potențialului magnetic scalar sfera S_3 , de densitate $\rho_3 = 2 600 \text{ kg/m}^3$, nu mai străbate stratul de lichid magnetic, ci plutește. Sferele S_1 și S_2 trec prin stratul Δ de lichid magnetic și ajung pe suprafața orizontală inferioară, realizându-se astfel o separare netă a sferei S_3 de celelalte două din material mai dens.

Tabelul 4.1

$M_0 = 100 \text{ G} (7 960 \text{ A/m})$					
$Z_t \text{ [mm]}$					
Nr. de încercări		1	2	3	Media
$I = 6 \text{ A}$ $V_H = 8 400 \text{ A}$	S_1	61	63	62	62
	S_2	66	65	64	65
	S_3	72	73	73	72,6
$I = 10 \text{ A}$ $V_H = 14 000 \text{ A}$	S_1	63	63	64	63,3
	S_2	67	67	68	67,6
	S_3	75	75	75	75
$I = 12 \text{ A}$ $V_H = 16 800 \text{ A}$	S_1	68	68	69	68,3
	S_2	70	70	71	70,3
	S_3	79	80	78	79

Intre rezultatele teoretice obținute la rulările pe calculator (paragraful 4.2) și cele experimentale prezentate în tabelele 4.1 și 4.2 este o bună concordanță, diferența dintre acestea fiind sub 10 %.

Tabelul 4.2

$M_0 = 250 \text{ G (19 900 A/m)}$					
$Z_t \text{ [mm]}$					
Nr. de încercări		1	2	3	Media
$I = 6 \text{ A}$ $V_H = 8 \text{ 400 A}$	S_1	65	64	66	65
	S_2	70	69	69	69,6
	S_3	90	92	92	91,3
$I = 10 \text{ A}$ $V_H = 14 \text{ 000 A}$	S_1	68	68	68	68
	S_2	75	75	76	75,3
	S_3	Plutește	P	P	P
$I = 12 \text{ A}$ $V_H = 16 \text{ 800 A}$	S_1	68	69	70	69
	S_2	80	80	80	80
	S_3	P	P	P	P

Această diferență s-ar putea datora faptului că particula nu intră în lichid exact pe axa de simetrie a polilor. De asemenea s-a remarcat posibilitatea ca densitatea lichidului magnetic să nu fie riguros constantă, ci să varieze cu înălțimea stratului de lichid, fiind influențată de gradientul cîmpului magnetic din celula de separare.

Separatorul magnetofluidic cu celula de separare avînd poli cu profil exponențial astfel realizat poate servi la separarea materialelor nemagnetice de densități diferite, după locul în care acestea cad, lungimea traiectoriei fiind funcție de densitate.

De asemenea, măriind intensitatea curentului prin bobinele de excitație, deci crescînd valoarea potențialului magnetic scalar, se poate realiza o separare netă a două fracțiuni de particule de densități diferite, unele străbătînd stratul de lichid magnetic iar altele rămînînd la suprafața acestuia.

Cap. 5. CONCLUZII FINALE

Tema tratată în teză de doctorat este de mare actualitate, lichidele magnetice constituind baza unor tehnologii de vârf.

Proprietățile deosebite ale acestor lichide, faptul că ele își mențin toate calitățile de lichide, au o stabilitate înaltă și totodată posedă și proprietățile materialelor magnetice dispersate în matricea lichidă, fac ca acestea să prezinte un deosebit interes în diverse domenii de actualitate.

În teză, autorul și-a propus să prezinte rezultatele pe care le-a obținut în legătură cu studiul proprietăților magnetice ale lichidelor magnetice, studiul de ansamblu al forțelor și forțele care se exercită asupra corpurilor nemagnetice imersate în lichide magnetice, studiul câmpului (a potențialului magnetic scalar, a intensității câmpului magnetic și a gradientului câmpului magnetic) din spațiul dintre piesele polare ale unui separator cu lichid magnetic.

În acest context s-au adus următoarele contribuții originale:

- în cadrul studiului susceptivității magnetice inițiale se folosește o metodă care prin principiul ei este mai precisă decât altele existente în literatura de specialitate;
- pentru prima dată la noi în țară a fost studiată dependența de frecvență a părții reale și imaginare a susceptivității magnetice complexe a unor lichide cu particule din ferită de cobalt, lichidul fiind magnetizat de un câmp magnetic constant;
- metoda utilizată pentru determinarea magnetizației de saturație a lichidelor magnetice prezintă o mare precizie, rezultatele experimentale fiind prelucrate pe calculator;
- măsurarea permeabilității magnetice a lichidelor magnetice și trasarea curbelor de magnetizare se face în funcție de inducție magnetică din interiorul probei;
- este dată o demonstrație mai generală decât cea cunoscută în literatură pentru calculul forței rezultante exercitată de câmp asupra unor corpuri, pe baza integrării tensiunilor fictive;
- se calculează forța exercitată de câmpul magnetic asupra unei sfere nemagnetice imersată într-un lichid magnetic, la câmpuri mici, dimensiunile sferei putând fi arbitrare;
- este conceput un pachet de programe pentru calculul, în fiecare punct al spațiului dintre poli ai unui separator cu lichid magnetic

a potențialului magnetic scalar, a modulului intensității câmpului magnetic și a modulului gradientului intensității câmpului magnetic, utilizând metoda diferențelor finite;

- sînt realizate două modele electrocinetice pentru a putea studia, prin analogie cu câmpul magnetic, celule de separare avînd piesele polare de dimensiuni finite;

- se dă o demonstrație a faptului că nu este posibilă existența unui câmp magnetic al cărui gradient să fie constant și să aibă o orientare unidirecțională;

- se stabilește o configurație de poli la care gradientul câmpului magnetic este unidirecțional, dar variază exponențial în modul;

- este conceput un pachet de programe pentru rezolvarea numerică a ecuațiilor diferențiale neliniare ce descriu traiectoriile particulelor în celule de separare a separatorului cu lichid magnetic. Acest pachet de programe utilizează modulul gradientului intensității câmpului magnetic pentru calculul și trasarea, punct cu punct a traiectoriei;

- este calculată și realizată practic o celulă de separare avînd poli cu profil exponențial;

- se studiază traiectoria completă, pînă la locul de coalescență, a particulelor în celula de separare, comparîndu-se rezultatele teoretice cu cele experimentale.

În încheiere, se poate menționa că teza de doctorat se înscrie în cadrul preocupărilor existente la Institutul Politehnic "Traian Vuia" din Timișoara de studiu al lichidelor magnetice, de realizare a acestora și implementare a lor, în producție [65, 66, 67, 68, 69].

BIBLIOGRAPHY

- 1.- S.F. CHAPUIS and J. POPPELWELL, Ferromagnetic liquids. Edited by I.P. Kohlferth, North-Holland Publishing Co. 1980.
- 2.- I. COJOCI and E. SCHIMBUEFF, Ac susceptibility and static properties of an Fe_3O_4 ferrofluid, JMMM 24(1981), 54-66.
- 3.- S. CHIKAZUMI et al, Physics of magnetic fluids. JMMM 65(1987) 245-251.
- 4.- M.M. MAYOROV, Magnitnaia Gidrodinamica, 1980, Nr.4, p. 11-18.
- 5.- S.V. ISKIV, B.I. KATVUKHII, Magnitnaia Gidrodinamica, 1980, Nr. 4, p. 11-18.
- 6.- S.F. CHAPUIS and R.F. FOSBERG, Introduction to the magnetic fluids bibliography, JMMM 39(1983).
- 7.- I.B. LAMNICK et al. Preparation and properties of Ni-Fe magnetic fluids. JMMM 65 (1987) 257-260.
- 8.- V.V. GOGOLEV, Hydrodynamics of magnetic fluids, JMMM 65 (1987) 301-306.
- 9.- M.M. MAYOROV, Cercetarea experimentală a permeabilității magnetice a lichidelor magnetice în câmp magnetic variabil magnitnaia Gidrodinamica, 1979, nr. 2, 21-26.
- 10.- K.I. KOLUZOV et al. Magnetic properties of ferrocolloids: The effect of interparticle interactions. JMMM 65 (1987) 269-272.
- 11.- M.M. MAYOROV, Studiul experimental al mișcării de rotație interne și a structurii microscopice a fluidului magnetic. Salospils (USSR) 1980.
- 12.- R.R. SMITH, On the low-field, low-frequency susceptibility of Fe. JAPL PH. 19 (1986) 1 195-197.
- 13.- F.J. SANVIN, S.K.P. SMITH, C.M. SMITH, New technique for measuring the complex susceptibility of ferrofluids. I. IJMS. 1. Sci. Instrum 19 (1986).
- 14.- F.C. LAMNICK, S.K.P. SMITH and S.F. CHAPUIS, A study of the complex susceptibility of ferrofluids and rotational brownian motion. JMMM 65 (1987).

- 15.- I.C. SCHOLTE, How magnetic can a magnetic fluid be? JMMM 39 (1983) 99-106.
- 16.- I.A. JUMIS, Second order effects in fluidmagnetic buoyancy. Appl. Sci. Res. 29 (1984) 342-350.
- 17.- T. SAITO et. al., Magnetic properties of ultrafine ferrite particles. JMMM 65 (1987) 252-256.
- 18.- JU.F. MIKOV, Vol. III TAMS, Magnitnaia Ghidrodinamica, 1, (1973) 23-26.
- 19.- V.V. GUCOSKY, Some theoretical and practical problems of separation in magnetic fluids. JMMM 39 (1983) 169-172.
- 20.- P. RUDNY, M. SAMIA, Interaction forces between nonmagnetic particles in the magnetized magnetic fluid. JMMM 65 (1987) 207-210.
- 21.- S.I. NICOLAI, I. BLUM, M.M. MADOJEV, A.O. TEBELI, Eksperimentalnoe issledovanie dispersii magnitnoi vospriimчивosti kolloidn magnitojestkikh ciastit; v zavisimosti ot magnitnogo polia vnejnogo, Magnitnaia Ghidrodinamica, 1987, Nr. 1, 53-57.
- 22.- M.M. MADOJEV, A.O. TEBELI, Magnitnaia Ghidrodinamica, 1979, 2, 13-16.
- 23.- A.O. TEBELI, Magnitnaia Ghidrodinamica, 1987, Nr. 4, c.17-22.
- 24.- I.I. SCHLIEBIS, Ferrohydrodynamics. Cambridge University Press 1985.
- 25.- B. NICOLAI, Asupra determinării experimentale a susceptivității inițiale a fluidelor magnetice. Conf. Naț. și Int. Timișoara, 18-19.8.1985.
- 26.- I. LI SABATA, S. NICOLAI, L. VILANS, Considerații cu privire la geometria polilor și traiectoriile particulelor într-un separator magnetofluidic. Conf. Naț. și Int. Timișoara, 18-19.8.1985.
- 27.- I. LI SABATA, Bazele electrotehnicii. Litografia IIT, 1974.
- 28.- I. LI SABATA, Unele teoreme ale inductivităților complexe ale bobinelor în prezența mediilor cu histeresis viscos. Conf. naț. de el. și el. Timișoara, 17-18 sept. 1982.

- 29.- V. WIENER, Măsurări electrice vol. 2, Ed. Tehnică, București, 1969.
- 30.- H.W. CHANTRELL et al. IRE Trans. Magn. MAG 14 (1978) 975.
- 31.- E.BRUMS, A. MIHAILOV, R. OZOLS, Teple i maso magnituoņ pole. Riga 1980, 206.
- 32.- V.V. TEKANOV, Magnitnaia Ghidrodinamica, 1977, 4, 16-20.
- 33.- I. BURZO, Fizica fenomenelor magnetice. Id. Acad. I.S.R., București 1979.
- 34.- I.DE SABATA, Bul.St. și Th. al IPT, Tom 29(43), Electrot. 1984.
- 35.- I.A. STRATTON, Théorie de L'electromagnétisme, Dunod, Paris, 1969.
- 36.- AL. NICOLA, F. PUSKAS, Dielectrici și feroelectrici. Id. Scrisul românesc, Clujova, 1982.
- 37.- S. TITEICA, Termodinamica. Id. Acad. R.S.R., București, 1982.
- 38.- I.DE SABATA, Bul. St. și Th. al IPT, Tom 2 (d 70) Electrot. 1981.
- 39.- I.L. TAMM, Fundamentals of the Theory of Electricity Mir Publishers Moscow, 1979.
- 40.- K. RADULI, Bazele teoretice ale electrotehnicii. Lit. I.P. București, 1956.
- 41.- M. PRUDA, P. CRISTEA, F. SPINLI, Bazele electrotehnicii, I.P. București, 1980.
- 42.- A. COLTEU, Bul. St. și Tehn. IPTVT, Electrot. Fasc. 1, 1977, Tom 22(36) Timișoara.
- 43.- A. TIMOTIN, Electrotehnica, Nr. 4, București, 1958.
- 44.- A. TIMOTIN, Proprietăți dinamice ale câmpului electromagnetic macroscopic în medii oarecare. Teză de doctorat 1957, I.P. București.
- 45.- I. LUCA, GH. CALUGARU, R. BAIESCU, C. COTAL, V. BADIȘCU, Ferofluidelor și aplicațiile lor în industrie. Id. Tehnică, București, 1978.
- 46.- I. ANTON, L. VEKAS, Aplicațiile ferofluidelor în tehnice modernă. Seminar tehnico-științific, Timișoara, oct 1980.

- 47.- L. ANTON, I. DE SABATA, P. ILIE ș.a., Aspecte fundamentale ale aplicării metodei de separare magnetofluidică la concentrarea amestecurilor neferoase. Conferința "Mașini hidraulice și hidrotehnică", Timișoara, 18-19 oct 1985.
- 48.- N.D. KRAVCENKO, V.N. GUBAREVICI, Separarea magneto-hidrostatică a amestecului de deșeuri de aluminiu și plumb. Tvetnîie metallî nr. 4/1981, p. 102-104.
- 49.- N.D. KRAVCENKO, V.A. INDIN, Separarea amestecului de deșeuri de cupru și plumb în lichid magnetic. Tvetnîie metallî nr. 2/1983 p. 80-82.
- 50.- AVCO Corp. Magnetic separation, Patent Marea Britanie 504 968 (1978).
- 51.- N. IZULESCU, V. BALILESCU, GH. IACOB, E.B. BRADU, D. CONSTANDACHE, Fizica separării magnetice a materialelor. Memoriile Secțiilor St. Acad. R.S.R. Tom III Nr. 1 (1980), 134-214.
- 52.- N. IZULESCU, V. BALILESCU, E.B. BRADU, GH. IACOB, Principiile separării magnetice a materialelor. Ed. Tehnică R.S.R., 1987.
- 53.- N. IZULESCU, V. BALILESCU, E.B. BRADU, Practical aspects of magnetostatic separation. IEEE Trans. on Magn. MAG-17.
- 54.- S.E. DVORCHIK, V.G. RIKOV, L.M. SEMIASOVA, I.I. IATOVSKI, Dvijenie nemagnitnîh tel v magnetostatisticeskih i trestrobejnîh apparatah s magnitnoi jiolhostin, Magn. Ghidr. Nr. 1 (1979) 80.
- 55.- R.D. SMOLKIN, YV.M. GARIN, V.N. GUBAREVICH, V.S. KROKHMAL, O.P. SAIKO, K voprosu opredelenia rukotovîh tehniceskîh karakteristik ferrohdrostatisticeskih separator na magnitnîh jidkostel, Fizika (1980), 313.
- 56.- G.A. RIAZANOV, Experiments and simulation in electromagnetic field (Nanka, Moscow, 1966) p 208 (in Russian).
- 57.- A. NICOLAIDU, Bazele fizice ale electrotehnicii. Ed. Scrisul românesc, Craiova 1983.

- 58.- A. SOCEANIANU, Programarea și utilizarea calculatorului.
Lit. I.P.T. 1980.
- 59.- I. DUFANI, Électrostatique et magnétostatique. Ed. Masson,
Paris, 1953.
- 60.- I.M. POPESCU, Culegere de probleme de fizică. I.P.P.
Eucurești, 1982.
- 61.- B. NICOLAE, Metodă de măsurare a magnetizației de saturație.
Metrologia aplicată vol. XXIV 1987 nov-2.
- 62.- B. NICOLAE, Forța exercitată de câmpul magnetic asupra unei
sfere nemagnetice imersată într-un lichid magnetic
plasat între poli, cu profil hiperbolic, și unui
separator. Seminar tehnico-științific I.P.T.
21-22 oct 1988.
- 2X 63.- B. NICOLAE, Metodă de măsurare a magnetizației de saturație a
lichidelor magnetice. Seminar tehnico-științific
I.P.T. 21-22 oct 1988.
- 64.- B. NICOLAE, Traectorii ale particulelor nemagnetice în celu-
la unui separator magnetofluidic cu poli cu profil
hiperbolic. Seminar tehnico-științific I.P.T.
21-22 oct 1988.
- 65.- x x x Cercetări privind obținerea și utilizarea ferofluidel-
lor în procedee de separare a metalelor neferoase din
subproduse miniere. Contract de cercetare științifi-
ca nr. 121/1984. ICPMN Baia-Mare.
- 66.- x x x Cercetări privind obținerea și aplicarea ferofluidel-
lor pe bază de apă și petrol în procese de separare
a metalelor neferoase din deșeurii. Contract de cercetare
științifică nr. 69/1985, ICPMN Baia-Mare.
- 67.- x x x Forțe portante în lichide magnetice. Contract de cer-
cetare științifică nr. 228/1986, ICPMN Baia-Mare.
- 68.- x x x Levitație și legături magnetofluidice și caracterizarea
magnetică a lichidelor magnetice. Contract de cerceta-
re științifică nr. 95/1987, I.P.T.M. Timișoara.
- 69.- x x x Calculul traductorilor inductive cu lichide magnetice
și caracterizarea magnetică a lichidelor magnetice.
Contract de cercetare științifică nr. 95/1987 - conti-
nuare 1988. I.P.T.M. Timișoara.

- 70.- R. MURICAN , Separarea mineralelor cu titan și zirconiu din șlicurile de la exploatarea minieră Aghireș, cu ajutorul fluidelor magnetice. Teză de doctorat. Petroșani 1987.
- 71.- A. ANTON, Cercetări asupra mișcării de translație a ferofluidelor în absența și în prezența unui câmp magnetic exterior. Teză de doctorat. București 1987.
- 72.- A. COȘTEU, Proprietăți ale lichidelor magnetice în câmpuri magnetice staționare. Teză de doctorat. Timișoara 1980.
- 73.- M. TAKAYASU, Magnetic Separation Utilising a Magnetic Susceptibility Gradient IIII TH. ON MAG. VOL MAG-20, Nr.1, JAN 1984.
- 74.- Y. ZIMMER, I.J. LIN, Principles of Three - Dimensional magnetohydrostatic Axial Separation System IIII TH. ON MAG., VOL MAG-18, No 3, MAY 1982.
- 75.- Y. ZIMMER, I.J. LIN, Characterisation of Magnetohydrostatic Axial Separation System. III TH. ON MAG, VOL MAG-19, No 1, JAN 1983.
- 76.- I.L. JOSINSKIG, Ferrohydrodynamics, Cambridge, Cambridge Univ. Press, 1985.
- 77.- I. ANTON, I.IL SALEA, L. VIKAS, Proprietăți și aplicații ale lichidelor magnetice, București, Tehnologii Calitate Mașini Materiale, Nr.1, 1987, p. 186.
- 78.- P.L. LAMIN, B.R.P. COATH, S.W. CHALLIC, The Measurement of the frequency Dependent Susceptibility of Magnetic coloids. J.Magn Magn. Mater 72(1983) 95-108.
- 79.- I. ANTON, I.IL SALEA, L. VIKAS, I. POTINCZ, I. SUCIU, Magnetic fluid seals: some design problems and applications 3 Magn. Magn. Mater., Vol.65, 1987, p. 379.
- 80.- I.L. JAMALI, Some application of magnetic fluids -use as ink and in microwave systems. J.Magn. Magn. Mater., vol. 65, 1987, p. 350.
- 81.- I. STIFAN, Introducere în magnetohidrodinamică, Ed. Tehnic, București 1969.

- 82.- V. IUSAN, V. MUNTIANU, Experiențe și rezultate de laborator în utilizarea spectrometriei ferofluidice pentru separarea unor substanțe minerale utile din nisipurile de Aghireș. Simpozionul științific I.M. Petroșani, p. 11, Decembrie 1981.
- 83.- V. IUSAN, N. MUREȘAN, Studiul experimental al efectului fenomenelor de interfață asupra separării siliciului din minereuri granulate cu ajutorul fluidelor magnetice. Conferința de Mașini Hidraulice și Hidrotehnică, vol. 7, Timișoara 1985.
- 84.- S.V.VONSOVSKI, Magnetismul. Traducere din limba rusă. Editura științifică și enciclopedică, București 1981.